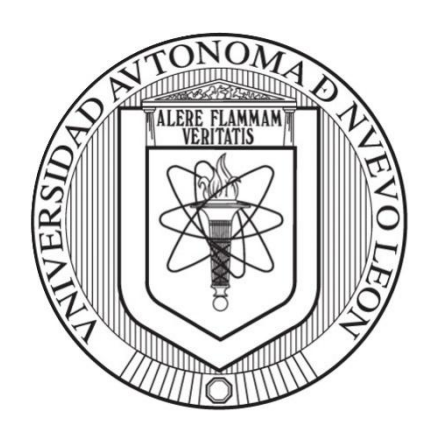
UNIVERSIDAD AUTONOMA DE NUEVO LEON

FACULTAD DE CIENCIAS BIOLOGICAS



Evaluación de Riesgo por Incendios en el Parque Nacional "Cumbres de Monterrey", Nuevo León, México, y Propuestas de Estrategias de Prevención Óptimas empleando un Metamodelo de Aprendizaje Autónomo.

POR

Pedro Adrián Ibarra Elizondo

COMO REQUISITO PARCIAL PARA OBTENER EL GRADO DE MAESTRO EN CIENCIAS CON ORIENTACIÓN EN CONSERVACIÓN, FAUNA SILVESTRE Y SUSTENTABILIDAD EVALUACIÓN DE RIESGO POR INCENDIOS EN EL PARQUE NACIONAL

"CUMBRES DE MONTERREY", NUEVO LEÓN, MÉXICO, Y PROPUESTAS

DE ESTRATEGIAS DE PREVENCIÓN ÓPTIMAS EMPLEANDO UN

METAMODELO DE APRENDIZAJE AUTÓNOMO.

Comité de Tesis

Dra. Susana Favela Lara Directora

Dr. Roberto Eduardo Mendoza Alfaro

Dra. Alina Olalla Kerstupp Vocal I

Dr. Juan Antonio García Salas Vocal II

Dr. José Ignacio González Rojas

Vocal III

Dra. Katiushka Areval Nine Subdirectora de Posgsadorrección

DE POSGRADO

EVALUACIÓN DE RIESGO POR INCENDIOS EN EL PARQUE NACIONAL

"CUMBRES DE MONTERREY", NUEVO LEÓN, MÉXICO, Y PROPUESTAS

DE ESTRATEGIAS DE PREVENCIÓN ÓPTIMAS EMPLEANDO UN

METAMODELO DE APRENDIZAJE AUTÓNOMO.

Dirección de Tesis

Dra. Susaha Favela Lara Directora

Mtr. Gabriel Gerardo Mata Flores Asesor Externo

AVISO DERECHOS DE AUTOR

DERECHOS RESERVADOS ©

PROHIBIDA SU REPRODUCCIÓN TOTAL O PARCIAL

Todo el material contenido en esta Tesis está protegido, el uso de imágenes, fragmentos de videos, y demás material contenido que sea objeto de protección de los derechos de autor, será exclusivamente para fines educativos e informativos y deberá citar la fuente donde se obtuvo mencionando al autor o autores.

AGRADECIMIENTOS

La investigación resultante es un reflejo del apoyo recibido principalmente por los cuerpos académico y administrativo de la Facultad de Ciencias Biológicas de la Universidad Autónoma de Nuevo León, valorando sus esfuerzos para la formación académica y profesional del autor; además de los patrocinios otorgados por la Comisión Nacional de Humanidades, Ciencias y Tecnologías (CONAHCYT), ahora Secretaría de Ciencia, Humanidades, Tecnología e Innovación (SECIHTI), que sustentaron por dos años la ejecución de las actividades del proyecto.

De manera específica, se extiende este reconocimiento a los integrantes del **Departamento de Ecología** y al **laboratorio de Paleobiología** que concedieron el uso de sus espacios y equipos de cómputo, además de facilitar el material didáctico-científico que fungió como base para el establecimiento del presente proyecto.

Igualmente, corresponde este agradecimiento de forma especial a la Dra. Susana Favela Lara, Dr. Roberto Eduardo Mendoza Alfaro, Dra. Alina Olalla Kerstupp, Dr. Juan Antonio García Salas, Dr. Hidalgo Rodríguez Vela†, Dr. José Ignacio González Rojas y al M.C. Gabriel Gerardo Mata Flores, por su interés, tutoría, retroalimentación y consejos a lo largo de la elaboración de esta investigación.

Finalmente, no se ignoran los esfuerzos en conjunto de todos los académicos, ingenieros y científicos en los trabajos y métodos que inspiraron el tópico de esta tesis.

DEDICATORIAS

Que de mi sudor, sangre y lágrimas tras mi esfuerzo se rescate el inmenso cariño con el que dedico este trabajo y demás logros que obtuve a lo largo de mi formación a:

Mi madre y padre, Diana Laura Elizondo Fuentes y Luis Carlos Ibarra Serna†, mis pilares fundamentales en la vida a quienes les guardo un profundo respeto y que siempre llevaré en mi corazón.

Mi hermana, Natalia, que a pesar de ser uno tan distinto del otro, nos complementamos, y nos demostramos nuestro orgullo y apoyo a nuestra manera.

Mi abuela y abuelo, Socorro y Rogelio, que con tanto afecto me han recibido entre sus brazos envolviéndome con su cariño incondicional y que siguen apoyando mis ideales.

Mis amigos más cercanos, Adriana, Andreé, Christian, Cuauhtémoc, Daniel H., Daniel R., Eduardo, Enrique, Felipe, Héctor, Hugo, Iván, Raúl y Rubén, que en estos años hemos construido amistad tan noble, en la cual he de preservar las memorias vividas con todos por siempre. Donde, a pesar de las temporales ausencias o conflictos, seguimos fortaleciéndonos y amparándonos mutuamente.

Mis compañeros, y amigos también, de mi formación profesional, Adrián, Carlos, Cecilia, Fanti, Magalli, Nora, Rafael, Samantha y Valeria, que me han aceptado a pesar de mi excentricidad y me siguen dando el aliento que necesito para continuar.

Mis maestros, tutores y asesores de la carrera, en especial la Dra. Susana Favela Lara y el Dr. Hidalgo Rodríguez Vela†, quienes me han inspirado y forjado en el académico, científico y profesional que soy ahora.

Y a todos aquellos que me han remarcado su apoyo incondicional en mi vida.

ÍNDICE

INDICE D	DE TABLAS	
ÍNDICE D	E FIGURAS	
LISTA DE	SÍMBOLOS Y ABREVIATURAS	IV
RESUME	N	
	CT	
	JCCIÓN	
	DENTES	
	ARQUE NACIONAL "CUMBRES DE MONTERREY"	
1.1	Aprovechamiento	
1.2	Problemáticas	
	REVENCIÓN Y CONTROL DE INCENDIOS	
2.1	Métodos y algoritmos	
2.2	Sistemas	
2.3	Legislación	
2.4	Protocolos, programas y manuales	13
JUSTIFIC	ACIÓN	14
OBJETIV	os	15
METODO	LOGÍA	16
	REA DE ESTUDIO	
1.1.	Localización	
1.2. 1.3.	Aspectos físicos	
1.3. 1.4.	Aspectos viologicos	
	Aspectos socioaemograficos	
	REDICTORES	
3.1.	Climáticos	
3.2.	Topográficos	
3.3.	Hidricos	
3. <i>4</i> .	Ecosistémicos	
3.5.	Demográficos	
	ONSTRUCCIÓN DE LAS BASES DE DATOS	
	ODELOS BASE	
5.1.	Regresión Logística Estándar	
5.2.	Árbol de decisión	
5.3.	Máquinas de Vectores Soporte (SVM)	
5.4.	k-Vecinos Cercanos (KNN)	28
5.5.	Regresión Multinomial	29
5.6.	Bosques Aleatorios (RF)	
5.7.	Refuerzo de Gradientes Extremo (XGBoost)	
6. E1	NTRENAMIENTO, PRÁCTICA Y EVALUACIÓN DE SUBMODELOS	32
7. IN	MPORTANCIA DE PREDICTORES	
7.1.	Ganancia	
7.2.	Curvas de respuesta	
	ONSTRUCCIÓN Y APLICACIÓN DEL METAMODELO	
9. E	VALUACIÓN ESPACIAL Y ESTRATEGIAS	36

1. R	EGISTROS DE INCENDIOS	3
2. V	ARIACIÓN GEOESPACIAL DE LOS PREDICTORES	3
3. B	ASES DE DATOS	4
4. M	ODELOS BASE Y SUBMODELOS	4
4.1.	Evaluación estadística del 2013	4
4.2.	Evaluación estadística del 2014	4
4.3.	Evaluación estadística del 2016	4
4.4.	Evaluación estadística del 2019	4
4.5.	Evaluación estadística del 2020	4
4.6.	Evaluación estadística del 2021	4
4.7.	Evaluación estadística del 2022	5
5. IN	MPORTANCIA DE PREDICTORES	5
5.1.	Ganancia	5
5.2.	Curvas de respuestas de 2013	5
<i>5.3</i> .	Curvas de respuestas de 2014	5
5.4.	Curvas de respuestas de 2016	
5.5.	Curvas de respuestas de 2019	5
5.6.	Curvas de respuestas de 2020	5
5.7.	Curvas de respuestas de 2021	5
5.8.	Curvas de respuestas de 2022	5
6. M	ETAMODELOS	6
6.1.	Metamodelo del 2013	6
6.2.	Metamodelo del 2014	
6.3.	Metamodelo del 2016	6
6.4.	Metamodelo del 2019	
6.5.	Metamodelo del 2020	6
6.6.	Metamodelo del 2021	6
6.7.	Metamodelo del 2022	6
7. V	ULNERABILIDAD A INCENDIOS	6
	VALUACIÓN ESPACIAL	
8.1.	Subzona 1	
8.2.	Subzona 2	
8.3.	Subzona 3	
8.4.	Subzona 4	
8.5.	Subzona 5	
9. P	ROPUESTAS	7
DISCUSIO	ÒN	7
CONCLU	SIÓN	7
PERSPEC	TIVAS	8
	RAFÍA	

ÍNDICE DE TABLAS

Tabla	Título de Tabla	Página
1	Cobertura de uso de suelo y vegetación del PNCM	19
2	Estadísticos para valoración y selección de mejores submodelos	33
3	Disposición de la información para cada BD construida en cada año	46
4	Evaluación de los mejores candidatos para cada modelo en el año 2013	47
5	Evaluación de los mejores candidatos para cada modelo en el año 2014	47
6	Evaluación de los mejores candidatos para cada modelo en el año 2016	48
7	Evaluación de los mejores candidatos para cada modelo en el año 2019	48
8	Evaluación de los mejores candidatos para cada modelo en el año 2020	49
9	Evaluación de los mejores candidatos para cada modelo en el año 2021	49
10	Evaluación de los mejores candidatos para cada modelo en el año 2022	50
11	Coeficientes para el establecimiento del metamodelo del año 2013	60
12	Evaluación del metamodelo construido para el año 2013.	60
13	Coeficientes para el establecimiento del metamodelo del año 2014	61
14	Evaluación del metamodelo construido para el año 2014	61
15	Coeficientes para el establecimiento del metamodelo del año 2016	61
16	Evaluación del metamodelo construido para el año 2016	61
17	Coeficientes para el establecimiento del metamodelo del año 2019	62
18	Evaluación del metamodelo construido para el año 2019	62
19	Coeficientes para el establecimiento del metamodelo del año 2020	62
20	Evaluación del metamodelo construido para el año 2020	63
21	Coeficientes para el establecimiento del metamodelo del año 2021	63
22	Evaluación del metamodelo construido para el año 2021	63
23	Coeficientes para el establecimiento del metamodelo del año 2022	64
24	Evaluación del metamodelo construido para el año 2022	64
25	Extensión de las áreas susceptibles al interior del PNCM	65
26	Niveles de vulnerabilidad por año de permanencia y extensión al interior	66
	del PNCM	
27	Acciones propuestas por ejercicios en distintos plazos para la	72
	prevención/control de incendios en el PNCM	

ÍNDICE DE FIGURAS

Figura	Título de Figura	Página
1	Cañón de La Huasteca, y ribera del Río Santa Catarina en 1940	3
2	Tasa de cambio del suelo y vegetación en el PNCM entre 2000 - 2018	4
3	Barrenador Mexicano y Muérdago Enano	5
4	Mamíferos exótico-invasores presentes en regiones del PNCM.	6
5	"El PNCM padece el más grande incendio de su historia"	7
6	Superficie afectada por incendios en el PNCM entre 1940 - 2020	8
7	Riesgo por incendios de la costa mediterránea de España en 1985	9
8	Susceptibilidad a incendios forestales al norte de Marruecos	10
9	Portada del documento Programa de Manejo del Fuego	13
10	Delimitación del territorio del PNCM	16
11	Elevación del PNCM	17
12	Climatología del PNCM	18
13	Sistemas hídricos del PNCM	18
14	Uso de suelo y vegetación del PNCM	20
15	División política municipal en el PNCM	21
16	Áreas geoestadísticas básicas en el PNCM	22
17	Proceso de construcción de los algoritmos base y el metamodelo	36
18	Reportes de incendios ocurridos al interior del PNCM entre $2013 - 2022$	38
19	Aportación a los registros de incendios por catálogo de las BDs	39
20	Dinámica de la Temperatura Superficial del Suelo (LST) en el PNCM	40
21	Variación de la Temperatura Superficial del Suelo (LST) en el PNCM	40
22	Dinámica del Índice de Humedad (NDMI) en el PNCM	41
23	Variación del Índice de Humedad (NDMI) en el PNCM	41
24	Inclinación de las pendientes en el PNCM	42
25	Orientación de laderas en el PNCM	42
26	Proximidad a cuerpos hídricos en el PNCM	43
27	Principales usos y tipos de vegetación en el PNCM	44
28	Dinámica del Índice de Vegetación (NDVI) en el PNCM	44
29	Variación del Índice de Vegetación (NDVI) en el PNCM	45
30	Proximidad a localidades en el PNCM	45
31	Proximidad rutas de turismo en el PNCM	46

32	Ganancia de los predictores de los modelos base desde 2013 a 2019	51
33	Ganancia de los predictores de los modelos base desde 2020 a 2022	52
34	Dependencias parciales en los modelos base del año 2013	53
35	Dependencias parciales en los modelos base del año 2014	54
36	Dependencias parciales en los modelos base del año 2016	55
37	Dependencias parciales en los modelos base del año 2019	56
38	Dependencias parciales en los modelos base del año 2020	57
39	Dependencias parciales en los modelos base del año 2021	58
40	Dependencias parciales en los modelos base del año 2022	59
41	Susceptibilidad ante incendios al interior del PNCM	65
42	Permanencia de sitios susceptibles ante incendios al interior del PNCM	66
43	Subzona 1 para la propuesta de estrategias contra incendios en el PNCM	67
44	Subzona 2 para la propuesta de estrategias contra incendios en el PNCM	68
45	Subzona 3 para la propuesta de estrategias contra incendios en el PNCM	69
46	Subzona 4 para la propuesta de estrategias contra incendios en el PNCM	70
47	Subzona 5 para la propuesta de estrategias contra incendios en el PNCM	71

LISTA DE SÍMBOLOS Y ABREVIATURAS

PNCM Parque Nacional "Cumbres de Monterrey"

ZMM Zona Metropolitana de Monterrey

CONABIO Comisión Nacional para el Conocimiento y Uso de la Biodiversidad

SEMARNAT Secretaría de Medio Ambiente y Recursos Naturales

CONAFOR Comisión Nacional Forestal

CONANP Comisión Nacional de Áreas Naturales Protegidas

INEGI Instituto Nacional de Estadística y Geografía

|x| Valor absoluto de un número x

||x|| Norma euclidiana de un vector o matriz x

(x|y) Un valor x tal que y

 $\{\Box\}$ Conjunto \sum Sumatoria \in Pertenece a

 \mathbb{Z} Números reales

RESUMEN

Una de las principales amenazas actuales hacia las comunidades vegetales del planeta es el incremento en la ocurrencia de incendios que pone en riesgo simultáneamente a las comunidades animales refugiadas en estos ecosistemas y la salud humana, llegando a ser víctima de estos incidentes la región del Parque Nacional "Cumbres de Monterrey (PNCM), localizada al interior del estado de Nuevo León, México. A razón de lo anterior, se propone una categorización del territorio del PNCM con base en una evaluación del riesgo de incendios de los sectores empleando un metamodelo que acopla múltiples algoritmos de aprendizaje autónomo de máquina (Machine Learning). Estos algoritmos son retroalimentados con los registros históricos de incendios ocurridos en la temporada de incendios de la región de interés (Febrero – Mayo) para los años 2013 a 2022 aunado con la variación espacial-temporal de los componentes climáticos, topográficos, hídricos, ecosistémicos y demográficos. Los resultados anuales de los metamodelos logarítmicos, en conjunto, proporcionan las herramientas necesarias para describir el comportamiento estacional de los incendios, la definición de zonas prioritarias y el establecimiento de estrategias adecuadas de control y prevención de siniestros en el PNCM, acoplando recomendaciones de protocolos nacionales e internacionales previamente establecidos, además de transigir a favor en el debate de la viabilidad y aplicación de estos arquetipos de clasificación para la predicción de siniestros.

ABSTRACT

One of the main current threats to Earth's plant communities is the increase in occurrences of wildfires that simultaneously puts the sheltered animal communities of these ecosystems, as well as human health, at risk, becoming a victim of these incidents the National Park "Cumbres de Monterrey" (PNCM, by its acronym in spanish), located in Nuevo León, México. For the aforementioned, a categorization of the PNCM territory based on a wildfire risk evaluation of the sectors by employing a metamodel that generalizes multiple Machine Learning methodologies it's proposed. These algorithms are fed back with the historical records of wildfires that occurred in the fire season of the region of interest (February – May) for the years 2013 to 2022 combined with the spatialtemporal variation of the climatic, topographical, water, ecosystem and demographic components. The annual results of the logarithmic metamodels, all together, provide the necessary tools to describe the seasonal behavior of wildfires, the definition of priority areas and the establishment of adequate strategies for control and prevention of fires in PNCM, coupling recommendations from previously established national and international protocols, in addition to advocate in favor in the debate on the feasibility and application of these classification archetypes for wildfire predictions.

INTRODUCCIÓN

La región de "Cumbres de Monterrey", ubicada al interior del estado de Nuevo León, fue declarada como Área Natural Protegida con carácter de Parque Nacional en el año de 1939 bajo el gobierno del presidente Lázaro Cárdenas del Río (DOF, 1939), esto con el objetivo de preservar la riqueza edáfica, hídrica y biológica ante las amenazas por la expansión urbana y la explotación de los recursos naturales presentes en la misma (Cantú-Ayala *et al.*, 2013), por lo cual, se circunscribieron originalmente 2 450 km² como territorio bajo protección federal (Cantú-Ayala *et al.*, 2010).

A pesar de lo anterior, como respuesta a la presión del crecimiento exponencial de la población de la Zona Metropolitana de Monterrey (ZMM), en el año 2000 se aprobó un decreto de redelimitación del Parque Nacional que redujo la superficie a solamente 1 773.96 km² lo cual representó el desamparo de 676.04 km².

Los ecosistemas del Parque Nacional "Cumbres de Monterrey" (PNCM) se ven comprometidos por una variedad de amenazas externas (CONANP, 2020), entre ellas, una de las que mayor inquietud recaba es la ocurrencia periódica de incendios en la región desde inicios del siglo XXI (Fueyo-MacDonald, 2013; CONANP, 2020). Las causas que se le atribuyen a estos siniestros son de condición antropogénica primordialmente como la contaminación por residuos de la ZMM (Fueyo-MacDonald, 2013), el estrés edáfico y readaptación de las zonas para actividades turísticas (Narváez-Torres y Lazcano-Villareal, 2013), y el aumento de los valores de temperatura promedio, aunado a la reducción de precipitaciones anuales, como consecuencia del cambio climático (Jiménez-Pérez *et al.*, 2013).

Ante esto, distintas instituciones de los tres niveles de gobierno -municipal, estatal y federal- han procurado considerables esfuerzos para abordar la problemática a través de distintos flancos simultáneamente como la instauración del Programa de Manejo del Fuego para el PNCM (SCMF, 2017) y el Programa Nacional de Protección contra Incendios Forestales (SEMARNAT, 2008), boletines y campañas para promover la conciencia ciudadana (Gobierno de Nuevo León, 2023a, 2023b) e inclusive la declaración de una reforma al Artículo 446 del Código Penal Estatal que en su inciso III establece como Delito Contra el Medio Ambiente a *la acción de provocar un incendio sin*

autorización de facultades competentes que provoquen daños a la salud pública o elementos naturales de cualquier ecosistema (Código Penal Estatal para el Estado de Nuevo León, 2020), adicionando el Artículo 446 Bis el cual manifiesta que las sanciones serán aumentadas hasta un 50% si el incendio provocado ocurrió en terreno forestal (Código Penal Estatal para el Estado de Nuevo León, 2023).

Asimismo, y de acuerdo con los avances en los campos de Análisis de Datos e Inteligencia Artificial en las últimas dos décadas, se han desarrollado modelos algebraicos que han facilitado el análisis de posibles patrones de ocurrencia de siniestros en regiones de interés para la protección de especies (Abid, 2021). Una variedad de arquetipos de predicción y clasificación han sido adaptados para enfrentar la problemática de incendios forestales, desde algoritmos matemáticamente simples como regresiones de funciones lineares o sigmoides (Chuvieco y Congalton, 1989), hasta modelos más complejos como árboles de decisión (Bax y Francesconi, 2018), algoritmos genéticos (Hong *et al.*, 2018), máquinas de vectores de soporte (Singh *et al.*, 2021) o redes neuronales artificiales (Mohajane *et al.*, 2021).

Proyectos relacionados a la predicción de incendios forestales empleando algoritmos autónomos de máquina son aún escasos en la región, por lo cual su viabilidad y aplicación se mantiene como tema de discusión entre las partes involucradas en conservar y proteger los componentes del Parque Nacional "Cumbres de Monterrey". Por este motivo, en el presente proyecto se plantea el desarrollo de un metamodelo que generalice los resultados de una variedad de algoritmos autónomos con la finalidad de examinar el riesgo por incendios de la región y, en paralelo, transigir a favor en el debate sobre la viabilidad de estas metodologías novedosas.

Inclusive, se plantea el análisis espacial detallado para el establecimiento de estrategias y campañas óptimas específicas para la prevención de incendios en las regiones vulnerables al interior del Parque Nacional y de primera respuesta en caso de ocurrencia mediante la adaptación de protocolos ya existentes.

ANTECEDENTES

1. Parque Nacional "Cumbres de Monterrey"

1.1 Aprovechamiento

El Parque Nacional "Cumbres de Monterrey" provee de diversos servicios ambientales a la sociedad, esto como consecuencia de su alta complejidad ecosistémica (Cantú-Ayala *et al.*, 2013), tales como: retener y disponer del recurso hídrico vital para la ZMM (Pérez-Ortiz, 2013; Saldívar *et al.* 2013); regular el flujo de las escorrentías que, si no perdieran su fuerza al ser desviadas por los canales hídricos naturales de la región, pueden transformarse en agentes de amenazas para las localidades circundantes (Pérez-Ortiz, 2013); proveer un refugio, temporal o permanente, para la vida silvestre; servir como amortiguador ante situaciones climáticas extremas gracias a su cobertura vegetal (Aguirre-Calderón *et al.*, 2013); disponer de una belleza escénica distinguible y con un alto valor cultural para la región (CONANP, 2020); y facilitar el aprovechamiento sostenible de los recursos naturales, ganaderos y agrícolas entre las comunidades al interior del Parque Nacional (Ortiz-Hernández *et al.*, 2013) (Figura 1).





Figura 1. Perspectiva aérea del cañón de La Huasteca, Santa Catarina (izquierda), ribera del Río Santa Catarina en 1940 (derecha).

Las zonas establecidas para actividades ganaderas y agrícolas, según CONANP (2020), no representan una amenaza a los objetivos del Parque Nacional a razón de la cobertura minúscula al compararse con la extensión total de la región, los impactos apenas perceptibles a los ecosistemas, y su alta rentabilidad para la subsistencia de las comunidades rurales del territorio. Aun así, Ortiz-Hernández (2015) refiere que las zonas ganaderas son 72% similares a aquellas sin presencia de animales domésticos, instituyendo efectos diversos en los estratos vegetales por la remoción de biomasa.

1.2 Problemáticas

De los principales procesos que amenazan los objetivos para la conservación, preservación y aprovechamiento sustentable de los recursos del Parque Nacional "Cumbres de Monterrey" son, según el mismo plan de manejo de la región elaborado por CONANP (2020):

1.2.1 Cambio de uso del suelo

La remoción de la vegetación con el argumento de propiciar la expansión de la mancha urbana o la re-adaptación de las zonas para actividades turísticas conlleva inherentemente una fragmentación de los ecosistemas, por lo mismo, las regiones se vuelven vulnerables ante el establecimiento de especies exóticas invasoras, incendios forestales provocados por acciones antropogénicas y ataques por plagas o enfermedades. En el tema, Sandoval-García *et al.* (2021) exponen la pérdida significativa de pastizales, matorrales rosetófilos y matorrales desérticos micrófilos, con tasas anuales de cambio de -0.954, -0.735 y 0.562, respectivamente, identificando una pérdida anual de 1 919.97 ha de cobertura vegetal en el transcurso de los años 2000 a 2018 (Figura 2).

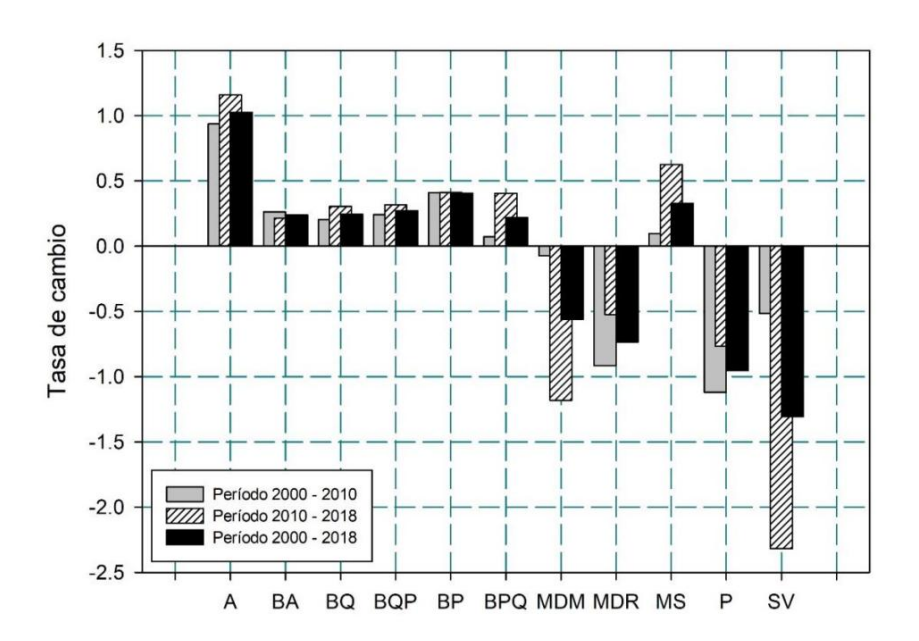


Figura 2. Dinámica de la tasa de cambio del suelo y vegetación en el PNCM en los años 2000 - 2018. Donde: A = agricultura, BA = Bosque de Ayarín, BQ = Bosque de Encino, BQP = Bosque de Encino-Pino, BP = Bosque de Pino, BPQ = Bosque de Pino-Encino, MDM = Matorral Desértico Micrófilo, MDR = Matorral Desértico Rosetófilo, MS = Matorral Submontano, P = Pastizal; SV = Sin Vegetación. Recuperado de Sandoval-García et al. (2021).

1.2.2 Sanidad forestal

Procurar la salud de los ecosistemas forestales es esencial para asegurar la permanencia de las especies tanto vegetales como de fauna, esto supone mantener un considerable esfuerzo de muestreo para monitorear la salud de los bosques, matorrales, pastizales y otras composiciones existentes en el parque. Por mencionar algunos ejemplos, las especies de insectos descortezadores como el Barrenador Mexicano (*Dendroctonus mexicanus*) y plantas parásitas como el Muérdago Enano (*Arceuthobium vaginatum*) (Figura 3) ponen en riesgo la salud de ciertas especies de coníferas categorizadas bajo algún grado de la NOM-059-SEMARNAT-2010, como *Picea martinezii* y *Pinus pinceana*, consideradas como En Peligro de Extinción (P), o *Pinus pseudostrobus* var. *pseudostrobus* y *Pseudotsuga menziesii* var. *glauca*, cuyas poblaciones se encuentran Bajo Protección Especial (Pr).





Figura 3. Barrenador Mexicano (Dendroctonus mexicanus) (izquierda) y Muérdago Enano (Arceuthobium, vaginatum) (derecha).

1.2.3 Especies exótico-invasoras

Uno de los asuntos de discusión del Marco Mundial de la Biodiversidad de Kunming-Montreal, que generaliza los objetivos globales para la defensa, preservación y conservación de la diversidad biológica, son las especies exóticas invasoras. Estos organismos tienen una alta capacidad de invadir nuevos hábitats fuera de sus rangos naturales, ya sea por factores intrínsecos o extrínsecos de la especie, y de desplazar a la biodiversidad nativa (CBD, 2022). El Parque Natural "Cubres de Monterrey" no se encuentra exento ante esta amenaza (Chong y Medina-Viezca, 2019), por lo cual, se mantienen altos esfuerzos para evitar la introducción y establecimiento de especies

exóticas invasoras, sin embargo, en la mayoría de los casos, estas los sobrepasan. Ejemplificando lo anterior, Ortiz-Morales (2022) destaca el impacto negativo que todas las especies de mamíferos exóticos presentes en un traslape de la región del PCNM con el municipio de Santiago, Nuevo León, infieren en los aspectos socioeconómicos, ecológicos y sanitarios (Figura 4).



Figura 4. Mamíferos exótico-invasores presentes en regiones del PNCM. Perro doméstico (Canis lupus familiaris) (superior izquierda); Cerdo doméstico (Sus scrufa) (superior derecha); Cabra doméstica (Capra hircus) (inferior izquierda); Asno africano (Equus asinus) (inferior derecha). Recuperado de Ortiz-Morales (2022).

1.2.4 Conflictos carnívoros-humanos

Debido a la coalescencia de la ZMM con los perímetros norte, noreste y sureste del Parque Natural "Cumbres de Monterrey" son frecuentes los enfrentamientos entre las especies carnívoras, como el Coyote (Canis latrans microdon), Jaguarundi (Herpailurus yagouaroundi carcomitli), Ocelote (Leopardus pardalis albescens), Tigrillo (Leopardus wiedii), Jaguar (Panthera onca veraecrusis), Puma (Puma concolor stanleyana) y Oso negro (Ursus americanus eremicus), ante los propietarios de zonas ganaderas y agrícolas, exponiéndose a un riesgo bilateral. Además, ha existido un aumento en los avistamientos de Oso negro en áreas de asentamiento humano, como fraccionamientos, avenidas principales y planteles educativos (CONANP, 2020).

1.2.5 Irregularidades legales

Cabe enlistar de igual manera, aunque no sea referido en el plan de manejo oficial o en algún otro documento que indique las problemáticas del Parque Nacional "Cumbres de Monterrey", las acciones de debatible sustento legal que empresas, grupos políticos y diversas instituciones públicas o privadas han ejercido en la región para el beneficio unilateral de estas desentendiendo en su totalidad los objetivos principales de conservación y protección de los ecosistemas y sus componentes. En la mayoría de estos casos, al momento de enfrentarse a las restricciones o el acato de regulaciones en sus actividades, estos grupos optan por la utilización del mecanismo legal del amparo para su defensa ante el decreto y normativas asociadas del PNCM (Esparza-Hernández, 2014).

1.2.6 Incendios forestales

Aunque en algunos casos la aparición de estos siniestros forme parte de los procesos naturales de sucesión ecológica para la remoción de organismos de edad avanzada y dar lugar a organismos más jóvenes (Castillo *et al.* 2003), en la actualidad, se ha registrado un aumento en la ocurrencia, extensión y potencia de los incendios forestales al interior del Parque Nacional, esto pone como principal objeto de amenaza a los exosistemas vegetales que fungen como refugio de la fauna que se establecen de forma permanente o temporal en la región (Estrada-Castillón *et al*, 2013) (Figura 5).



Figura 5. Fotografía con el titular: "Parque Nacional Cumbres de Monterrey padece el más grande incendio de su historia...". Recuperado de Rubio-Cano (2021).

Uno de los acercamientos basales para la evaluación de incendios forestales ocurridos al interior del Parque Nacional "Cumbres de Monterrey" se logró a través de la producción de su mismo Plan de Manejo (CONAFOR, 2020), en el cual, con el apoyo de los reportes de la dirección del Parque, se recopilaron las ocurrencias de incendios desde el año 2010 hasta el 2019 incluyendo, además, la superficie total afectada por estratos vegetales, señalando un total de 39 incendios en este mismo rango temporal los cuales afectaron 15.82 km² (Figura 6).

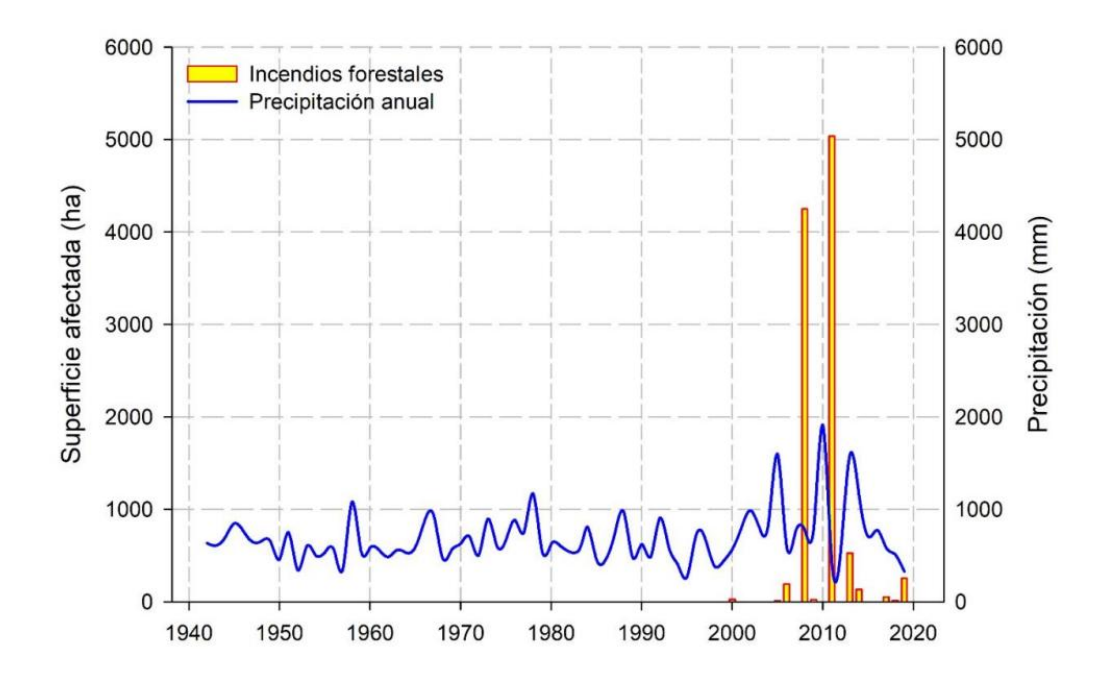


Figura 6. Superficie afectada por los incendios ocurridos en el PNCM entre los años 1940 - 2020. Recuperado de Sandoval-García et al. (2021).

Sin embargo, en los registros presentes en la base de datos SPPIF (CONAFOR, 2024) es posible encontrar hasta 13 ocurrencias de incendios al interior del parque desde los años 2005 a 2009, esta cantidad es excedida nuevamente y de manera significativa si se consideran los aportes de los catálogos de la base de datos FIRMS (NASA, 2024)

Generalmente, la manifestación de estos fenómenos en el PNCM es atribuida a las consecuencias -directas o indirectas- por acciones humanas negligentes, como la producción de fogatas, cigarrillos aún encendidos que son arrojados al suelo, incendios provocados no debidamente controlados, la readaptación de suelos para construcción o fines turísticos e, inclusive, a los residuos de basura abandonados que propician el "efecto lupa" (Estrada-Castillón *et al.*, 2013; Fueyo-MacDonald *et al.*, 2013).

2. Prevención y control de incendios

2.1 Métodos y algoritmos

Respondiendo a la necesidad internacional para la evaluación de zonas vulnerables ante cualquier riesgo por incendios se han propuesto diversos algoritmos para la categorización de áreas susceptibles en regiones naturales, uno de estos son los basados en los Procesos Analíticos Jerárquicos de Toma de Decisiones de Análisis Multicriterio (AHP-MCDM, por sus siglas en inglés), que a partir de un consenso de expertos se evalúan los factores con mayor importancia para la manifestación de incendios (Chuvieco y Congelton, 1989), logrando optimizar el aprovechamiento de los recursos disponibles para los programas de prevención y control (Figura 7).

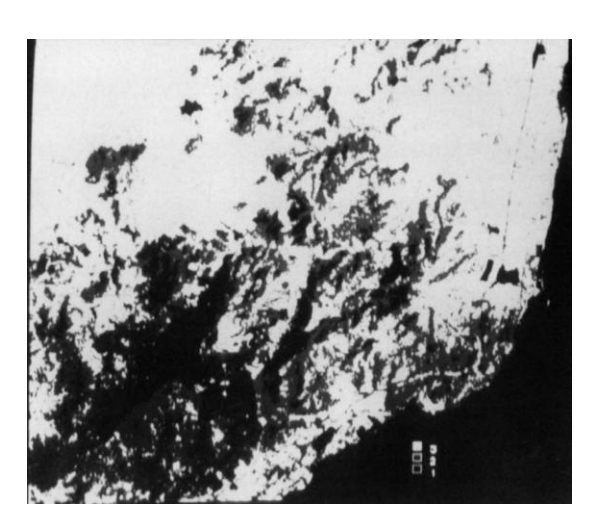


Figura 7. Clasificación del riesgo por incendios en una localidad de la costa mediterránea de España en 1985, dividido en tres categorías: 1) Riesgo alto, 2) Riesgo medio, y 3) Riesgo bajo. Recuperado de Chuvieco y Congalton, (1989).

Conforme a la apresurada evolución de los sistemas computacionales, con la misma velocidad y forma han progresado los modelos de predicción, optándose ahora por algoritmos más complejos pero que al mismo tiempo registran un mayor potencial de precisión para la categorización de áreas vulnerables a incendios, tales como los Algoritmos Autónomos de Máquina (Machine Learning, en inglés). Entre estos pueden hallarse modelos considerablemente complejos como Simulaciones de Monte Carlo (Conedera *et al.*, 2011), Máquinas de Vectores Soporte (Singh *et al.*, 2021), Bosques Aleatorios y Redes Neuronales Artificiales (Mohajane *et al.*, 2021) (Figura 8), e inclusive la adaptación de softwares genéticos (Hong *et al.*, 2018).

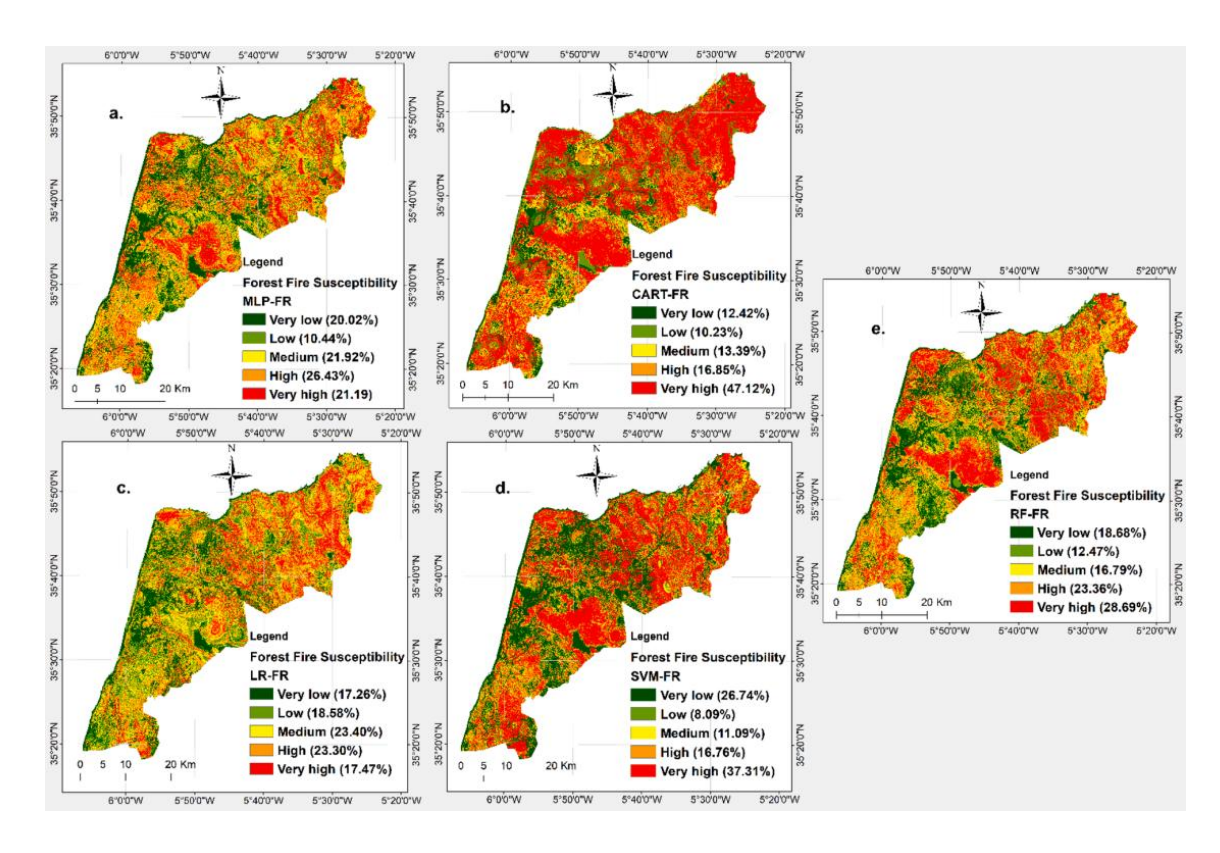


Figura 8. Susceptibilidad a incendios forestales en una región de Tanger-Tétouan-Al Hoceima, al norte de Marruecos, empleando modelos de ensamble. Recuperado de Mohajane et al. (2021).

2.2 Sistemas

En México, con base en los esfuerzos de la Comisión Nacional Forestal (CONAFOR), se ha desarrollado el Sistema de Prevención por Peligro de Incendios Forestales (SPPIF) (CONAFOR, 2024), el cual considera información meteorológica satelital en tiempo real aunado al análisis de variables como densidad de caminos, de asentamientos humanos y de regiones agrícolas, un índice de sequía de combustible y la biomasa forestal, para determinar zonas con alto riesgo de ocurrencia de incendios.

Este mismo sistema SPPIF es replicado para cada uno de los estados y los datos resultantes son actualizadas diariamente a través del portal digital con el mismo nombre, por lo cual, la información es accesible para el público general de manera gratuita.

Sin embargo, la principal deficiencia de este sistema es la resolución de información espacial, ya que, al procurar que este modelo sea fácilmente replicable para cada uno de los estados en tiempo real se renuncia a obtener una mayor precisión para la categorización.

2.3 Legislación

Como un intento para abordar la problemática de incendios forestales, de forma general, en México y sus estados se han propuesto reformas legislativas para establecer amonestaciones o penalizaciones por cualquier acción negligente que amenace la integridad de los ecosistemas naturales y/o sus componentes, así como la salud humana. Acoplándose a lo anterior, la federación mexicana promueve en función a partir del 06 de febrero de 2002 el artículo 420 BIS, fracción IV, Capítulo 2°, Título XXV, Libro 2° del Código Penal Federal, como dicta la cita:

CAPÍTULO 2°, TÍTULO XXV, LIBRO 2° DEL CÓDIGO PENAL FEDERAL

ARTÍCULO 420 BIS: Se impondrá pena de dos a diez años de prisión y por el equivalente de trescientos a tres mil días multa, a quien ilícitamente:

- I. Dañe, deseque o rellene humedales, manglares, lagunas, esteros o pantanos;
- II. Dañe arrecifes;
- III. Introduzca o libere en el medio natural, algún ejemplar de flora o fauna exótica que perjudique a un ecosistema, o que dificulte, altere o afecte las especies nativas o migratorias en los ciclos naturales de su reproducción o migración, o
- IV. <u>Provoque un incendio</u> en un bosque, selva, vegetación natural o terrenos forestales, que dañe elementos naturales, flora, fauna, los ecosistemas o al ambiente. Se aplicará una pena adicional hasta de dos años de prisión y hasta mil días multa adicionales, cuando las conductas descritas en el presente artículo <u>se realicen o afecten un área natural protegida</u>, o el autor o partícipe del delito previsto en la fracción IV, realice la conducta para obtener un lucro o beneficio económico.

Secundando las acciones de la federación, el estado de Nuevo León integra de manera secuencial desde el 10 de diciembre de 2019 al 17 de marzo de 2023 los artículos 446, fracciones I y II y 446 BIS, Capítulo único, Título XXVIII, Libro 2° del Código Penal Estatal para el Estado de Nuevo León, argumentando:

CAPÍTULO ÚNICO, TÍTULO XXVIII, LIBRO 2º DEL CÓDIGO PENAL ESTATAL PARA EL ESTADO DE NUEVO LEÓN

ARTÍCULO 446: Se impondrá pena de prisión de uno a nueve años y multa de treinta a ciento cincuenta cuotas, a quien realice, autorice, u ordene cualquiera de las siguientes conductas:

 Tale, desmonte o destruya árboles de bosques y/o afecte recursos forestales, salvo aquellos casos que estén contemplados en los ordenamientos correspondientes y cuenten con el permiso o autorización de la autoridad competente;

- II. Transporte, comercie, acopie, almacene o transforme madera en carbón vegetal, así como cualquier recurso forestal maderable sin la autorización de la autoridad competente.
- III. Provoque una explosión, inundación, incendio o bien realice pintas, sin importar el material ni el instrumento, sin la autorización o permiso de la autoridad competente, que causen daños a la salud pública, flora, fauna o a los elementos naturales de un ecosistema.
- IV. Descargue, deposite, infiltre o derrame aguas residuales de carácter industrial, comercial, de servicios o agropecuarios, desechos o contaminantes en las aguas o en los suelos de jurisdicción estatal o municipal, que causen daños a la salud pública, la flora, la fauna o a un ecosistema:
- V. Realice, autorice, consienta, permita u ordene la descarga, el depósito o infiltración de residuos industriales sólidos o líquidos no peligrosos, ya sean químicos o bioquímicos al sistema de alcantarillado, drenaje, ríos, cuencas, vasos o demás depósitos de corrientes de agua, en contravención a los ordenamientos correspondientes, que causen o puedan causar daño a la salud pública, la flora, la fauna o a un ecosistema;
- VI. Deposite escombros, residuos sólidos urbanos, derivados del petróleo o residuos sólidos o líquidos no peligrosos, ya sean químicos o bioquímicos en áreas públicas, cerros, montañas, bosques, llanuras, mantos acuíferos, ríos o presas, que causen o puedan causar daño a la salud pública, la flora, la fauna o a un ecosistema;
- VII. Emita gases o partículas sólidas o líquidas a la atmósfera provenientes de fuentes fijas, sin aplicar las medidas de prevención o seguridad de acuerdo con los ordenamientos correspondientes, que causen o puedan causar daños graves a la salud pública, la flora, la fauna o a un ecosistema;
- VIII. Transporte, comercie, almacene, deseche, descargue, o realice cualquier actividad empleando residuos sólidos urbanos o de manejo especial, sin la autorización de la autoridad competente que causen o puedan causar daños a la salud pública, al medio ambiente o a los recursos naturales;
- IX. Debiendo obtener la autorización de impacto y riesgo ambiental, realice obras o actividades, sin contar con la misma o no implemente las medidas preventivas o correctivas que indique la autoridad competente para la mitigación de impactos ambientales y de seguridad para las personas, sus bienes y el medio ambiente, ocasionando daños a la salud pública, la flora, la fauna o a un ecosistema; o
- X. Realice actividades de explotación, extracción, procesamiento o aprovechamiento de minerales o sustancias no reservadas a la federación, tales como rocas o productos que puedan utilizarse como materia prima que genere daños a la salud pública, al medio ambiente o a los recursos naturales sin la autorización de la autoridad competente.

ARTÍCULO 446 BIS: Las sanciones previstas en el primer párrafo del artículo anterior se aumentarán hasta en una mitad cuando la explosión o el incendio a que se contrae la fracción II del propio artículo, <u>se provoquen en un terreno forestal</u>.

2.4 Protocolos, programas y manuales

De manera simultánea, se adaptan diversas estrategias nacionales y estatales para el proceso de prevención y/o control de incendios en las regiones naturales, como el Programa de Manejo del Fuego (SCMF, 2017), el Programa Nacional de Protección contra Incendios Forestales (SEMARNAT, 2008), y el Programa de Protección Civil para Incendios Forestales (SSC, 2014), cuyo objetivo es la estandarización de los protocolos de prevención y respuesta inmediata ante siniestros (Figura 9).



Figura 9. De izquierda a derecha, portadas de los documentos del Programa de Manejo del Fuego, el Programa Nacional de Protección contra Incendios Forestales, y el Programa de Protección Civil para Incendios Forestales.

En estos manuales se resalta la importancia de mantener muestreos persistentes con esfuerzo considerable sobre la salud vegetal y la composición ecosistema, aunado a la evaluación de posibles factores de riesgo para la ocurrencia de incendios, además de insistir en involucrar a los ciudadanos para generar un movimiento de conciencia ambiental con la finalidad general de impedir estos eventos (SEMARNAT, 2008; SCMF, 2017).

JUSTIFICACIÓN

Contexto Sociodemográfico

El modelo de clasificación del PNCM posibilita garantizar la seguridad de las poblaciones al interior del territorio, además de promover la respuesta efectiva para prevenir y controlar los incendios.

Contexto Cultural-Histórico

El presente proyecto permite justificar el valor cultural e histórico de la región además de adicionar un valor científico y procurar su conservación.

Contexto Económico

El impacto de los incendios conduce directamente a la pérdida de los recursos provistos por la región, por lo cual, se prioriza establecer áreas susceptibles y exhortar una mejor destinación de los recursos económicos disponibles.

Contexto Ecológico

La extensión y potencia de los incendios del Parque Natural han incrementado, por lo cual se pone en riesgo la estabilidad del paisaje natural, conduciendo a la fragmentación del hábitat que desencadena en la divergencia de poblaciones locales. A razón de esto, se formulan estrategias de prevención y de primera respuesta óptimas ante incendios en la región para prevenir esta reacción en cadena.

Contexto Político

Empleando la legislación vigente, aunado al conocimiento específico de los componentes del Parque Nacional y sus regiones vulnerables, se exhorta a la conciencia ciudadana para la protección de la belleza escénica y ecosistémica que provee la región.

Contexto Metodológico

Los algoritmos de aprendizaje autónomo permiten reducir la influencia de sesgos (bias) y aumentar la resolución de la información resultante, por lo cual se establece el estudio basal de su aplicación para actualizar las metodologías de predicción de incendios forestales de la región y proponer estrategias, protocolos y programas de prevención y control de siniestros.

OBJETIVOS

General:

Caracterizar el territorio del Parque Nacional "Cumbres de Monterrey" (PNCM) a
través de una evaluación del riesgo de incendios empleando un metamodelo de
aprendizaje autónomo para generar estrategias adecuadas de prevención y/o
control.

Específicos:

- Recopilar los registros georreferenciados de incendios ocurridos dentro de la extensión del PNCM entre los años 2013 - 2022 presentes en las bases de datos SPPIF (CONAFOR, 2024) y FIRMS (NASA, 2024).
- 2. Establecer los modelos base, y sus hiperparámetros, que conformarán el metamodelo de aprendizaje autónomo.
- 3. Evaluar la calidad de los modelos base y submodelos entrenados utilizando los estadísticos de Exactitud, Precisión, Sensibilidad, F1-Score, Estadístico Kappa, y el Coeficiente de Correlación de Matthews.
- 4. Destacar las variables que, de manera óptima, expliquen la variación de la ocurrencia de incendios siguiendo la métrica de permutación de importancia por características y la función de dependencia parcial.
- 5. Construir un metamodelo de aprendizaje autónomo seleccionando los mejores submodelos candidatos para caracterizar el territorio con base en su propensión a incendios según los registros históricos y la variación espacial de los componentes bióticos y abióticos.
- 6. Aplicar el metamodelo virtual al ambiente real para la caracterización del territorio y señalar las zonas con mayor riesgo de incendios.
- 7. Realizar un análisis espacial de las zonas propensas a incendios para proponer estrategias adecuadas para el control y/o prevención de incendios.

METODOLOGÍA

1. Área de estudio

1.1. Localización

Decretada como Área Natural Protegida con carácter de Parque Nacional el 24 de noviembre de 1939 (DOF, 1939), y con una extensión actual de 1 779.95 km² (Figura 10), la región de Cumbres de Monterrey se extiende por los municipios de García, Santa Catarina, San Pedro Garza García, Monterrey, Santiago, Allende, Montemorelos y Rayones del estado de Nuevo León, y a través de los municipios de Arteaga y Ramos Arizpe del estado de Coahuila de Zaragoza, esto a razón de una ordenanza vigente de redelimitación efectuada el 17 de noviembre en el año 2000 (DOF, 2000) con objetivo de reducir el perímetro del Parque Nacional debido a conflictos de interés políticos, de desarrollo urbano y legislativos (Fueyo-Mac Donald, 2013).

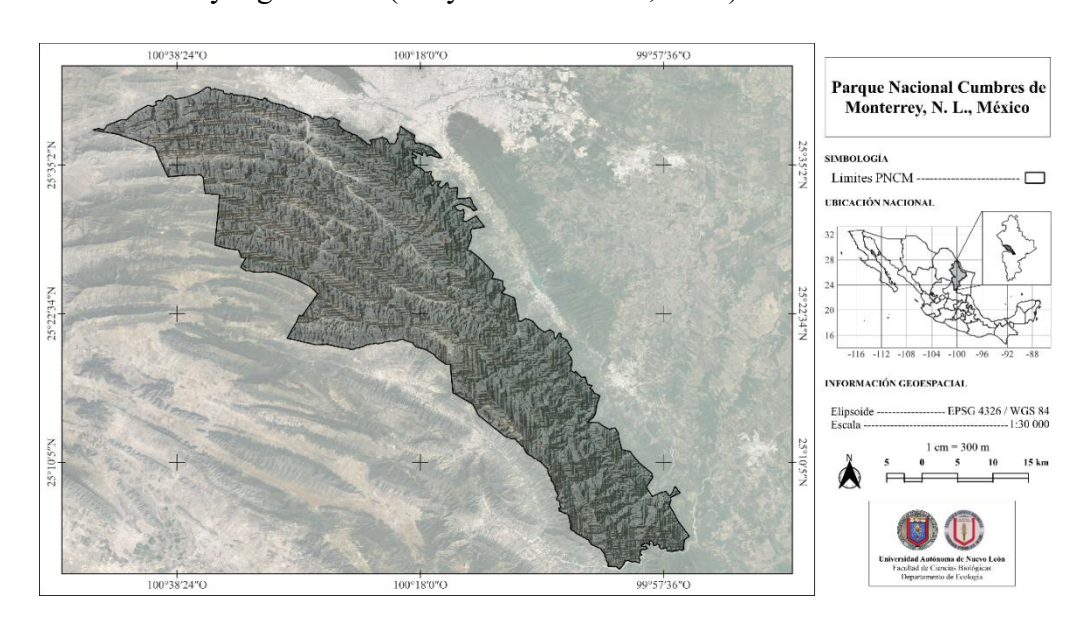


Figura 10. Delimitación actual del territorio del Parque Nacional "Cumbres de Monterrey".

1.2. Aspectos físicos

1.2.1. Geomorfología

El territorio delimitado coincide en los pliegues del arqueamiento tectónico "Curvatura de Monterrey" al norte de la Sierra Madre Oriental, cadena montañosa la cual se extiende septentrionalmente desde la frontera política entre Coahuila – Texas hasta el estado de Puebla, meridionalmente. Por su paisaje altamente accidentado se le atribuyen

las variaciones en los registros de temperaturas, precipitaciones e incidencia solar que, de manera consecuente, permiten el establecimiento de especies múltiples y diversas en toda su extensión horizontal y vertical (Alanís-Flores y Velazco-Macías, 2013).

La elevación aproximada del Parque Nacional Cumbres de Monterrey va desde los 480 msnm en los puntos más bajos, hasta los 3 460 en las cumbres de la Sierra (Figura 11). En el centro-oeste de la región son frecuentes los residuos de los flancos de anticlinales, además de valles al centro de estos mismos debido al proceso de flexión edafológica que, a su vez, vuelve más susceptibles a las rocas ante la erosión (Uvalle-Sauceda *et al.*, 2013).

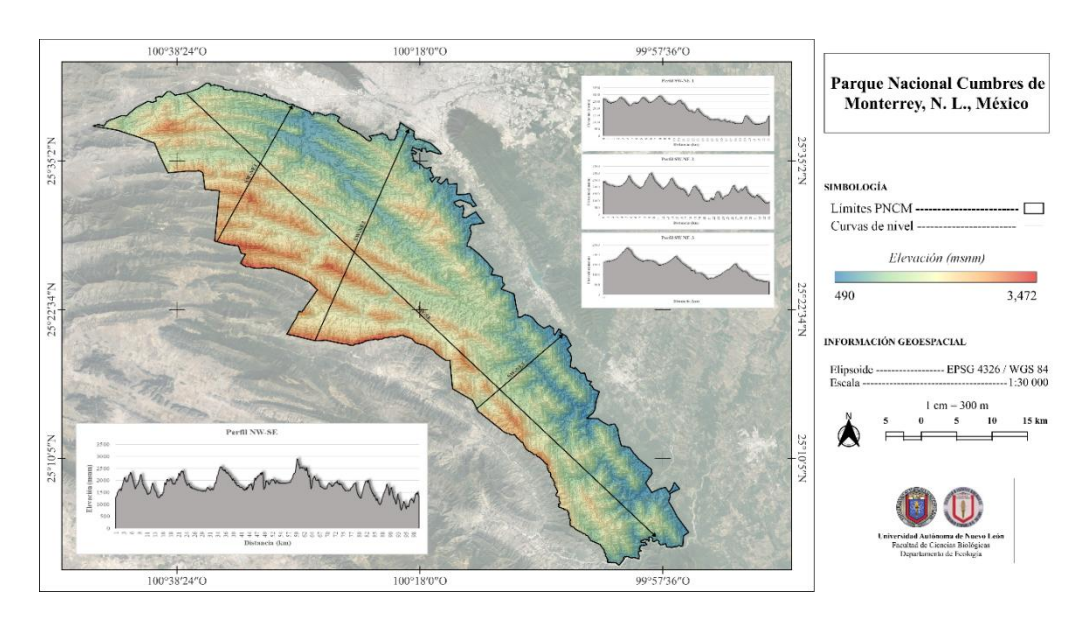


Figura 11. Elevación del Parque Nacional "Cumbres de Monterrey".

1.2.2. Climatología

La disposición de los climas obedece un patrón conveniente producto de la dinámica atmosférica de los vientos provenientes de la costa este de la República Mexicana los cuales, al arribar al territorio del Parque Nacional, se encuentran a barlovento con los mosaicos montañosos del este que desvían o elevan los vientos frescos incidentes, por lo cual se establecen climas húmedos como (A)C(w1), (A)C(w2) y (A)C(wo) en esas mismas áreas, mientras que en las regiones a sotavento del norte y oeste se puede encontrar una climatología más árida o continental de climas BS1h(x'), BS1hw, BS1k(x'), BSohw, BWhw y C(w1), respectivamente (CONABIO, 1998) (Figura 12).

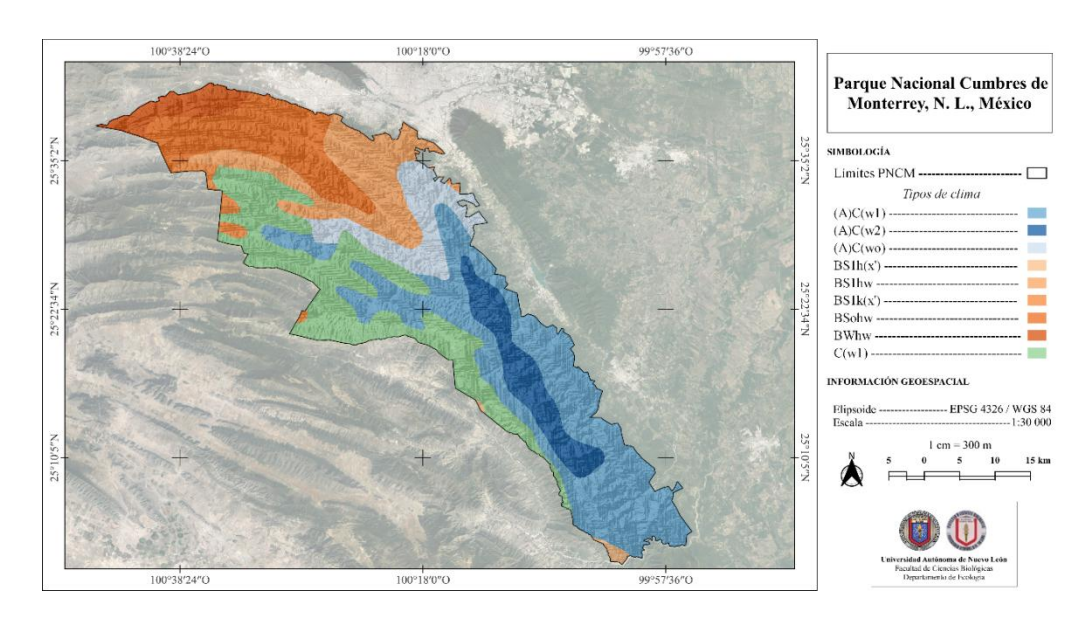


Figura 12. Climatología del Parque Nacional "Cumbres de Monterrey".

1.2.3. Hidrología

Al interior del Parque Nacional se localizan los cauces de cuatro ríos principales (CONANP, 2020), siendo estos: Pesquería, al noroeste en la subcuenca "Pesquería"; Santa Catarina, desde el norte-centro hasta el interior por la subcuenca "Monterrey"; San Juan, en la subcuenca "San Juan"; y El Blanquillo, al sur en la subcuenca "Ramos" (Figura 13).

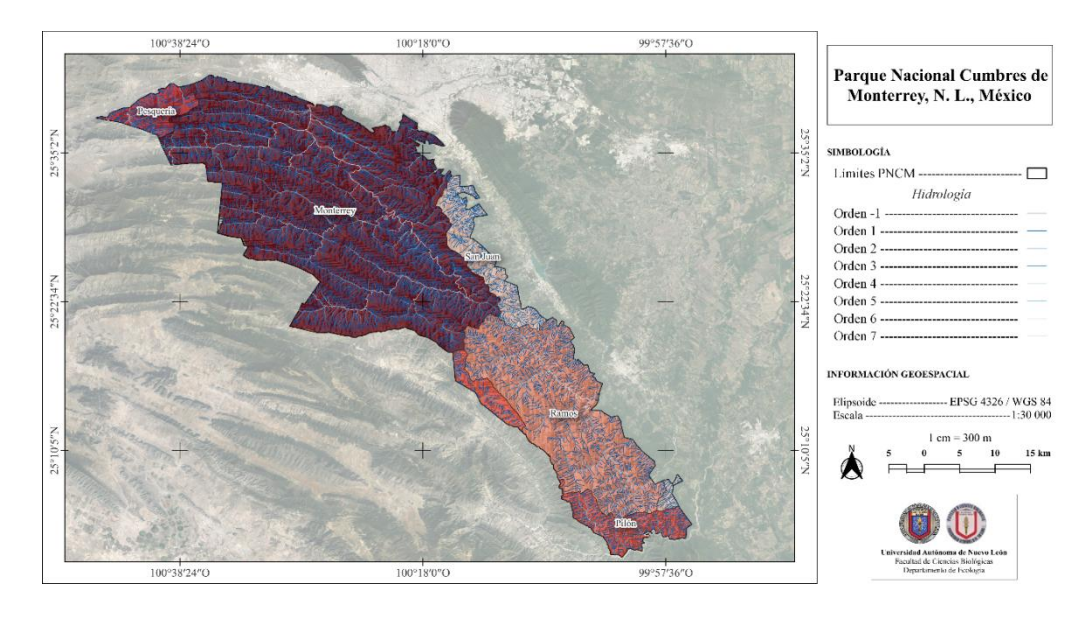


Figura 13. Sistemas hídricos del Parque Nacional "Cumbres de Monterrey".

Además, circundantes a los ríos mencionados, existen múltiples corrientes de agua perennes y, en mayor ocurrencia, intermitentes dentro del territorio, por lo cual el patrón

de escorrentías es descrito como de tipo "enrejado", lo cual habilita el flujo por la superficie y la recarga de aguas subterráneas.

1.3. Aspectos biológicos

1.3.1. Uso de suelo y vegetación

Considerando el inventario de Uso de Suelo y Vegetación Serie VII (INEGI, 2021), al interior del Parque Nacional "Cumbres de Monterrey" coexisten 17 tipos de vegetación (Tabla 1) aunado a una minúscula extensión de asentamientos humanos (< 0.01% de la superficie total).

 Tabla 1

 Proporción de cobertura por uso de suelo y vegetación del Parque Nacional "Cumbres de Monterrey".

Uso de Suelo y Vegetación	Área (km²)	%
Matorral submontano	491.75	27.72
Bosque de pino-encino	245.40	13.83
Bosque de encino	221.14	12.46
Vegetación secundaria arbustiva de bosque de pino	186.72	10.52
Matorral desértico rosetófilo	171.68	9.67
Bosque de encino-pino	136.60	7.7
Bosque de pino	109.55	6.17
Vegetación secundaria arbustiva de bosque de pino-encino	61.71	3.48
Vegetación secundaria arbustiva de bosque de encino-pino	53.53	3.02
Agricultura	23.58	1.33
Vegetación secundaria arbustiva de bosque de ayarín	23.50	1.32
Bosque de ayarín	16.64	0.94
Pastizal inducido	14.06	0.79
Vegetación secundaria arbustiva de bosque de encino	8.40	0.47
Vegetación secundaria arbustiva de matorral submontano	7.84	0.44
Matorral desértico micrófilo	2.16	0.12
Vegetación secundaria arbustiva de matorral desértico micrófilo	0.20	0.01

Los sitios de agricultura, junto con los pastizales inducidos, y los matorrales submontanos, micrófilos y rosetófilos, se encuentran a través de la región en las zonas con menor elevación. Conforme se incrementa la altitud se puede registrar la transición a

bosques de pino, pino-encino, encino-pino y, en las cumbres del territorio, bosques de ayarín y de encino (Figura 14).

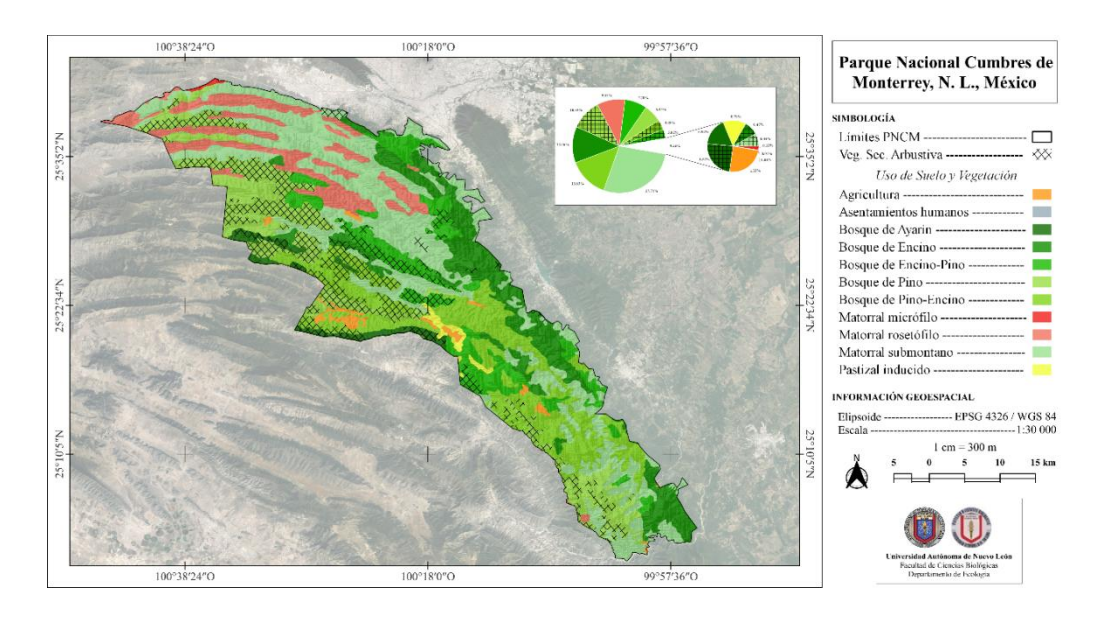


Figura 14. Uso de suelo y vegetación del Parque Nacional "Cumbres de Monterrey".

1.3.2. Diversidad biológica

Los inventarios florísticos elaborados para evaluar la variedad de organismos vegetales que co-existen dentro del Parque Natural registran 1 379 especies de plantas, subdivididas en 130 familias y 628 géneros (Anexo 1), de las cuales 14 se encuentran sujetas a protección especial (Pr), cuatro en peligro de extinción (P) y tres están amenazadas (A) bajo la NOM-059-SEMARNAT-2010. Las familias Asteraceae, Poaceae y Leguminosae son las que mayor riqueza de especies presentan, con 224, 129 y 122 taxa, respectivamente (Alanís-Flores y Velazco-Macías, 2013; Estrada-Castillón *et al.*, 2013; Favela-Lara, 2013; CONANP, 2020).

Sobre la micobiota, Marmolejo-Moncivais *et al.* (2013) circunscriben al parque 512 *taxa* de hongos, los cuales 374 corresponden a los basidiomicetos, 108 a los ascomicetos, 20 solamente uno a los zigomicetos, cuatro pertenecen al reino Chromista y 24 especies a los mixomicetos del reino Protozoa.

Las estimaciones para la fauna determinan una diversidad mínima aproximada de 553 organismos concernientes a diversos *phyla* (Anexo 2). Para el *phylum* Arthropoda se registran 171 especies contenidas en 134 géneros, 94 familias, 22 órdenes y cinco clases

(Quiroz-Martínez *et al.*, 2013; Rodríguez-Almaraz *et al.*, 2013; Solís-Rojas y Rojas-Malacara, 2013), mientras que para el *phylum* Chordata se reconocen 382 especies, 253 géneros, 97 familias, 34 órdenes y cinco clases (García-Salas *et al.*, 2013; González-Saldívar *et al.*, 2013; Lozano-Vilano *et al.*, 2013; Narváez-Torres y Lazcano-Villareal, 2013). Considerando la NOM-059-SEMARNAT-2010, 33 especies animales están bajo un estatus de amenaza (A), 28 sujetas a protección especial (Pr) y seis en peligro de extinción (P).

1.4. Aspectos sociodemográficos

1.4.1. Poblaciones

El territorio del Parque Nacional delimitado se traslapa, a su vez, con los territorios municipales de Allende, García, Montemorelos, Monterrey, Rayones, San Pedro Garza García, Santa Catarina y Santiago, del estado de Nuevo León, además de los municipios de Arteaga y Ramos Arizpe, del estado de Coahuila de Zaragoza (Figura 15).

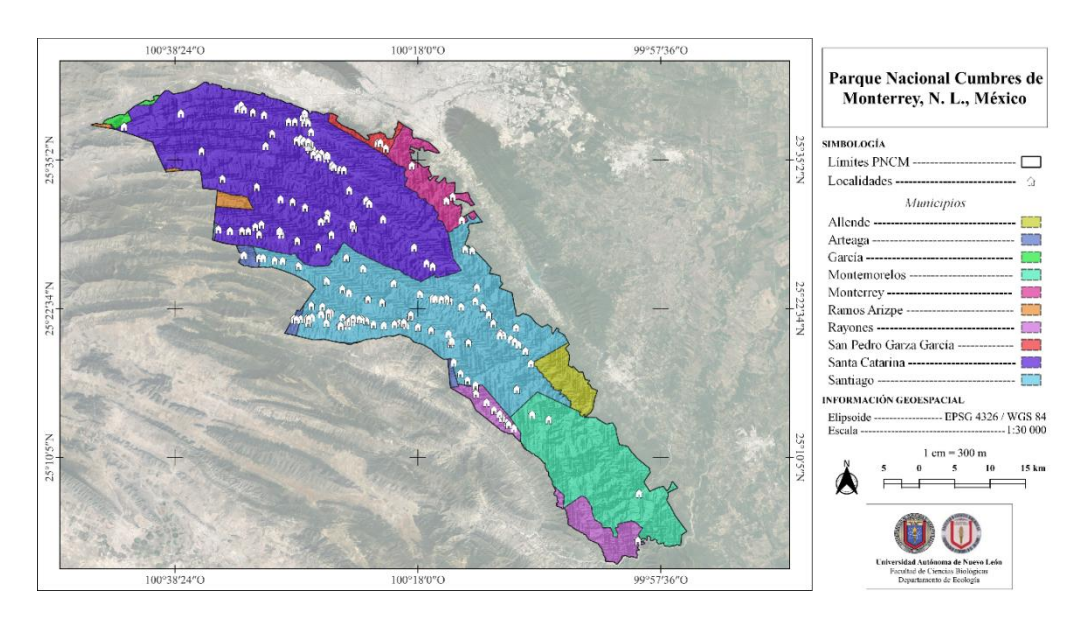


Figura 15. División política municipal en el Parque Nacional "Cumbres de Monterrey".

Tan solo un área reducida al noreste de la región, concerniente a la Zona Metropolitana de Monterrey, está etiquetada como de carácter urbano, mientras que la mayoría de la extensión se clasifican como zonas rurales, esto siguiendo la subzonificación geoestadística básica establecida por INEGI (2021). Repartidas en estas mismas áreas, y hasta el año 2021, son halladas 171 localidades y caseríos dispersos, 166

en el estado de Nuevo León y únicamente 5 en Coahuila de Zaragoza (INEGI, 2021) (Figura 16).

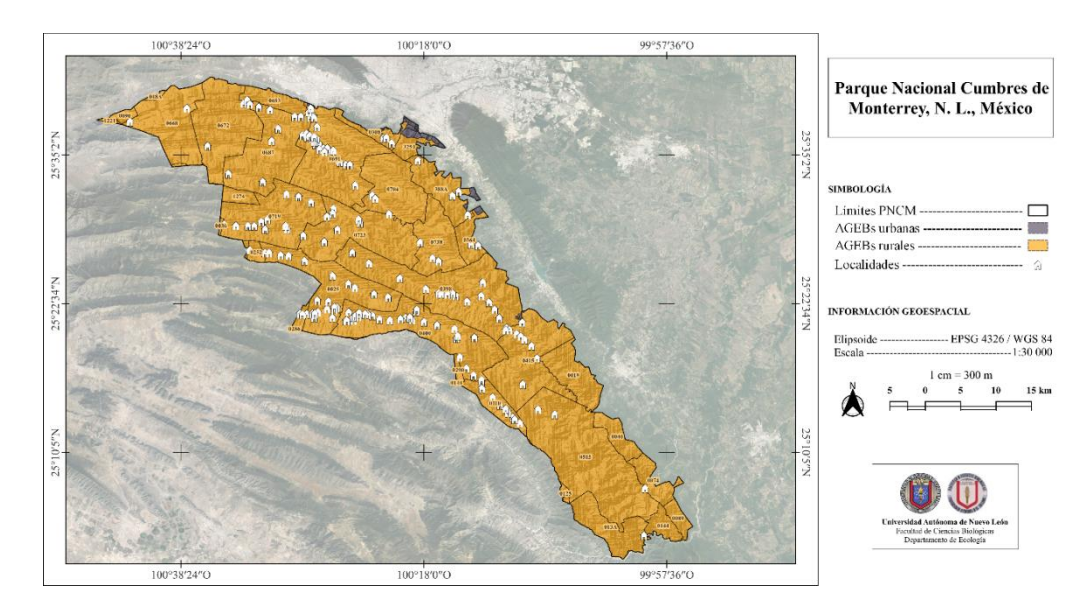


Figura 16. Áreas geoestadísticas básicas en el Parque Nacional "Cumbres de Monterrey".

2. Registros de incendios

A través de una consulta efectuada a las bases de datos de acceso libre disponibles en el Sistema de Predicción de Peligro de Incendios Forestales "SPPIF" (CONAFOR, 2013 – 2022), y en el Sistema de Información de Incendios para la Gestión de Recursos "FIRMS" (NASA, 2024) se recopilan los registros históricos georreferenciados de siniestros ocurridos dentro del Parque Nacional "Cumbres de Monterrey" en la temporada de incendios, que coinciden entre los meses de febrero a mayo, desde el año 2013 hasta 2022.

Lo anterior se establece de tal manera para la generación de reportes anuales a lo largo de una década con información suficiente que describen la dinámica temporal de la ocurrencia de incendios en el Parque Nacional para la temporada señalada. Ya que, al menos para la región considerada en el presente estudio, la cantidad de incendios ocurridos en otras temporadas es ínfima o prácticamente nula, por lo que la inclusión de estas es innecesaria y vana para el enfoque principal del trabajo.

Surgiendo de esto bases de datos individuales para cada año que incluyen los registros georreferenciados de incendios entre los meses de febrero a mayo en un formato

delimitado por comas (.csv). Además, debido a la naturaleza de los modelos de aprendizaje autónomo empleados, se añaden artificialmente una cantidad similar de puntos de pseudo-ausencias (*background points*) a los registros verdaderos de incendios de cada año para establecer modelos de clasificación probabilística, estos son producidos procurando una aleatoriedad espacial únicamente bajo la condición de evitar su origen en zonas fuera de la región delimitada o su traslape geográfico con los registros verdaderos. Estos puntos son indispensables para establecer el entrenamiento y práctica de los modelos base construidos.

3. Predictores

3.1. Climáticos

Para las mediciones de los factores de temperatura y humedad de la región se emplean ortoimagenes anuales del satélite Landsat 8 OLI/TIRS restringiendo la selección a fotografías producidas entre los meses de febrero a mayo, considerando aquellas con menor cobertura de nubes, pues la presencia de estos cuerpos enmascara los valores reales de las bandas del satélite.

Se contempla la aplicación del análisis de la Temperatura Superficial del Suelo (LST) a las ortoimagenes, sustituyendo mediciones de Temperaturas Promedio generalmente utilizadas en estudios similares como respuesta a la ausencia de estaciones meteorológicas funcionales suficientes en el territorio, siguiendo la ecuación primera:

$$LST = \frac{T_B}{1 + (\lambda \cdot \frac{T_B}{\rho \cdot \ln \epsilon})} \tag{1}$$

T_B = Temperatura de brillo o radiación

 λ = Longitud de onda de la radiancia emitida (11.5 μ m)

 ρ = h × c/ σ = 1.438 × 10⁻² mK (σ = Constante de Boltzmann, h = Constante de Planck, c = Velocidad de la luz)

 ε = Emisividad de la superficie terrestre

De igual manera, para la estimación de la humedad en el Parque Nacional se procura el análisis del índice de humedad de diferencia normalizada (NDMI), sustituyendo las mediciones de Precipitación Mensual Promedio siguiendo el mismo argumento señalado en el párrafo anterior, a través de la ecuación segunda:

$$NDMI = \frac{(NIR - SWIR)}{(NIR + SWIR)} \xrightarrow{En \ Lands \ at \ 8} \frac{(Banda \ 5 - Banda \ 6)}{(Banda \ 5 + Banda \ 6)}$$
(2)

3.2. Topográficos

Se inspecciona la variación en elevación de la topografía empleando los modelos de elevación digitales "N25W100" y "N25W101" extraídos por la Misión Topográfica Radar Shuttle (SRTN, en inglés) (NASA, 2000), por medio de los cuales se realiza el análisis de las inclinaciones de los desniveles y del aspecto, considerando la incidencia solar.

3.3. Hídricos

No se debe obviar el impacto de los cuerpos de agua y cauces hídricos superficiales, tanto primarios como de otra orden, ante la ocurrencia de incendios en las zonas, por lo cual, se examinan y georreferencian cada uno de estos sistemas presentes al interior del Parque Nacional para estimar la distancia euclidiana (proximidad) de cada punto de la región a estos mismos.

3.4. Ecosistémicos

Debido a la naturaleza de los incendios forestales se vuelve vital considerar el cambio en la cobertura vegetal y la distribución del uso del suelo, a razón de esto, empleando ortoimagenes del satélite Landsat 8 OLI/TIRS se obtienen índices de vegetación de diferencia normalizada (NDVI) anuales pertinentes a los mismos rangos temporales determinados en este estudio estableciendo la ecuación tercera:

$$NDVI = \frac{(Rojo - NIR)}{(Rojo + NIR)} \xrightarrow{En \ Landsat \ 8} \frac{(Banda \ 5 - Banda \ 4)}{(Banda \ 5 + Banda \ 4)}$$
(3)

Así mismo, se emplea la clasificación de Uso de Suelo y Vegetación Serie VII (INEGI, 2021) para la categorización de los ecosistemas principales al interior del territorio del Parque Nacional y observar la incidencia de siniestros en cada uno de ellos, incluyendo las zonas urbanas. No se anexaron las series anteriores a esta ya que no se reportan cambios significantes en el uso del suelo o vegetación de la región, por lo cual esta última es idónea para la representación de los ecosistemas presentes a lo largo de la década de estudio.

3.5. Demográficos

El impacto antropogénico se ha visto altamente relacionado con la variación en la ocurrencia de incendios forestales, ya sea por la presión resultante de las expansiones horizontales urbanas debido al crecimiento exponencial de las poblaciones urbanas, por el estrés vegetal subsecuente de actividades turísticas o de explotación, o a causa de la fragilidad elevada de los ecosistemas por la contaminación. A razón de lo previo, se examinará la proximidad de cada punto del territorio a las localidades referidas en el Censo de Población y Vivienda del año 2020 (INEGI, 2020) y a las rutas turísticas registradas en la plataforma AllTrails hasta el año 2024.

4. Construcción de las bases de datos

Los datos de ocurrencia reales y de pseudo-ausencias de incendios son recopilados en formato vectorial (.gpkg) para su representación espacial en un Sistema de Información Geográfica (SIG), mientras que los predictores sobre los componentes de la región se mantendrán en un formato ráster (.tif). A partir de esto, empleando la plataforma RStudio, se construye un código que permita la extracción de los valores climáticos, topográficos, hídricos, ecosistémicos y demográficos coincidentes con los registros verdaderos y de pseudo-ausencias de siniestros.

5. Modelos base

Para el establecimiento del metamodelo se definen los siguientes modelos base entrenados paralelamente con la información de registros verdaderos y pseudo-ausencias de incendios en la región, además de considerar los valores específicos de los predictores de cada una de las observaciones:

5.1. Regresión Logística Estándar

Ampliamente utilizada en situaciones donde la variable respuesta es de carácter binario, puede extenderse a escenarios multicategóricos. Su entrenamiento se basa en el ajuste de los coeficientes β para minimizar la diferencia entre probabilidades estimadas y los valores reales observados. La probabilidad resultante obedece la ecuación cuarta:

$$P(Y=1|X) = \frac{1}{1 + e^{(-\beta_0 + \beta_1 x_{i1} \dots \beta_n x_{in})}}$$
(4)

 β_n = Coeficiente del parámetro n

 $\mathbf{x}_{\mathbf{n}}$ = Valor expresado del predictor n

Los supuestos que establece el modelo expresan la ausencia de multicolinealidad entre variables independientes además de una relación logarítmica entre variables independientes y la probabilidad del evento.

Sobre la construcción de los submodelos del algoritmo, se establecen tres niveles de permutación para evaluar la función *logistic_reg* de la librería *glmnet*, específicamente en los argumentos *penalty* y *mixture* (Anexo 3).

5.2. Árbol de decisión

Algoritmos predictivos de aprendizaje supervisado cuya toma de decisiones es secuencial -es decir, que sigue un orden y jerarquía- además de considerar las características de los datos de entrada para la clasificación o predicción. Generalmente

utilizado para la resolución de problemas de clasificación (donde la respuesta se da en forma de categoría) y para problemas de regresión (siendo la respuesta un valor continuo).

Un árbol de decisión se compone de: nodos de decisión, representan condiciones sobre una característica específica del conjunto de datos subdividiéndolo en subconjuntos; ramas, cuyo origen es en los nodos y expresan los posibles resultados de las condiciones establecidas en los nodos de decisión; raíz del árbol, fungiendo como el nodo inicial que establece la primera condición, y de esta se desarrollan los siguientes nodos de decisión; y nodos hojas, que contienen las predicciones finales a manera de categorías o valores numéricos dependiendo si es un problema de clasificación o regresión, respectivamente.

Para el establecimiento del árbol, en el caso de problemas de clasificación específicamente, se emplean métricas basadas en la entropía, como lo muestra la ecuación quinta:

$$H(X) = \sum_{i=1}^{n} p_i \log_2(p_i)$$
(5)

 $\mathbf{H}(\mathbf{X})$ = Función de la entropía del conjunto X

 $\mathbf{p_i} = \text{Proporción de ejemplos de la clase } i \text{ en el conjunto } \mathbf{X} \ (0 \le \mathbf{p_i} \le 1)$

Mientras, para la construcción de los submodelos, se establecen tres niveles de permutación para evaluar la función *decisión_tree* de la librería *rpart*, en sus argumentos *cost_complexity*, *tree_depth* y *min_n*, adicionando únicamente la condición de que los valores fijados para *tree depth* sean mayores a 1 (Anexo 4).

5.3. Máquinas de Vectores Soporte (SVM)

Tipo de algoritmo de aprendizaje supervisado que, al igual que los árboles de decisión, puede acoplarse a problemas tanto de clasificación como de regresión. El objetivo característico de este esquema es definir un *hiperplano* en un espacio n-dimensional (siendo una línea en un espacio bidimensional o un plano en un espacio

tridimensional) que maximice el margen entre dos categorías distintas, esto es, la distancia entre el hiperplano y las muestras de datos -los registros de incendios, en este caso- más cercanas de cada clase, definidas como los vectores de soporte.

Lo anterior se formula matemáticamente tal como lo muestra la ecuación sexta:

$$maximizar \frac{2}{\|w\|} sujeto \ a \ y_i(w^T x_i + b) \ge 1$$
 (6)

 $\mathbf{w} = \text{Vector de pesos}$

T = Transposición del vector o matriz

 $\mathbf{x_i}$ = Vector de características de la observación i

 y_i = Etiqueta o categoría de la observación i ($y_i \in \{-1,1\}$)

b = Término de sesgo

Es entonces que, para el establecimiento de la clasificación o predicción final, este algoritmo se basa en el cálculo de la distancia de la observación al hiperplano, específicamente en su signo (positivo o negativo).

Refiriendo a la disposición de los submodelos, se establecen tres niveles de permutación para la evaluación de la función *svm_rbf* de la librería *kernlab*, en sus argumentos *cost* y *rbf sigma* (Anexo 5).

5.4. k-Vecinos Cercanos (KNN)

Modelos con retroalimentación supervisada empleados arbitrariamente para predicciones basadas en clasificación o regresión. Plantea el objetivo de clasificar o predecir un dato u observación según los datos de entrenamiento más cercanos (vecinos cercanos) a este dentro de un espacio n-dimensional de caracteres o predictores.

En este algoritmo es posible establecer un parámetro $k \in \{\mathbb{Z} > 1\}$ que definirá la cantidad de vecinos cercanos considerados para la toma de decisión final. Además, se apoya en métricas de distancia para el cálculo de la cercanía entre los puntos, un ejemplo de estas es la Distancia Euclidiana, expresada en la ecuación séptima:

$$d(x_i, x_j) = \sqrt{\sum_{k=1}^{n} (x_{ik} - x_{jk})^2}$$
 (7)

 $\mathbf{x}_{i}, \mathbf{x}_{j}$ = Vector de características de la observación $i \ y \ j$

n = Cantidad de características o predictores

Se determinan los submodelos estableciendo igualmente tres niveles de permutación para evaluar la función *nearest_neighbor* de la librería *kknn*, específicamente en sus argumentos *neighbors*, *weight func*, y *dist power* (Anexo 6).

5.5. Regresión Multinomial

Presente como una extensión directa de la regresión lineal, la regresión multinomial accede al modelado de relaciones no lineales entre variables respuesta e independientes al introducir términos polinómicos, la cual ajusta una curva al conjunto de datos específico.

Un polinomio es, en sí mismo, una expresión matemática que agrupa la suma de términos en los que una variable independiente x se eleva a diferentes potencias, también denominadas grados. De forma general, un polinomio de grado n es expresado como la ecuación octava:

$$y = \beta_0 + \beta_1 x_{i1} + \beta_1 x_{i1}^2 + \beta_1 x_{i1}^3 \dots \beta_n x_{in}^n$$
 (8)

 β_n = Coeficiente del parámetro n

 $\mathbf{x}_{\mathbf{n}}$ = Valor expresado del predictor n

A pesar de lo anterior, el modelo resultante seguirá manteniendo una linealidad en términos de los parámetros β , por lo cual, el algoritmo puede emplear las mismas técnicas que una regresión lineal ordinaria para ajustar el modelo de predicción.

Para la construcción de los submodelos se establecen tres niveles de permutación para la evaluación de la función *multinom_reg* de la librería *glmnet*, en sus parámetros *penalty* y *mixture*, de forma similar al arquetipo de regresión logística dispuesto anteriormente (Anexo 7).

5.6. Bosques Aleatorios (RF)

Los modelos de Bosque Aleatorio, pertenecientes al subconjunto de algoritmos de aprendizaje supervisado, son dedicados para problemas de clasificación o regresión unilateralmente. Su constitución son múltiples árboles de decisión -de ahí el nombre de bosques- para que son entrenados para generar predicciones singulares que posteriormente se consideran en consenso para emitir una predicción final general.

El empleo de varios árboles de decisión generalmente resulta en una mejora de la precisión y una reducción ante el riesgo de sobreajuste a los datos de entrenamiento.

De los máximos principios para procurar un buen modelo de Bosque Aleatorio es la introducción de aleatoriedad para reducir los sesgos, ordinariamente recurriendo a dos fuentes principales: un algoritmo de Bootstrap Aggregating (Bagging) o bien, una selección aleatoria de las características.

De forma similar a los árboles de decisión, los arquetipos de Bosques Aleatorios se construyen considerando criterios de división y entropía (Véase ecuación quinta).

Los submodelos son determinados bajo tres niveles de permutación para evaluar la función *rand_forest* de la librería *ranger*, en sus argumentos *min_n* y *trees*, determinando la condición de considerar solo los valores de *trees* mayores a 1 (Anexo 8)

5.7. Refuerzo de Gradientes *Extremo* (XGBoost)

Perteneciente a la familia de los métodos de boosting, y simultáneamente al conjunto de modelos de aprendizaje supervisado, el Refuerzo de Gradientes Extremo se describe como una aplicación avanzada de impulso por gradiente (*Gradient boosting*), técnica que combina múltiples modelos débiles para formar uno más robusto de manera secuencial específicamente optimizado para ser flexible, eficiente y preciso.

Principalmente empleado para problemas de clasificación y regresión, pero puede ser extendido hacia tareas específicas como ranking o incluso detección de anomalías.

Conforme a su construcción, un XGBoost se entrena secuencialmente con árboles de decisión. En cada una de sus iteraciones se ajusta para predecir los errores del modelo en la iteración anterior, siguiendo en forma la ecuación novena:

$$F_{m+1}(x) = F_m(x) + \gamma \cdot h(x) \tag{9}$$

 $\mathbf{F}_{\mathbf{m}}(\mathbf{x}) = \text{Modelo en la iteración } m$

 $\mathbf{h}(\mathbf{x}) = \text{Árbol ajustado en la iteración actual que intenta corregir los residuos de F_m(x)$

 γ = Parámetro de ajuste ($0 \le \gamma \le 5$)

Particularmente en el caso de una clasificación, uno de los objetivos principales de este algoritmo es optimizar una función de pérdida (*loss function*) de pérdida logarítmica (*log loss*) utilizando un descenso de gradiente, término empleado con regularidad al hablar de modelos de aprendizaje autónomo como redes neuronales. Para cada iteración el modelo busca ajustar un árbol nuevo para aproximarse a la gradiente de la misma función de pérdida definida considerando las predicciones actuales, esto se expresa en la ecuación décima:

$$L(y,\hat{y}) = \sum_{i=1}^{n} \ell(y_i, \hat{y}_i) + \sum_{k} \Omega(f_k)$$

$$\tag{10}$$

 $\mathbf{L}(\mathbf{y}, \hat{\mathbf{y}}) = \text{Función objetivo total}$

 $\ell(\mathbf{y_i}, \mathbf{\hat{y}_i})$ = Función de pérdida para la observación i

 $\Omega(\mathbf{f}_k)$ = Término de regularización del árbol f_k (Ver ecuación undécima)

Este último argumento de término de regularización es implementado con la finalidad de evitar el sobreajuste ante los datos de entrenamiento, procediendo como lo muestra la ecuación undécima:

$$\Omega(f_k) = \gamma T + \frac{1}{2}\lambda \sum_{j=1}^{T} w_j^2$$
(11)

 γ = Penalización para el número de hojas de un árbol T ($\gamma \ge 0$).

 w_j = Pesos de las hojas

 λ = Coeficiente de regularización, penaliza las magnitudes de w_i ($\lambda \ge 0$).

Finalmente, en lo referido al presente estudio, se establecen igualmente tres niveles de permutación para evaluar la función *boost_tree* de la librería *xgboost*, esencialmente sus argumentos *learn_rate*, *trees* y *tree_depth*, determinando la condición de considerar solamente valores de *trees* mayores a 1 (Anexo 9).

6. Entrenamiento, práctica y evaluación de submodelos

Las bases de datos anuales construidas tras la extracción de la información de los predictores para cada registro correspondiente son subdivididas en un 70% reservado para el entrenamiento de los modelos base y el 30% restante para la práctica.

Simultáneamente, al subconjunto de entrenamiento se le establece un algoritmo de validación cruzada k-fold (con k = 10) para la selección de los mejores submodelos, considerando los valores resultantes de los estadísticos expuestos en la Tabla 2.

 Tabla 2

 Estadísticos empleados para la valoración y selección de los mejores submodelos para cada modelo base.

Estadísticos	Formula
Exactitud	$\frac{VP + VN}{VP + VN + FP + FN}$
Precisión	$\frac{VP}{VP+FP}$
Sensibilidad	$\frac{VP}{VP+FN}$
F1-score	2·Precisión·Sensibilidad Precisión+Sensibilidad
Kappa	$\frac{2 \cdot (VP \cdot VN - FP \cdot FN)}{(VP + FP) \cdot (FP + VN) + (VP + FN) \cdot (FN + VN)}$
Coeficiente de correlación de Matthews	$\frac{(VP \cdot VN - FP \cdot FN)}{\sqrt{(VP + FP) \cdot (FP + VN) \cdot (VP + FN) \cdot (FN + VN)}}$

VP = Verdaderos positivos; VN = Verdaderos negativos; FP = Falsos positivos; FN = Falsos negativos.

Para facilitar el procesamiento de los datos y disminuir la complejidad computacional de los modelos al momento de introducir información nueva para el entrenamiento y la práctica se establece un algoritmo que, en esta disposición, clasifica información nominal que los modelos no hayan visto en los predictores anteriormente en un nuevo subnivel, imputa medianas en celdas de información numéricas vacías, imputa modas en celdas vacías de predictores nominales, elimina predictores con varianza ínfima o inexistente -ya que esto vuelve redundante la información-, detecta correlaciones y colinealidades entre predictores y reclasifica información nominal o factorial siguiendo un algoritmo One-Hot Encoding.

7. Importancia de predictores

7.1. Ganancia

Se evaluarán las aportaciones individuales de cada predictor en cada modelo para lograr la clasificación de zonas susceptibles a incendios a través de una métrica de permutación de importancias por características. Esta técnica se basa en la estimación de la importancia (ganancia) de cada variable de un modelo entrenado al calcular el cambio en el desempeño del modelo cuando los valores de los predictores se asignan aleatoriamente.

Lo anterior se logra primeramente valorando el rendimiento del modelo entrenado ante un set de validación o de práctica y conservando las métricas de desempeño de esta evaluación como la base a comparar cuando, posteriormente, los valores de un predictor seleccionado aleatoriamente sean mezclados y sea reevaluado considerando el cambio en el desempeño. Finalmente, se obtienen los promedios de estos cambios en el rendimiento sobre varias iteraciones para obtener una estimación de la importancia de los predictores.

7.2. Curvas de respuesta

La metodología previa solo posibilita una cuantificación de las aportaciones de los predictores ante los modelos entrenados, más no proporciona la información adecuada para analizar el impacto de cada valor específico ante el resultado final obtenido, p. ej., determinar si la varianza en temperaturas impacta en la incidencia de incendios y, si lo anterior es comprobable, el rango específico en el que sucede. Por lo cual, se establece la función de Dependencia Parcial para la evaluación del efecto marginal que obtengan las variables en la clasificación final, siguiendo la ecuación doceava:

$$\hat{f}_{S}(x_{S}) = E_{X_{C}}[\hat{f}(x_{S}, X_{C})] = \int \hat{f}(x_{S}, X_{C}) dP(X_{C})$$
(12)

 $\hat{\mathbf{f}}_{\mathbf{s}}(\mathbf{x}_{\mathbf{s}})$ = Dependencia parcial para el conjunto de variables S (de interés)

 $\mathbf{E}_{\mathbf{X}_{\mathbf{C}}}$ = Esperanza condicional

 X_C = Variables complementarias

dP = Distribución de probabilidad

8. Construcción y aplicación del metamodelo

De manera posterior a la selección, entrenamiento y práctica de los mejores submodelos para cada modelo base, los resultados de las predicciones resultantes se generalizan a través de un metamodelo de regresión logística, siguiendo la ecuación treceava:

$$p_i = \frac{1}{1 + e^{(-z_i)}} \tag{13}$$

 $\mathbf{p_i}$ = Probabilidad estimada de que un evento pertenezca a una etiqueta o categoría, en este caso, a un área susceptible ante la ocurrencia de incendios $(0 \le p_i \le 1)$

z_i = Combinación lineal de los predictores (Ver ecuación catorceava)

$$z_i = \beta_0 + \beta_1 x_{i1} \dots \beta_n x_{in} \tag{14}$$

 β_n = Coeficiente del parámetro n

 $\mathbf{x}_{\mathbf{n}}$ = Valor expresado del predictor n

Inherentemente este algoritmo se ajusta maximizando la verosimilitud -esto es, seleccionando los coeficientes (β) que mejor ajuste obtengan ante los datos observados-, como lo muestra la ecuación quinceava:

$$\ln L(\beta) = \sum_{i=1}^{n} [y_i \ln(p_i) + (1 - y_i) \cdot \ln(1 - p_i)]$$
(15)

 $L(\beta)$ = Función de verosimilitud

 y_i = Variable dependiente, etiqueta o categoría de la observación i ($y_i \in \{0,1\}$)

Sin embargo, se plantea la adición de la técnica de Operador de Selección y Contracción Mínima Absoluta (*Lasso*, por sus siglas en inglés), acatando la suma de los valores absolutos de los coeficientes, como lo muestra la ecuación dieciseisava:

$$\lambda \sum_{j=1}^{p} |\beta_j| \tag{16}$$

 λ = Parámetro de regularización/penalización

Teniendo por lo tanto la ecuación decimoséptima:

$$\hat{\beta} = \underset{\beta}{\operatorname{argmin}} \{ -\left[\sum_{i=1}^{n} (y_i \ln(p_i) + (1 - y_i) \cdot \ln(1 - p_i)) \right] + \lambda \sum_{j=1}^{p} |\beta_j| \}$$
 (17)

 $\hat{\beta}$ = Vector de coeficientes estimados

argmin = Argumento del mínimo de los coeficientes

Este proceso, en el contexto de la regresión logística, regulariza y selecciona de mejor manera las variables para minimizar el impacto del sobreajuste del modelo y mejorar su interpretabilidad.

Finalmente, el algoritmo de regresión logística permite la clasificación de zonas susceptibles ante incendios forestales según la varianza geoespacial de los mismos predictores considerados para el entrenamiento y práctica de los modelos base a lo largo de los años de interés (Figura 17).

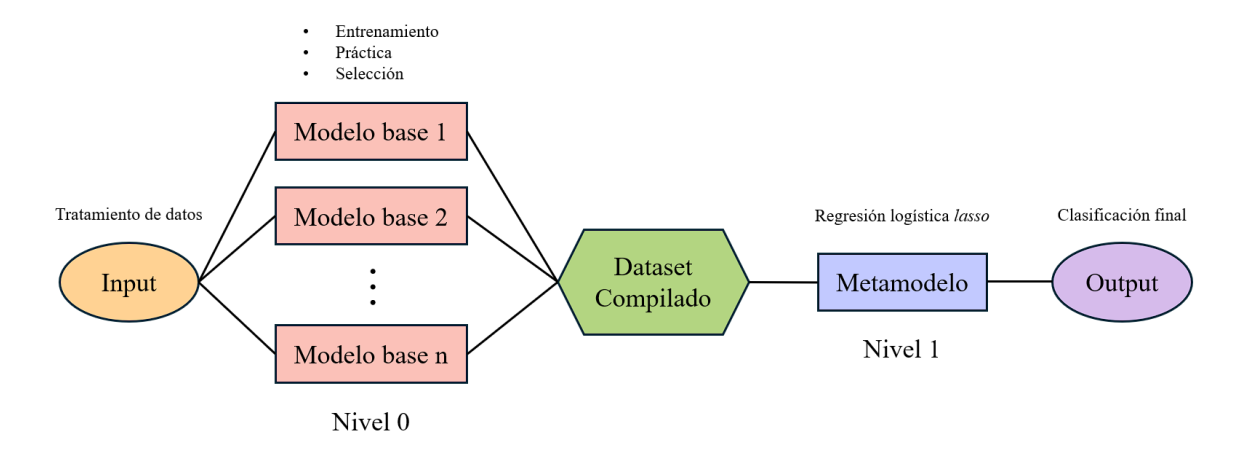


Figura 17. Proceso de construcción de los algoritmos base y el metamodelo para la clasificación.

9. Evaluación espacial y estrategias

Se adaptan estrategias específicas pre-, inter- y post- ocurrencia de incendio para cada una de las regiones vulnerables delimitadas al interior de la región del Parque Nacional considerando los aportes de propuestas de protocolos nacionales ya establecidos como: el Programa de Manejo del Fuego (SCMF, 2017), el Programa Nacional de

Protección contra Incendios Forestales (SEMARNAT, 2008), el Programa de Protección Civil para Incendios Forestales (SSC, 2014), y el Protocolo para la Atención de Incendios Forestales en el Suelo de Conservación de la Ciudad de México (SEDEMA, 2019); además de protocolos internacionales como: la Guía Técnica en Prevención y Control de Incendios Forestales (Bonilla, 2001), el proyecto de Fortalecimiento Institucional de la ANAM en el Manejo Integrado del Fuego en los Bosques Tropicales de Panamá (Ministerio de Ambiente, 2015), el Manual de Entrenamiento en: Prevención y Control de Incendios Forestales/Zonas Silvestres para el Manejo Sostenible de los Bosques (Tadesse y Seboko, 2013), y las Pautas para la Prevención y Supresión de Incendios Forestales para Actividades Industriales (Bailey, 2001).

RESULTADOS

1. Registros de incendios

Considerando el intervalo temporal seleccionado desde el año 2013 hasta 2022, se reconoce la suma final de 4 694 registros de incendios confirmados entre los meses de febrero a mayo de diversa intensidad al interior de la región del Parque Nacional "Cumbres de Monterrey" distribuidos de forma heterogénea en estos mismos años (Figura 18), esto según los aportes de las bases de datos presentes en las plataformas SPPIF (CONAFOR, 2013 – 2022) y MODIS/VIIRS de FIRMS (NASA, 2024) contemplando las actualizaciones correspondientes hasta la fecha de elaboración del presente estudio.

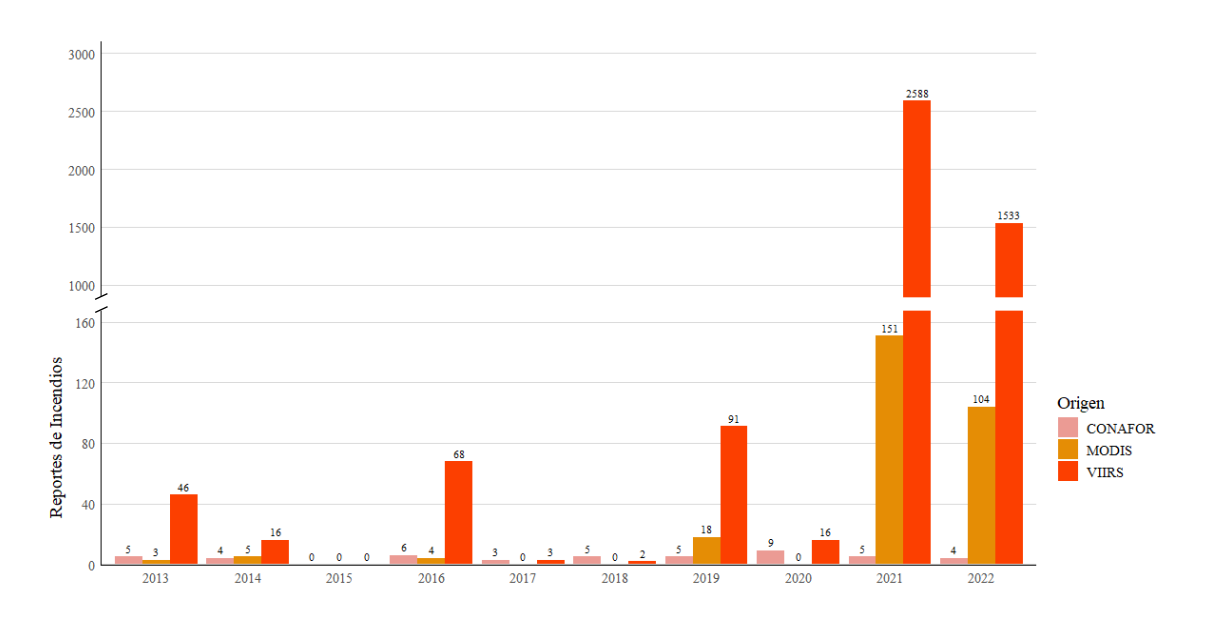


Figura 18. Reportes de incendios ocurridos al interior del PNCM entre 2013 – 2022.

Nótese la ausencia absoluta de ocurrencias de incendios para el año 2015, además del incremento exponencial de estos mismos para los años 2021 y 2022, superando incluso la suma de las cifras obtenidas para fechas anteriores a estas.

A razón de lo expuesto anteriormente, se omite la aplicación del análisis de vulnerabilidad ante incendios del territorio para los años 2015, 2017 y 2018 debido a la ausencia de suficientes datos para procurar el establecimiento de cualquier arquetipo de modelado (n < 10), además obviando la impracticabilidad teórica y filosófica de este mismo proceso, ya que *no es posible que el modelo categorice alguna región como*

vulnerable si no existió incendio alguno. Forzar este efecto solo resulta en mayor sesgo para los modelos y menor veracidad en su interpretación.

Mencionando la contribución de registros según las bases de datos consultadas, fue el catálogo VIIRS, perteneciente a FIRMS, aquella que aportó más información para el establecimiento de las bases de datos de siniestros reportadas al interior de la región en estos años, seguida por el catálogo MODIS de esta misma, y finalmente SPPIF de CONAFOR (Figura 19).

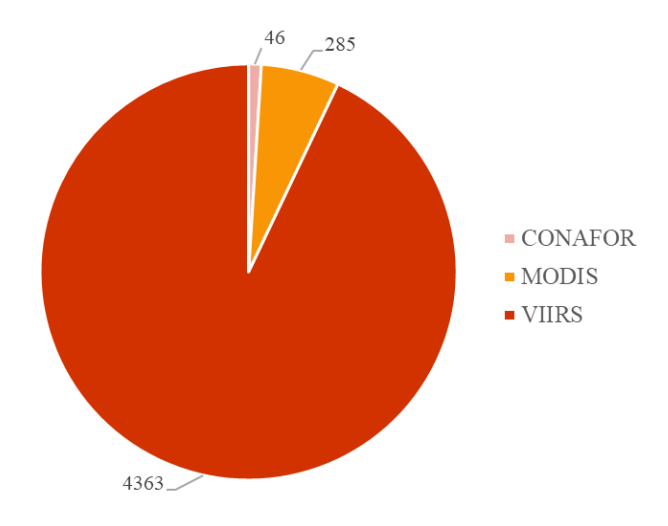


Figura 19. Aportación a los registros de incendios por catálogo de las BDs consultadas.

2. Variación geoespacial de los predictores

2.1. Climáticos

Contemplando la dinámica temporal de los valores de temperaturas superficiales al interior de la región es posible denotar periodos más cálidos que otros, alcanzando valores mayores a 45 °C, aun cuando las mediciones anuales se establecieron para los mismos meses que conforman la temporada de incendios en el Parque Nacional (Figura 20).

De la misma manera, incluso entre la misma temporada se obedece cierto patrón de distribución espacial en estos valores de temperaturas superficiales, siendo generalmente aquellas regiones al norte, a sotavento y con menor elevación las más cálidas del territorio.

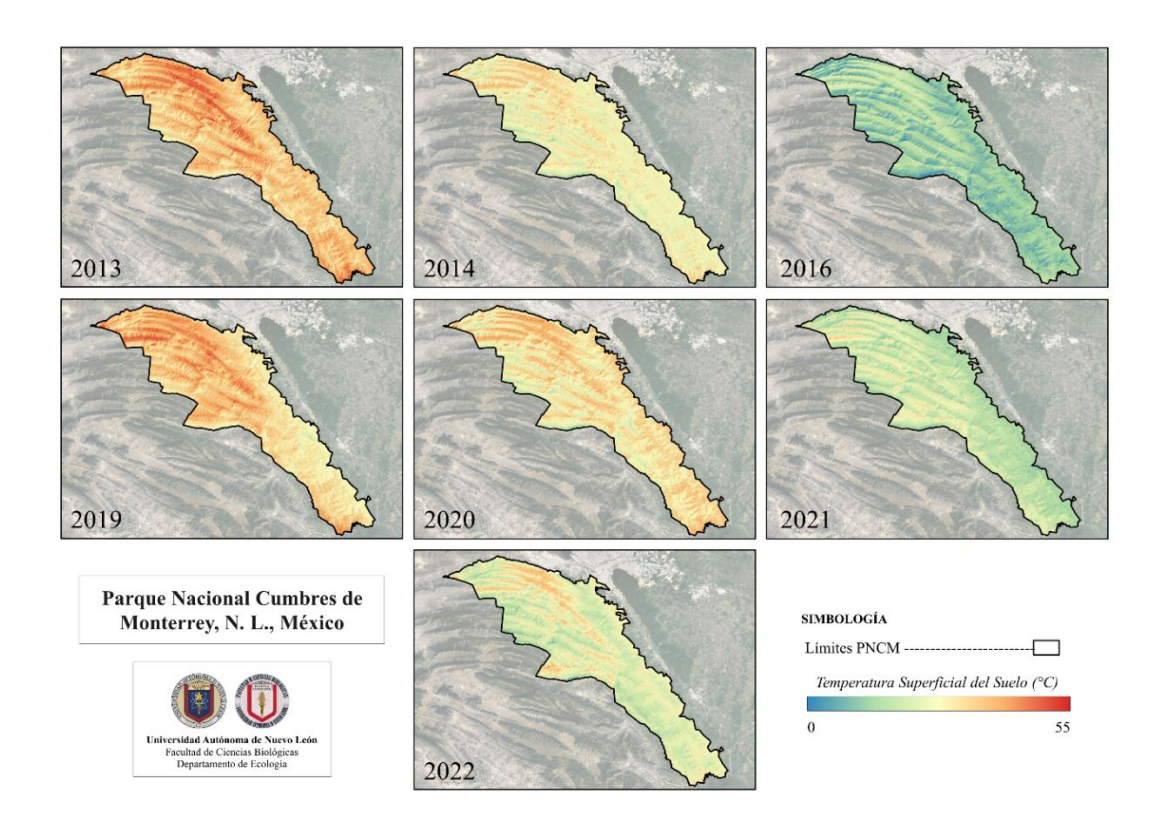


Figura 20. Dinámica de los valores de Temperatura Superficial del Suelo (LST) en el PNCM.

Respectivamente, en los años 2013 y 2019 se registran las mediciones de temperaturas superficiales promedio más altas a comparación de los otros años considerados en el estudio (Figura 21).

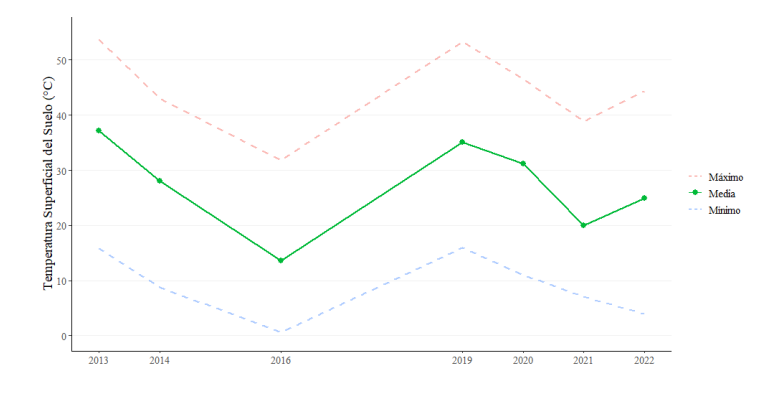


Figura 21. Variación temporal de la Temperatura Superficial del Suelo (LST) en el PNCM.

Contrario a los valores de temperatura que mostraron una varianza considerable en el periodo analizado, en las mediciones expresadas por el índice de humedad no se halla un dinamismo cuantioso al interior de la región, al menos en la temporada de incendios (Figura 22).

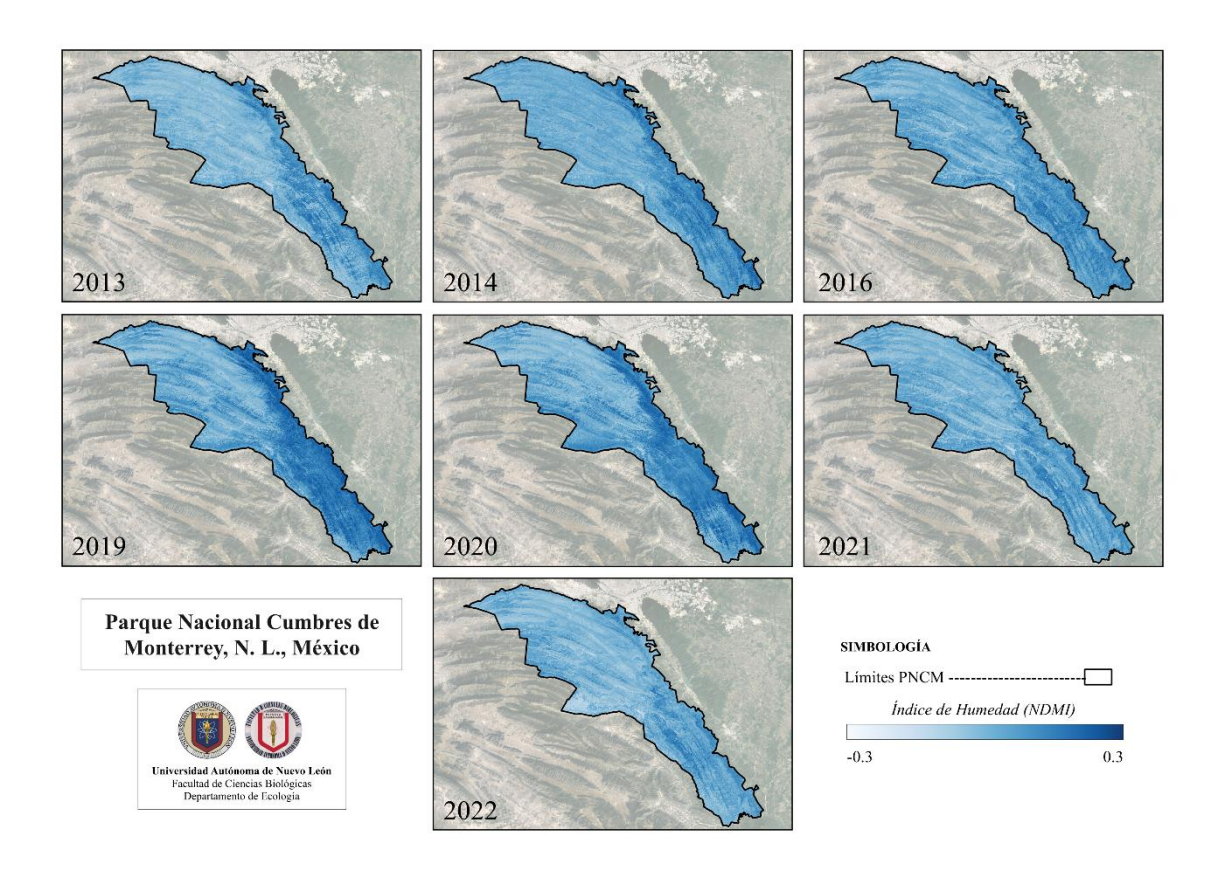


Figura 22. Dinámica de los valores del Índice de Humedad (NDMI) en el PNCM.

Resultan entonces valores promedio del índice estables entre -0.3 y 0.3, aproximadamente. Siendo la única excepción de esto, un momento del año 2021 donde el valor mínimo registrado desciende hasta -0.5 (Figura 23).

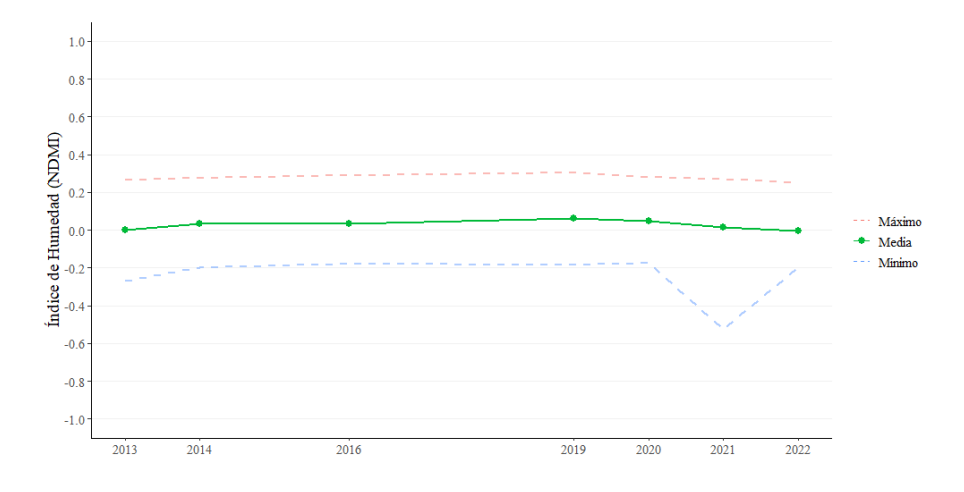


Figura 23. Variación temporal del Índice de Humedad (NDMI) en el PNCM.

2.2. Topográficos

En las regiones escarpadas -por inducción igualmente- se describen mayores inclinaciones de pendientes, principalmente en los sistemas de anticlinales del territorio, llegando hasta los 80° de ángulo (Figura 24).

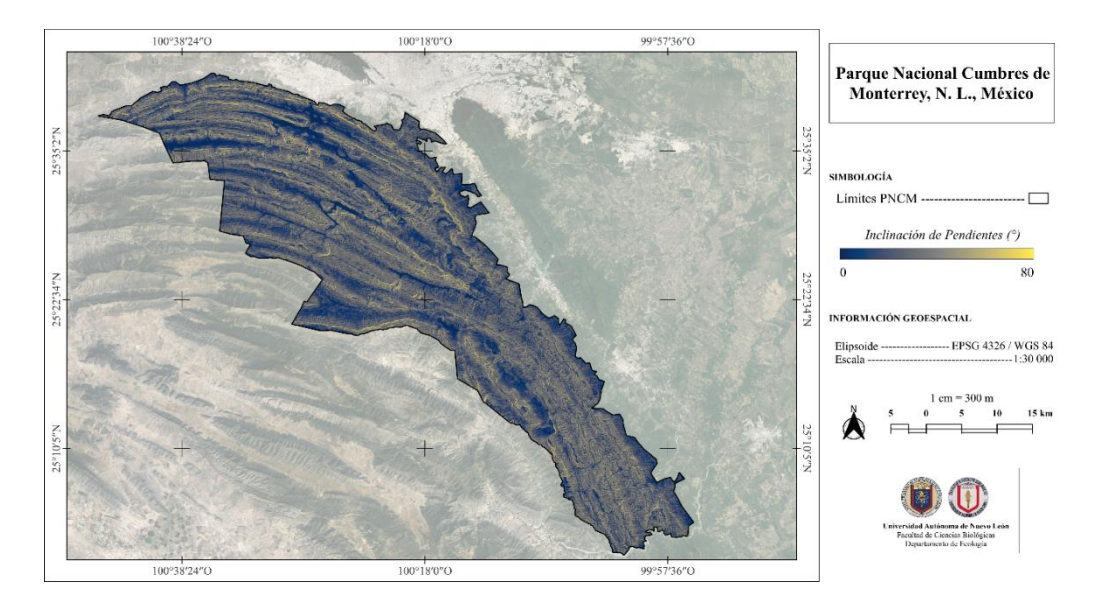


Figura 24. Inclinación de las pendientes en el PNCM.

Correspondiendo a la orientación de las pendientes, se establece el aspecto para cada región del territorio, variable determinante en el establecimiento de vegetación específica en áreas únicas (Figura 25).

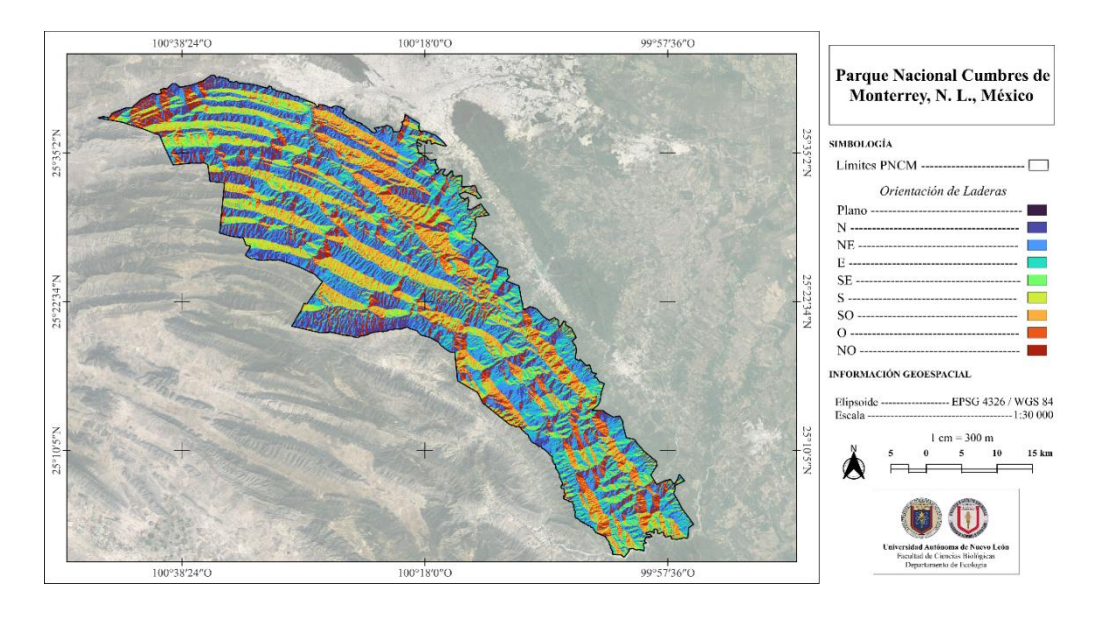


Figura 25. Orientación de laderas en el PNCM.

2.3. Hídricos

La región del Parque Nacional cuenta con los suficientes recursos topográficos y climáticos para disponer de considerables cuerpos hídricos, la mayoría intermitentes más que perennes. Por lo anterior, la distancia máxima registrada de un punto hacia cualquier escorrentía es de solo 1 658.89 m (Figura 26).

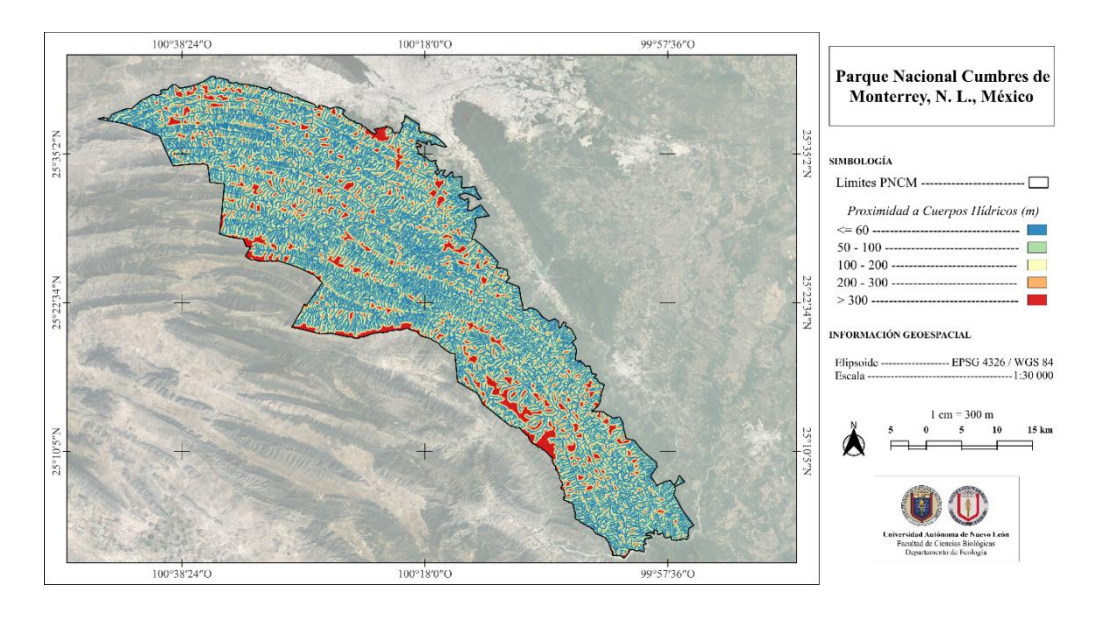


Figura 26. Proximidad a cuerpos hídricos en el PNCM.

2.4. Ecosistémicos

Reiterando la información presentada por las series V – VII del catálogo de Uso de Suelo y Vegetación de INEGI, se establecen cuatro principales tipos de vegetación al interior del territorio, siendo estos: bosque, matorral desértico, matorral submontano y pastizales. Se anexan además la categoría de asentamientos humanos, de agricultura, y de vegetación secundaria, este último refiriéndose a los ecosistemas en un estado sucesional, donde la vegetación original fue perturbada o maltratada (Figura 27).

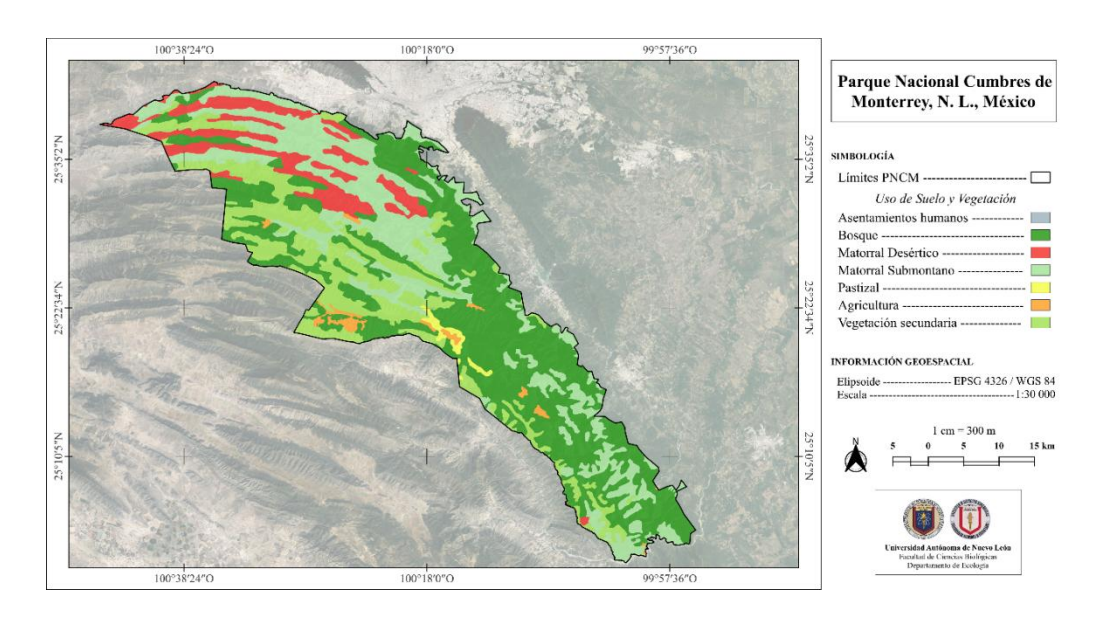


Figura 27. Principales usos y tipos de vegetación en el PNCM.

En cuanto a la reflectancia espectral de la vegetación, se visualiza un dinamismo aparentemente invariable, solamente resaltando un declive ínfimo de los valores en los años 2021 y 2022 (Figura 28).

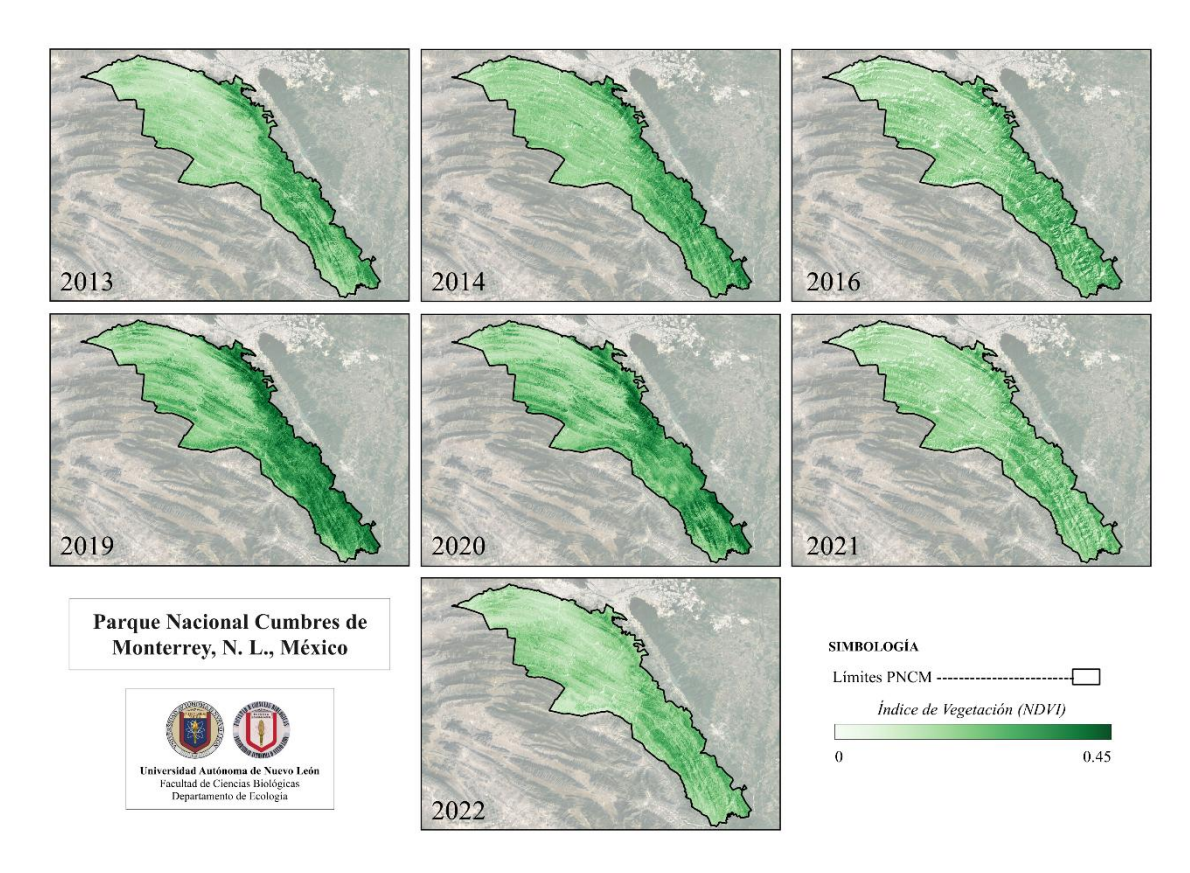


Figura 28. Dinámica de los valores del Índice de Vegetación (NDVI) en el PNCM.

Los valores del índice de vegetación resultan entonces estables en el periodo considerado, manteniéndose aproximadamente entre 0 y 0.5, con un promedio de 0.2 (Figura 29).

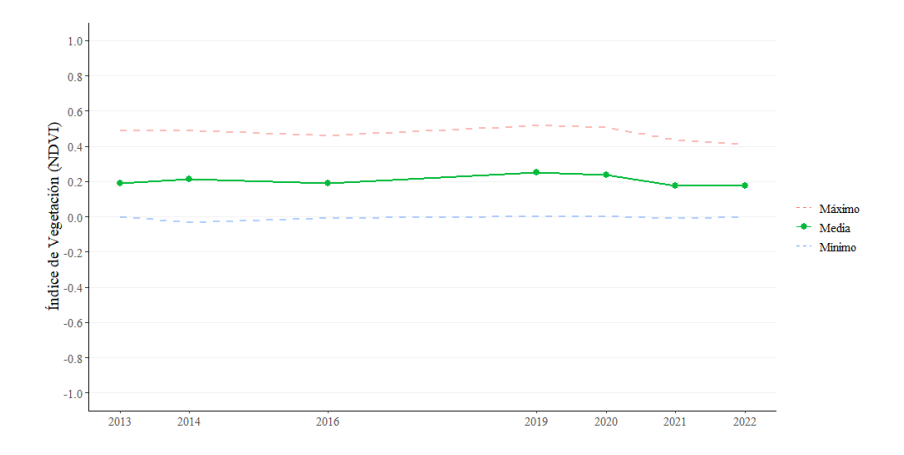


Figura 29. Variación temporal del Índice de Vegetación (NDVI) en el PNCM.

2.5. Demográficos

La dispersión de las localidades presentes en el Parque Nacional permite que la máxima distancia registrada de un área hacia cualquiera de estas sea de 11 861.88 m, estableciéndose densamente al centro-oeste de la región (Figura 30).

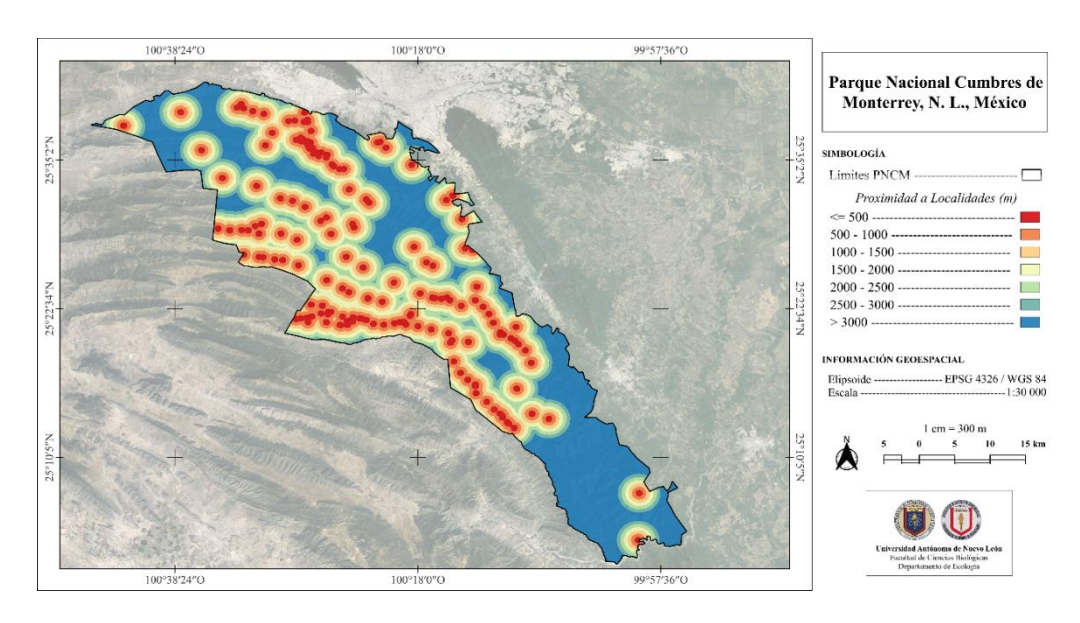


Figura 30. Proximidad a localidades en el PNCM.

En otro sentido, se reconocen hasta el momento 98 rutas de turismo lineales al interior del Parque Nacional (Anexo 10), sin embargo, muchas de estas convergen simultáneamente en sus recorridos una o varias veces con otras rutas (Figura 31). La distancia máxima registrada es de 10 568.38 m.

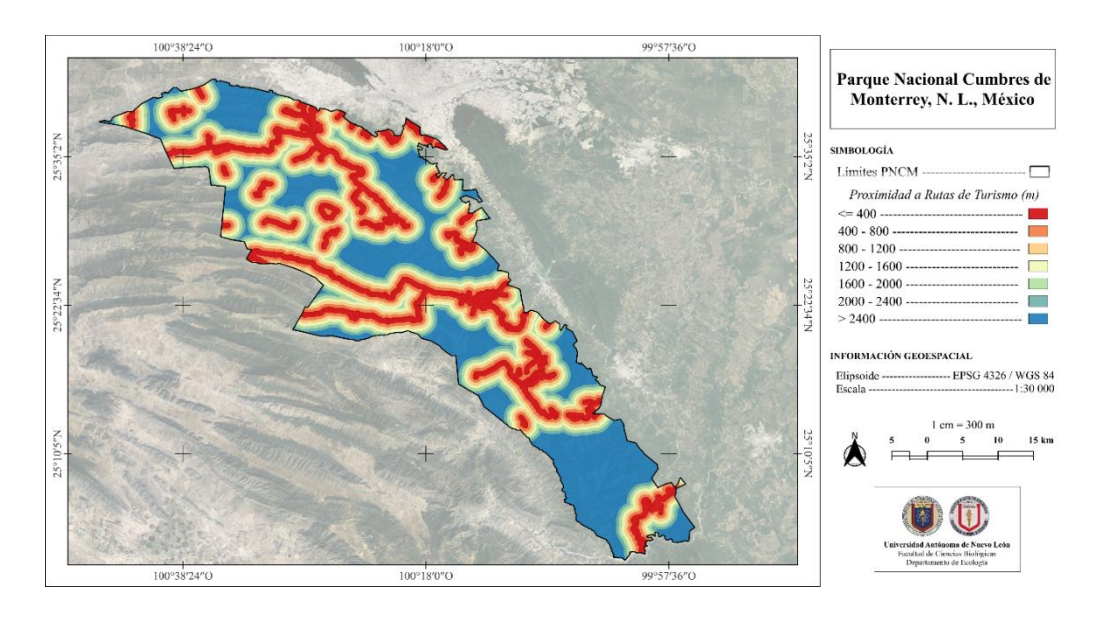


Figura 31. Proximidad rutas de turismo en el PNCM.

3. Bases de datos

De los 4 694 registros recopilados en los catálogos SPPIF y FIRMS resultan siete bases de datos correspondientes a los años considerados en el estudio (Tabla 3).

 Tabla 3

 Disposición de la información para cada base de datos construida en cada año.

Periodo	Ocurrencias	Pseudo-ausencias	Total
2013	54	54	108
2014	25	25	50
2016	78	78	156
2019	114	114	228
2020	25	25	50
2021	2 744	2 744	5 488
2022	1 641	1 641	3 282
		Total	9 362

4. Modelos base y submodelos

4.1. Evaluación estadística del 2013

Se destaca el desempeño de los algoritmos de Árbol de Decisión, Bosques Aleatorios y Refuerzo de Gradientes Extremo, exhibiendo los tres simultáneamente una exactitud del 84.85% (Tabla 4).

 Tabla 4

 Resultados de evaluación de los mejores candidatos seleccionados para cada modelo en el año 2013.

Submodelo	Exactitud	Precisión	Sensibilidad	F1-Score	Kappa	CCM
RL_01	0.7576	0.6667	0.6667	0.6667	0.4762	0.4762
AD_01	0.8485*	1.00*	0.5833	0.7368	0.6405	0.6864*
SVM_06	0.8182	0.7143	0.8333*	0.7692	0.6207	0.6257
KNN_11	0.7879	1.00*	0.4167	0.5882	0.4762	0.5590
RM_04	0.7576	0.6667	0.6667	0.6667	0.4762	0.4762
BA_02	0.8485*	0.8182	0.7500	0.7826*	0.6667*	0.6682
XGB_07	0.8485*	0.8889	0.6667	0.7619	0.6541	0.6686

RL = Regresión Logística; AD = Árbol de Decisión; SVM = Máquinas de Vectores Soporte; KNN = k-Vecinos Cercanos; RM = Regresión Multinomial; BA = Bosques Aleatorios; y XGB = Refuerzo de Gradientes Extremo.

4.2. Evaluación estadística del 2014

En este periodo se reconocen a los modelos de Regresión Logística y Multinomial como aquellos con una mejor capacidad de clasificación, considerando la superioridad demostrada en los todos los estadísticos (Tabla 5).

 Tabla 5

 Resultados de evaluación de los mejores candidatos seleccionados para cada modelo en el año 2014.

Submodelo	Exactitud	Precisión	Sensibilidad	F1-Score	Kappa	CCM
RL_01	0.9333*	1.00*	0.8889*	0.9412*	0.8649*	0.8729*
AD_01	0.8667	0.8889	0.8889*	0.8889	0.7222	0.7222
SVM_06	0.8000	0.8750	0.7778	0.8235	0.5946	0.6001
KNN_17	0.8667	1.00*	0.7778	0.8750	0.7368	0.7638
RM_01	0.9333*	1.00*	0.8889*	0.9412*	0.8649*	0.8729*
BA_01	0.8667	1.00*	0.7778	0.8750	0.7368	0.7638
XGB_13	0.8667	0.8889	0.8889*	0.8889	0.7222	0.7222

RL = Regresión Logística; AD = Árbol de Decisión; SVM = Máquinas de Vectores Soporte; KNN = k-Vecinos Cercanos; RM = Regresión Multinomial; BA = Bosques Aleatorios; y XGB = Refuerzo de Gradientes Extremo.

4.3. Evaluación estadística del 2016

Se determinan mayores exactitudes de clasificación en los modelos de k-Vecinos Cercanos y Máquinas de Vectores Soporte, contando el par con un 82.98%, sin embargo, es tan solo el primero que destaca en el resto de los estadísticos (Tabla 6).

Tabla 6Resultados de evaluación de los mejores candidatos seleccionados para cada modelo en el año 2016.

Submodelo	Exactitud	Precisión	Sensibilidad	F1-Score	Kappa	CCM
RL_01	0.7872	0.75	0.75	0.75	0.5648	0.5648
AD_03	0.7021	0.65	0.65	0.65	0.3907	0.3907
SVM_06	0.8298*	0.7308	0.95*	0.8261*	0.6649*	0.6869*
KNN_23	0.8298*	0.8750*	0.70	0.7778	0.6426	0.6531
RM_01	0.7872	0.7778	0.70	0.7368	0.5591	0.5613
BA_03	0.7660	0.6957	0.80	0.7442	0.5304	0.5348
XGB_03	0.7660	0.68	0.85	0.7556	0.5363	0.5486

RL = Regresión Logística; AD = Árbol de Decisión; SVM = Máquinas de Vectores Soporte; KNN = k-Vecinos Cercanos; RM = Regresión Multinomial; BA = Bosques Aleatorios; y XGB = Refuerzo de Gradientes Extremo.

4.4. Evaluación estadística del 2019

En comparación con las evaluaciones de periodos pasados, en esta solamente se puede denotar un único modelo que destaca sobre los demás considerando su capacidad de clasificación, siendo este el algoritmo de Bosques Aleatorios que cuenta con un 91.30% de exactitud (Tabla 7).

Tabla 7Resultados de evaluación de los mejores candidatos seleccionados para cada modelo en el año 2019.

Submodelo	Exactitud	Precisión	Sensibilidad	F1-Score	Kappa	CCM
RL_03	0.8841	0.9333	0.8235	0.8750	0.7677	0.7729
AD_13	0.8551	0.9615*	0.7353	0.8333	0.7091	0.7291
SVM_05	0.8841	0.8421	0.9412*	0.8889	0.7685	0.7737
KNN_07	0.8261	0.8667	0.7647	0.8125	0.6515	0.6560
RM_04	0.8696	0.9032	0.8235	0.8615	0.7387	0.7416
BA_06	0.9130*	0.9375	0.8824	0.9091*	0.8259*	0.8273*
XGB_08	0.8551	0.8750	0.8235	0.8485	0.7098	0.7110

RL = Regresión Logística; AD = Árbol de Decisión; SVM = Máquinas de Vectores Soporte; KNN = k-Vecinos Cercanos; RM = Regresión Multinomial; BA = Bosques Aleatorios; y XGB = Refuerzo de Gradientes Extremo.

4.5. Evaluación estadística del 2020

Nuevamente se distingue la capacidad de clasificación de dos modelos, siendo estos los algoritmos de Máquinas de Vectores Soporte y Refuerzo de Gradientes Extremo, con un 80% de exactitud simultáneamente (Tabla 8).

 Tabla 8

 Resultados de evaluación de los mejores candidatos seleccionados para cada modelo en el año 2020.

Submodelo	Exactitud	Precisión	Sensibilidad	F1-Score	Kappa	CCM
RL_01	0.6667	0.70	0.7778	0.7368	0.2857	0.2887
AD_01	0.6667	1.00*	0.4444	0.6154	0.3902	0.4924
SVM_06	0.80*	0.75	1.00*	0.8571*	0.5455	0.6124
KNN_25	0.6667	0.75	0.6667	0.7059	0.3243	0.3273
RM_03	0.6667	0.70	0.7778	0.7368	0.2857	0.2887
BA_01	0.6667	0.70	0.7778	0.7368	0.2857	0.2887
XGB_03	0.80*	1.00*	0.6667	0.8000	0.6154*	0.6667*

RL = Regresión Logística; AD = Árbol de Decisión; SVM = Máquinas de Vectores Soporte; KNN = k-Vecinos Cercanos; RM = Regresión Multinomial; BA = Bosques Aleatorios; y XGB = Refuerzo de Gradientes Extremo.

4.6. Evaluación estadística del 2021

Para el presente periodo puede nombrarse al algoritmo de Refuerzo de Gradiente Extremo como aquel con mejor potencial de clasificación contemplando el valor de exactitud de 80.94%, quedando el modelo de Bosques Aleatorios justo debajo de este con un 80.87% (Tabla 9).

Tabla 9Resultados de evaluación de los mejores candidatos seleccionados para cada modelo en el año 2021.

Submodelo	Exactitud	Precisión	Sensibilidad	F1-Score	Kappa	CCM
RL_01	0.6934	0.6992	0.6728	0.6857	0.3866	0.3869
AD_01	0.7383	0.7431	0.7241	0.7335	0.4765	0.4767
SVM_06	0.7523	0.7521	0.7485	0.7503	0.5045	0.5045
KNN_25	0.7705	0.8286*	0.6789	0.7463	0.5405	0.5495
RM_03	0.6922	0.6980	0.6716	0.6845	0.3842	0.3845
BA_01	0.8087	0.8206	0.7875*	0.8037*	0.6174	0.6179
XGB_03	0.8094*	0.8258	0.7814	0.8030	0.6186*	0.6195*

RL = Regresión Logística; AD = Árbol de Decisión; SVM = Máquinas de Vectores Soporte; KNN = k-Vecinos Cercanos; RM = Regresión Multinomial; BA = Bosques Aleatorios; y XGB = Refuerzo de Gradientes Extremo.

4.7. Evaluación estadística del 2022

Se establece, con creces, al modelo de Refuerzo de Gradientes Extremo como el mejor algoritmo de este periodo debido a su potencial de clasificación demostrado en la mayoría de los estadísticos, entre ellos, su exactitud estimada en 86.50% (Tabla 10).

 Tabla 10

 Resultados de evaluación de los mejores candidatos seleccionados para cada modelo en el año 2022.

Submodelo	Exactitud	Precisión	Sensibilidad	F1-Score	Kappa	CCM
RL_01	0.7878	0.8281	0.7125	0.7660	0.5739	0.5793
AD_01	0.8122	0.8624	0.7313	0.7914	0.6227	0.6297
SVM_06	0.7787	0.7787	0.7625	0.7705	0.5568	0.5570
KNN_15	0.8315	0.9243*	0.7125	0.8047	0.6608	0.6782
RM_04	0.7848	0.8237	0.7104	0.7629	0.5678	0.5730
BA_02	0.8508	0.9091	0.7708	0.8343	0.7002	0.7081
XGB_17	0.8650*	0.9063	0.8063*	0.8534*	0.7290*	0.7333*

RL = Regresión Logística; AD = Árbol de Decisión; SVM = Máquinas de Vectores Soporte; KNN = k-Vecinos Cercanos; RM = Regresión Multinomial; BA = Bosques Aleatorios; y XGB = Refuerzo de Gradientes Extremo.

5. Importancia de predictores

5.1. Ganancia

Respectivo a la pertinencia y aportaciones únicas de los predictores para el potencial de clasificación de los modelos base entrenados -y, por consiguiente, de los metamodelos-, se describen los resultados tras la aplicación del método de permutación en cada año (Figuras 32 y 33).

Para el 2013, respectivamente, se enfatiza de mayor manera el impacto de las variables hídricas, topológicas y climáticas. Esto se mantiene para los predictores topológicos en el año 2014, desplazando la importancia de la proximidad de cuerpos hídricos para la ocurrencia de incendios en la región. Sin embargo, posterior a estos años se nota una transición en los valores de ganancia de los predictores, atribuyendo ahora mayor importancia a los de carácter demográfico para los años 2016, 2019, 2020 y 2021. Finalmente, para el año 2022, la influencia de la presencia de bosques, la salud vegetal y la proximidad a localidades, se etiquetan como los predictores con mayor importancia para la definición de zonas susceptibles a siniestros.

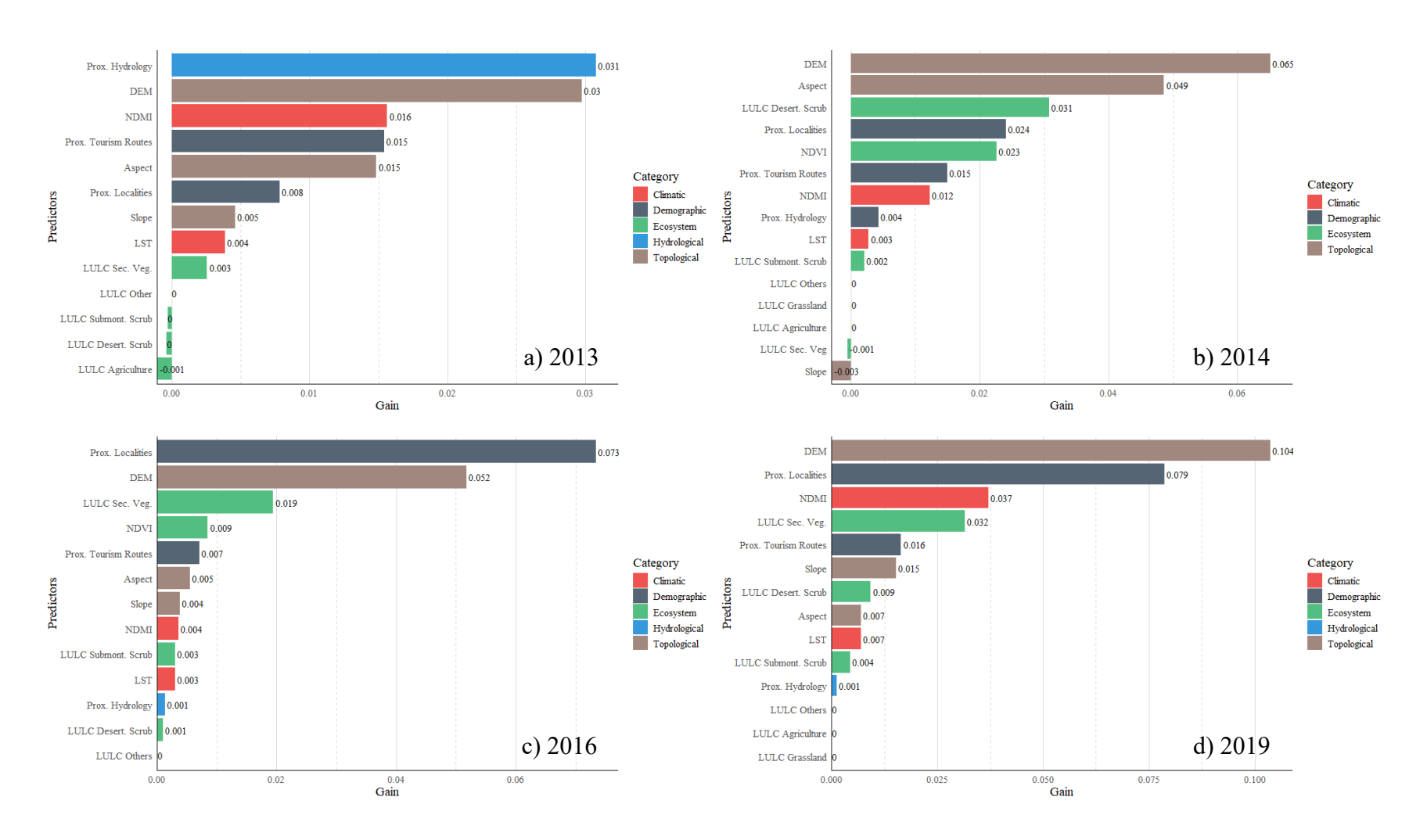


Figura 32. Variación temporal en los valores de aportación en ganancia de los predictores individuales seleccionados por los algoritmos para el entrenamiento de los modelos base desde 2013 a 2019.

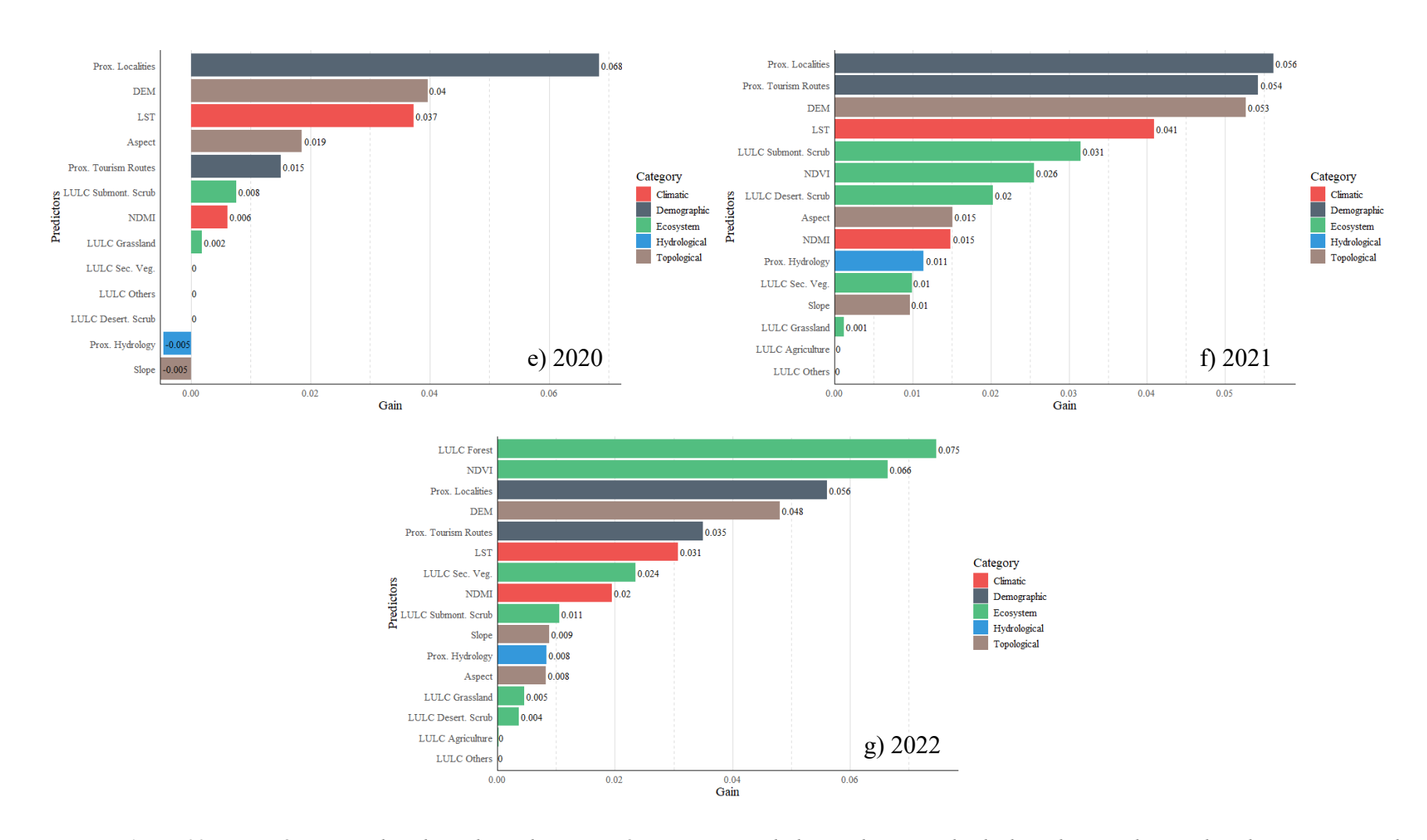


Figura 33. Variación temporal en los valores de aportación en ganancia de los predictores individuales seleccionados por los algoritmos para el entrenamiento de los modelos base desde 2020 a 2022.

5.2. Curvas de respuestas de 2013

Destaca el aumento en el riesgo de incendios en las regiones distanciadas de cuerpos hídricos, con elevaciones mayores a 1 000 msnm, y con coberturas de dosel media-baja con estrés hídrico alto o coberturas bajas con estrés hídrico bajo (Figura 34). Lo contrario puede esperarse, además, en zonas encontradas a una distancia de 1 a 2 km de rutas de turismo y con orientación sur.

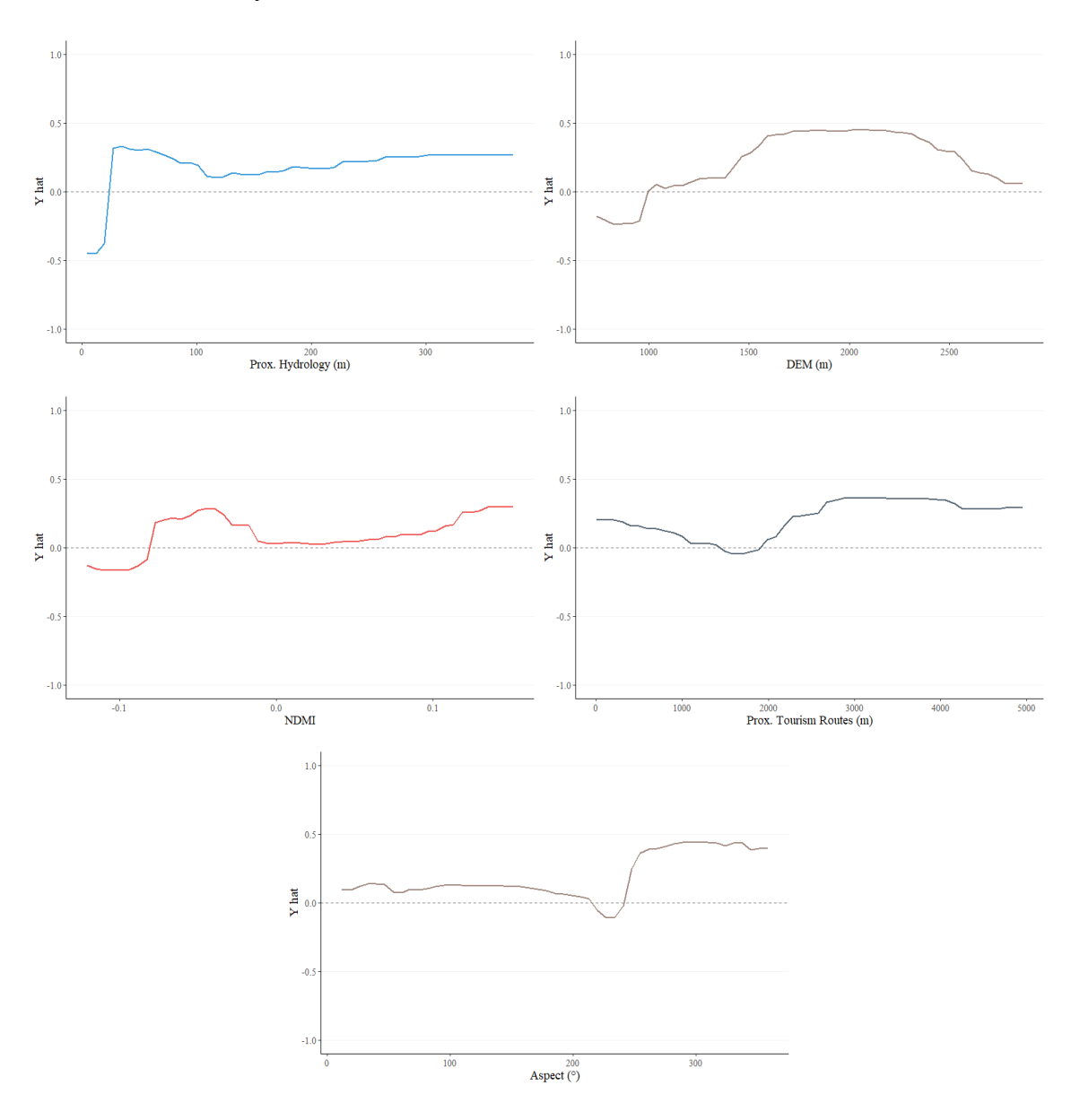


Figura 34. Dependencias parciales únicas para los predictores con mayor importancia en los modelos base del año 2013.

5.3. Curvas de respuestas de 2014

Se establece una mayor susceptibilidad a las zonas con elevaciones bajas hasta los 2 150 msnm con orientación norte-noreste, próximas hasta 2.8 km de localidades humanas y con suelos desnudos o de baja productividad, señalado por la dependencia parcial de los valores del índice de vegetación (Figura 35). La presencia de matorrales desérticos disminuye la probabilidad de ocurrencia de incendios en la región.

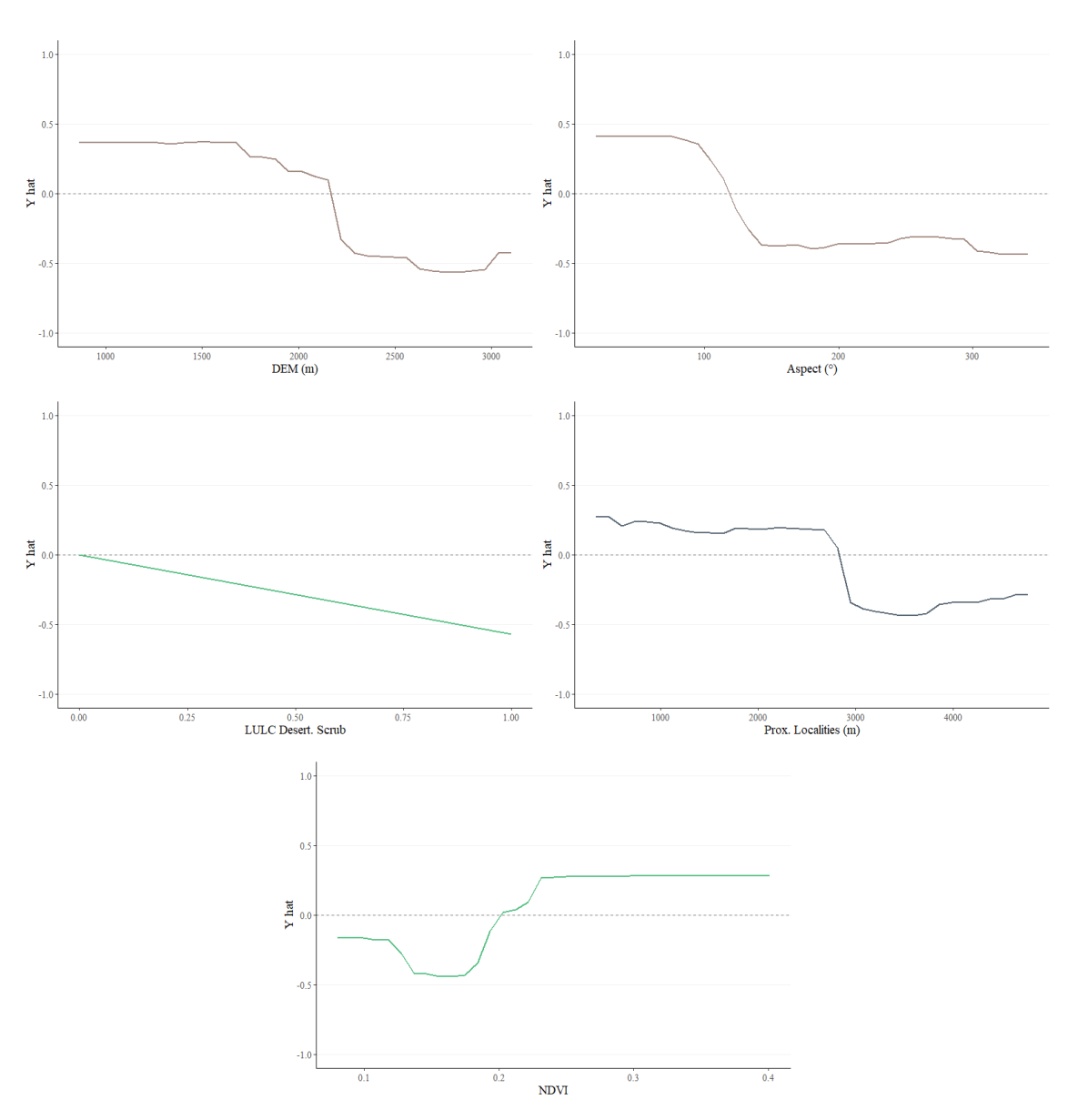


Figura 35. Dependencias parciales únicas para los predictores con mayor importancia en los modelos base del año 2014.

5.4. Curvas de respuestas de 2016

A partir de este periodo se incrementan las ganancias de los predictores demográficos de proximidad a localidades y rutas de turismo, sin embargo, lo anterior no indica necesariamente que la cercanía a estos incremente el riesgo a incendios, evento observado en este año, donde la susceptibilidad es mayor en zonas distanciadas, con elevaciones menores a 1 400 msnm, con presencia de vegetación perturbada y en suelos desnudos o de baja productividad (Figura 36).

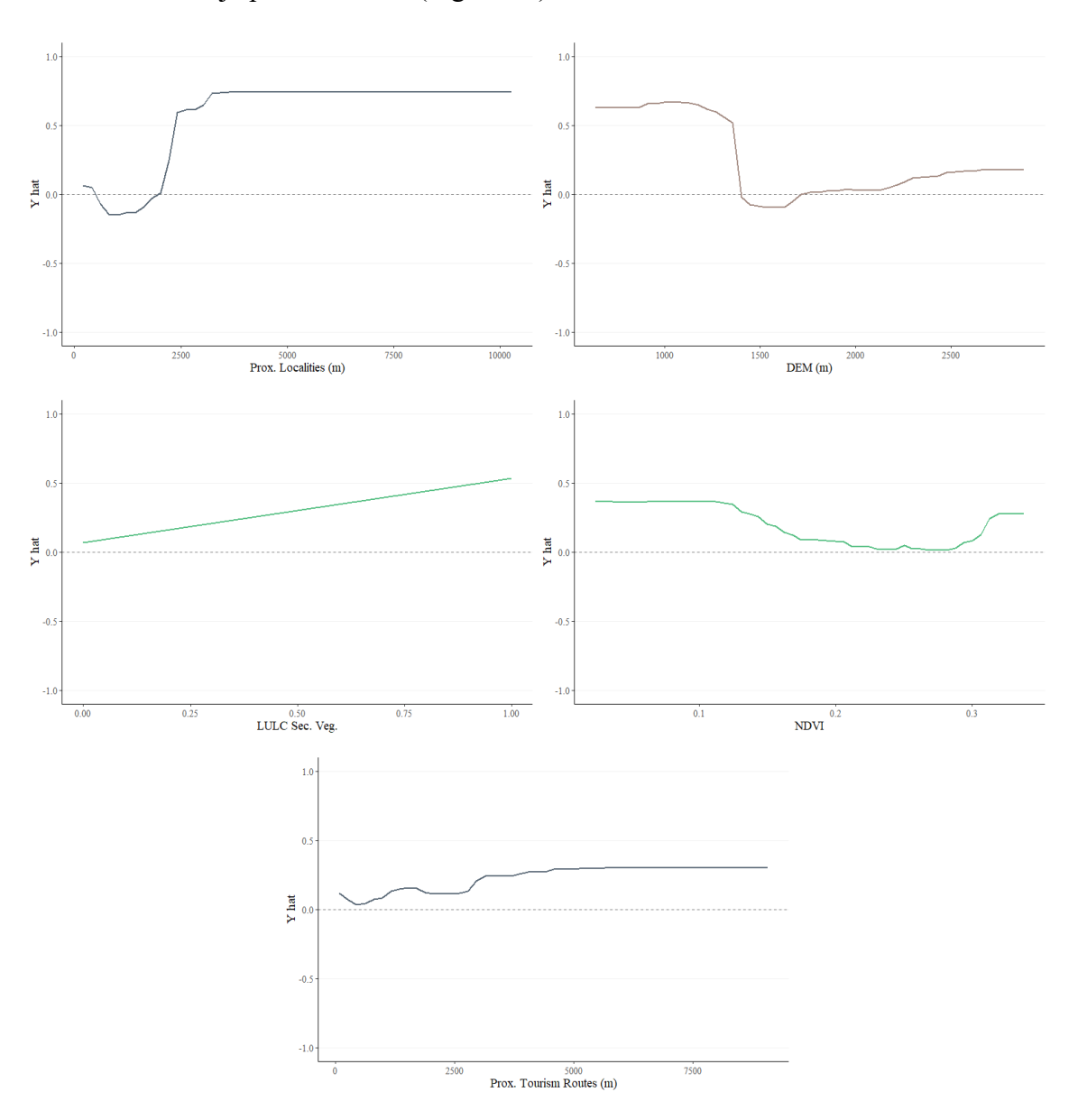


Figura 36. Dependencias parciales únicas para los predictores con mayor importancia en los modelos base del año 2016.

5.5. Curvas de respuestas de 2019

Nuevamente, las zonas con mayor susceptibilidad a incendios son aquellas con elevaciones bajas hasta los 1 700 msnm, distanciadas desde 2.1 km de poblaciones humanas y rutas de turismo, con coberturas de dosel media-baja con estrés hídrico alto o coberturas bajas con estrés hídrico bajo y con presencia de vegetación perturbada en etapa sucesional (Figura 37).

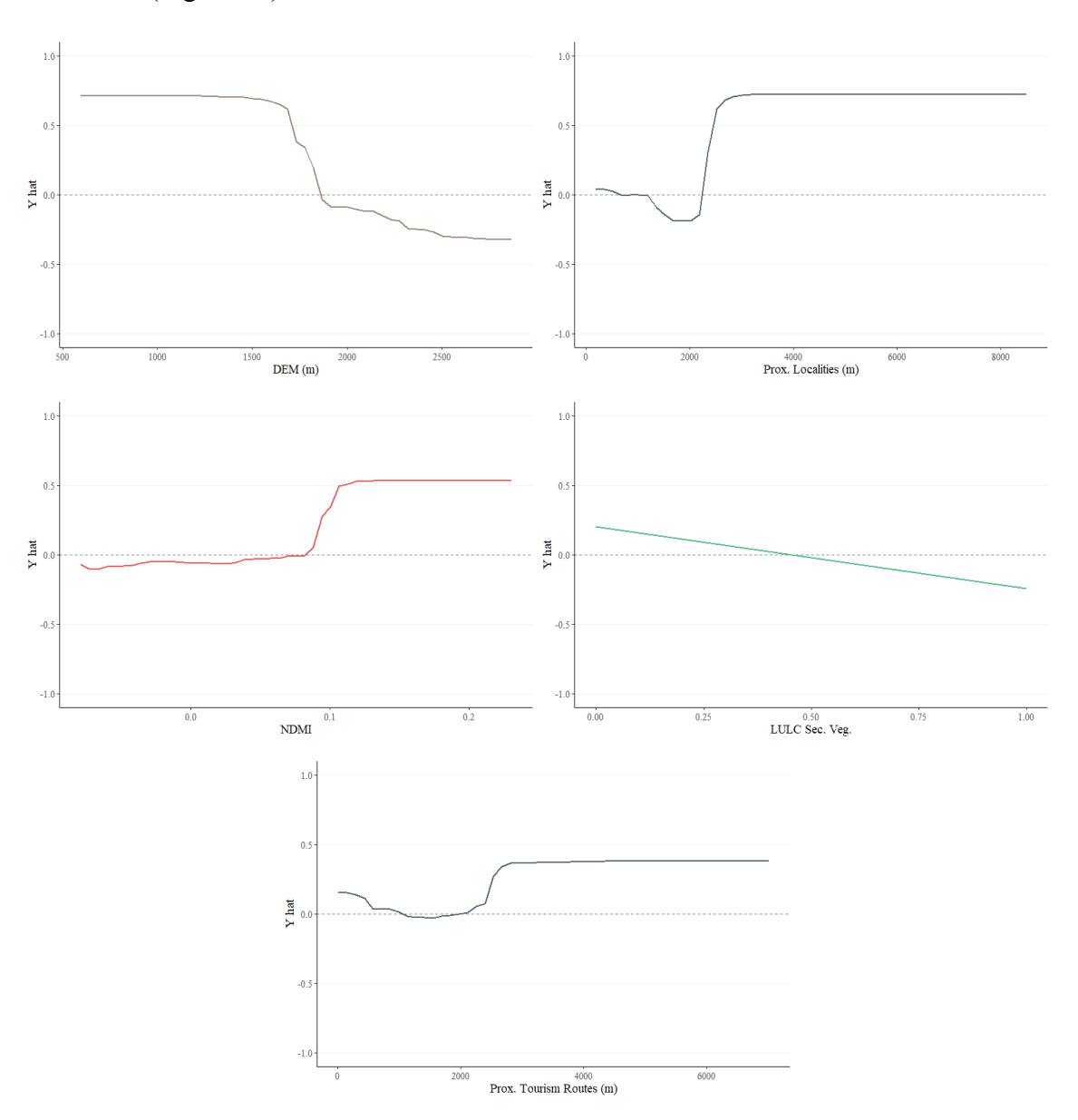


Figura 37. Dependencias parciales únicas para los predictores con mayor importancia en los modelos base del año 2019.

5.6. Curvas de respuestas de 2020

Similar al argumento mencionado en el periodo anterior, la proximidad a localidades humanas disminuye el riesgo de incendios en el territorio, aun así, esto no se mantiene para las regiones extremadamente cercanas a rutas de turismo (Figura 38). Simultáneamente, el riesgo incrementa en zonas con elevaciones bajas hasta 1 400 msnm, con temperaturas superficiales del suelo superiores a 32° C y de orientación norte-este.

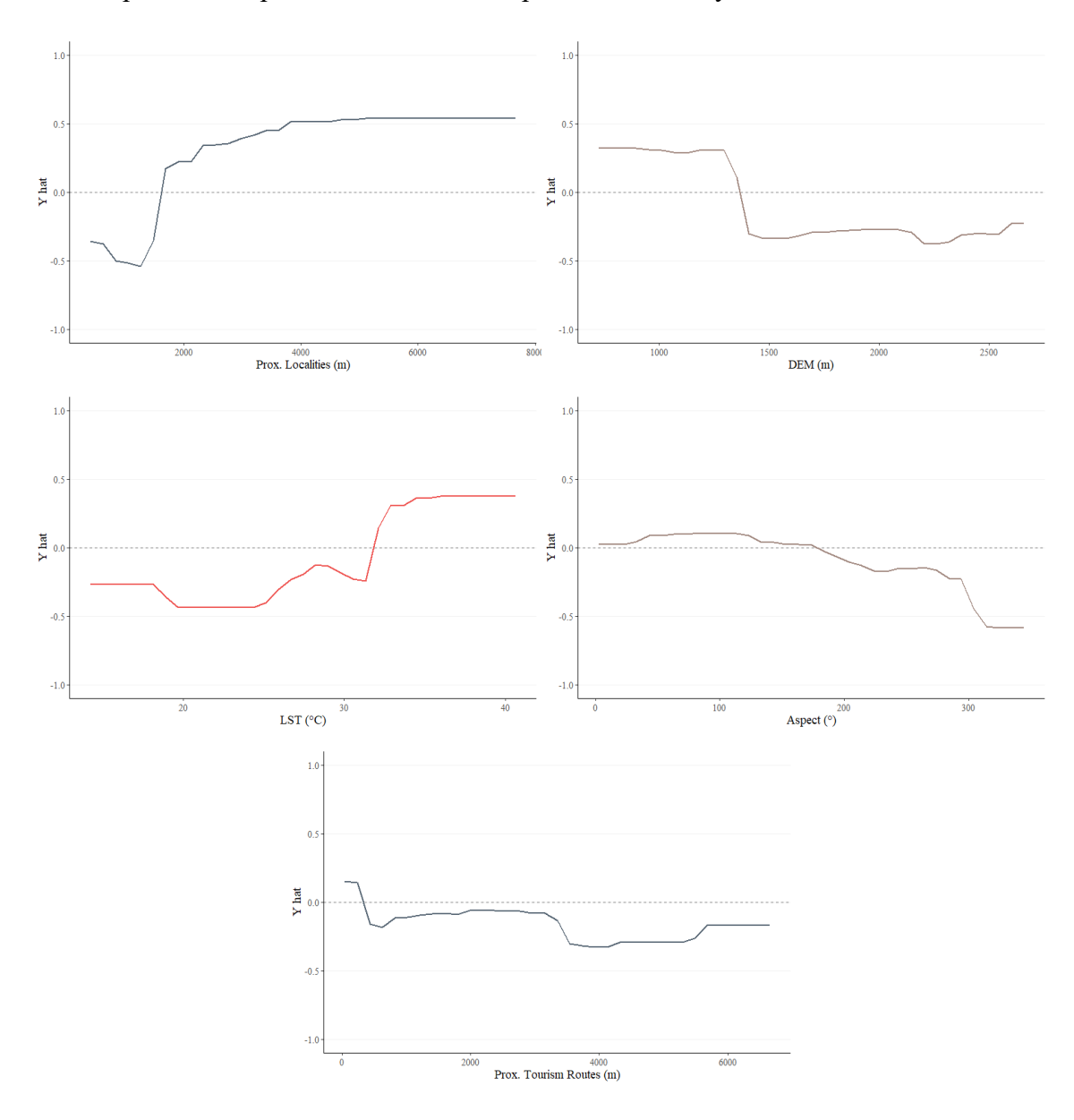


Figura 38. Dependencias parciales únicas para los predictores con mayor importancia en los modelos base del año 2020.

5.7. Curvas de respuestas de 2021

Antagonizando al paradigma que se seguía en las etapas pasadas, el impacto de la proximidad a poblaciones humanas y rutas de turismo muestra una transición, en la cual, las zonas cercanas hasta ~4 km a estas variables registran un incremento en el riesgo de incendios (Figura 39). Igualmente persiste en las regiones de elevaciones menores a 1 700 msnm, con temperaturas entre 9 y 20° C, y con presencia de matorral desértico.

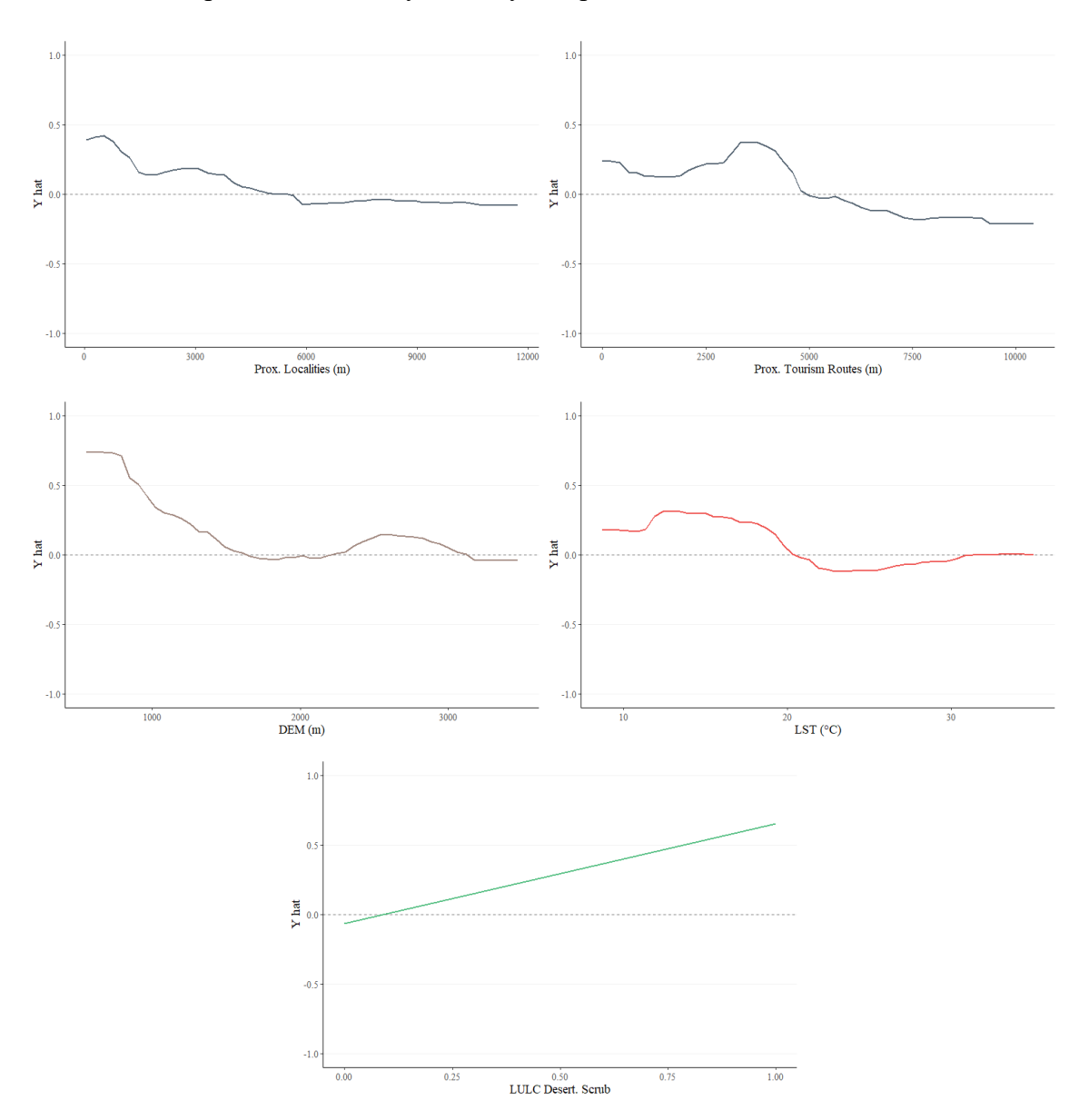


Figura 39. Dependencias parciales únicas para los predictores con mayor importancia en los modelos base del año 2021.

5.8. Curvas de respuestas de 2022

Por vez única, el riesgo de ocurrencia de incendios incrementa considerablemente en zonas forestales, además de suelos desnudos o con baja productividad. La susceptibilidad incrementa gradualmente conforme aumente la distancia a localidades y rutas de turismo, y similarmente en las regiones con elevaciones entre 0 a 1 000 msnm y mayores a 2 500 msnm (Figura 40).

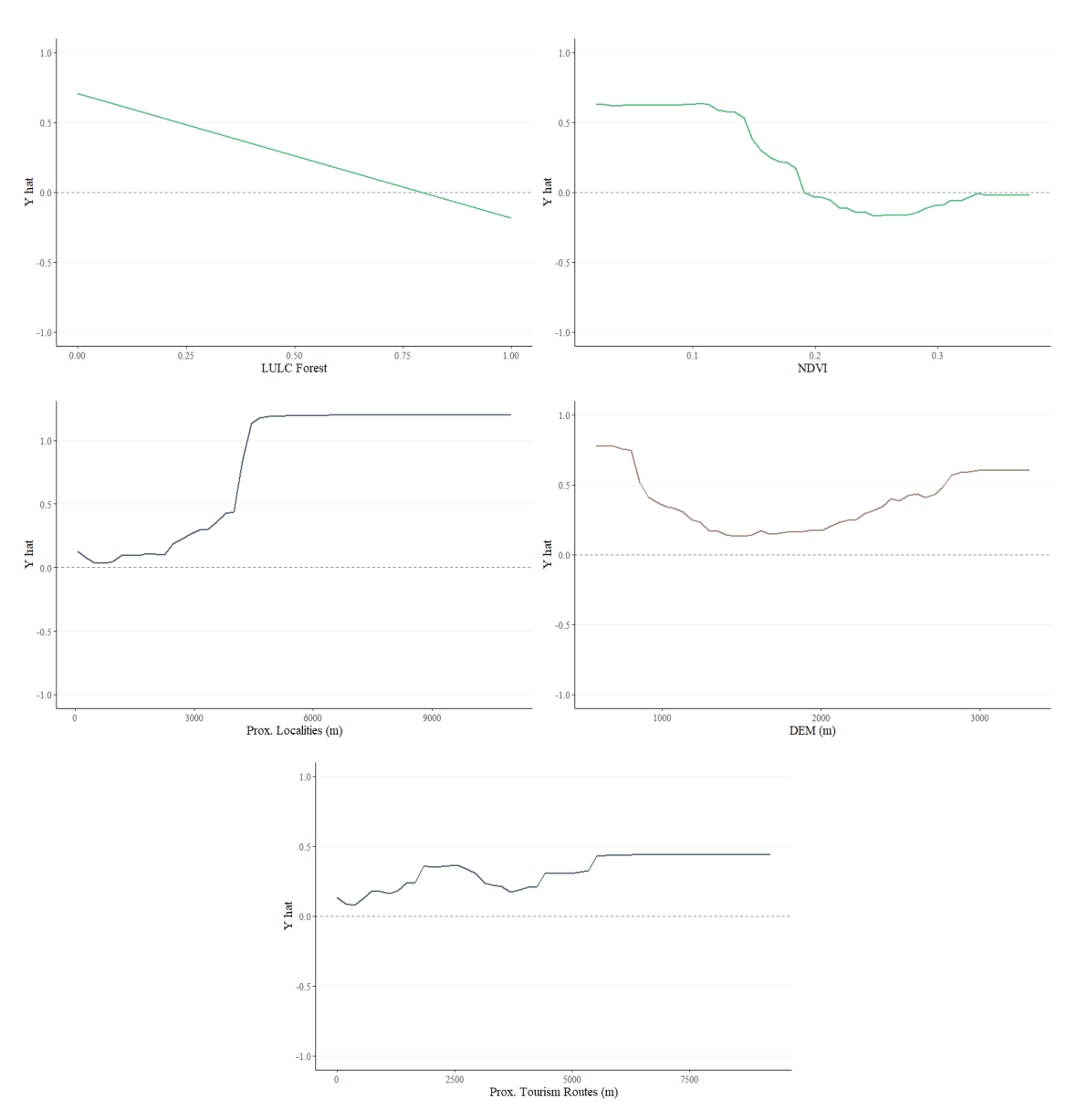


Figura 40. Dependencias parciales únicas para los predictores con mayor importancia en los modelos base del año 2022.

6. Metamodelos

Contemplando las evaluaciones de los mejores submodelos candidatos para cada periodo se establece el entrenamiento y práctica de los arquetipos de regresión logística a través de la función *logistic_reg* de la librería *glmnet*, con un valor de 0.1 y 0.5 para los argumentos *penalty* y *mixture*, respectivamente.

6.1. Metamodelo del 2013

Se enmascaran los efectos de los modelos de Regresión Logística y Multinomial atribuyéndoles un coeficiente 0, simultáneamente atribuyendo valores más altos a los algoritmos de Máquinas Vectores de Soporte, Refuerzo de Gradientes Extremo y Árbol de Decisión (Tabla 11).

 Tabla 11

 Determinación de coeficientes de cada modelo para el establecimiento del metamodelo del año 2013.

	Intersección	RL	AD	SVM	KNN	RM	BA	XGB
Coeficiente	-1.05	0.00	0.36	0.95	0.18	0.00	0.18	0.44

Compensando las áreas de oportunidad singulares de cada modelo base instituido, el metamodelo supera a los anteriores en las evaluaciones de los estadísticos (Tabla 12).

Tabla 12

Resultados de evaluación del metamodelo construido para el año 2013.

	Exactitud	Precisión	Sensibilidad	F1-Score	Kappa	CCM
Metamodelo	0.9091	1.00	0.75	0.8571	0.7925	0.8101

6.2. Metamodelo del 2014

Nuevamente se enmascaran los efectos del modelo de Regresión Logística atribuyéndole un coeficiente 0, además de atenuar al modelo de Bosques Aleatorios con un valor de 0.01. Se disponen valores más altos a los algoritmos de Refuerzo de Gradientes Extremo, Máquinas de Vectores Soporte y Regresión Multinomial (Tabla 13).

 Tabla 13

 Determinación de coeficientes de cada modelo para el establecimiento del metamodelo del año 2014.

	Intersección	RL	AD	SVM	KNN	RM	BA	XGB
Coeficiente	-1.50	0.00	0.31	0.81	0.30	0.69	0.01	0.94

El metamodelo apenas supera a los modelos base establecidos, quedando por detrás de los algoritmos de Regresión Logística y Multinomial, y al mismo nivel que el Árbol de Decisión y el Refuerzo de Gradientes Extremo (Tabla 14).

Tabla 14

Resultados de evaluación del metamodelo construido para el año 2014.

	Exactitud	Precisión	Sensibilidad	F1-Score	Kappa	CCM
Metamodelo	0.8667	0.8889	0.8889	0.8889	0.7222	0.7222

6.3. Metamodelo del 2016

Se eliminan los productos de los modelos de Regresión Logística, Regresión Multinomial y Bosques Aleatorios, incrementando simultáneamente los valores de Máquinas de Vectores Soporte y Refuerzo de Gradientes Extremo (Tabla 15).

 Tabla 15

 Determinación de coeficientes de cada modelo para el establecimiento del metamodelo del año 2016.

	Intersección	RL	AD	SVM	KNN	RM	BA	XGB
Coeficiente	-2.02	0.00	0.65	1.48	0.63	0.00	0.00	0.76

El metamodelo excede el potencial de la mayoría de los modelos base establecidos, únicamente empatando en el mismo nivel con el algoritmo de Máquinas de Vectores Soporte (Tabla 16).

Tabla 16

Resultados de evaluación del metamodelo construido para el año 2016.

	Exactitud	Precisión	Sensibilidad	F1-Score	Kappa	CCM
Metamodelo	0.8298	0.75	0.90	0.8182	0.6606	0.6704

6.4. Metamodelo del 2019

En este periodo, en contraposición con las etapas anteriores, el metamodelo no enmascara los efectos de ningún modelo base, considerándolos en su totalidad, aunque en magnitudes desiguales (Tabla 17).

 Tabla 17

 Determinación de coeficientes de cada modelo para el establecimiento del metamodelo del año 2019.

	Intersección	RL	AD	SVM	KNN	RM	BA	XGB
Coeficiente	-2.38	0.24	0.72	0.93	0.55	0.49	0.64	1.08

Se antepone de nuevo la capacidad de clasificación del metamodelo que supera en sus estadísticos a los modelos base establecidos, compensando las debilidades singulares de cada uno de ellos (Tabla 18).

Tabla 18
Resultados de evaluación del metamodelo construido para el año 2019.

	Exactitud	Precisión	Sensibilidad	F1-Score	Kappa	CCM
Metamodelo	0.9130	0.9667	0.8529	0.9063	0.8258	0.8314

6.5. Metamodelo del 2020

Para su establecimiento, se enmascaran los efectos del algoritmo de Bosques Aleatorios, mientras que a los modelos de Máquinas de Vectores Soporte, Regresión Multinomial y k-Vecinos Cercanos se les otorgan coeficientes mayores (Tabla 19).

Tabla 19Determinación de coeficientes de cada modelo para el establecimiento del metamodelo del año 2020.

	Intersección	RL	AD	SVM	KNN	RM	BA	XGB
Coeficiente	-2.25	0.49	0.08	1.34	0.83	0.89	0.00	0.50

A pesar de presentar una mejora en el potencial de clasificación, el metamodelo aún mantiene un desempeño menor al presentado por los algoritmos de Máquinas de Vectores Soporte y Refuerzo de Gradientes Extremo (Tabla 20).

Tabla 20Resultados de evaluación del metamodelo construido para el año 2020.

	Exactitud	Precisión	Sensibilidad	F1-Score	Kappa	CCM
Metamodelo	0.7333	0.7778	0.7778	0.7778	0.4444	0.4444

6.6. Metamodelo del 2021

Similar al diseño del metamodelo de 2013, se enmascaran los efectos de los algoritmos de Regresión Logística y Multinomial atribuyéndoles un coeficiente 0 y, de manera contraria, se elevan los valores de los modelos de Refuerzo de Gradientes Extremo (Tabla 21).

 Tabla 21

 Determinación de coeficientes de cada modelo para el establecimiento del metamodelo del año 2021.

	Intersección	RL	AD	SVM	KNN	RM	BA	XGB
Coeficiente	-1.55	0.00	0.19	0.54	0.64	0.00	0.55	0.94

El metamodelo de este periodo mejora en su capacidad de clasificación contrastando con la mayoría de los modelos base, siendo superado de manera única por el algoritmo de Bosques Aleatorios (Tabla 22).

Tabla 22
Resultados de evaluación del metamodelo construido para el año 2021.

	Exactitud	Precisión	Sensibilidad	F1-Score	Kappa	CCM
Metamodelo	0.7790	0.7725	0.7875	0.7799	0.5580	0.5581

6.7. Metamodelo del 2022

No se excluye ni atenúa el aporte de ningún modelo base establecido, por lo cual se les otorgan valores de coeficientes que representen la ganancia ante el diseño del metamodelo construido (Tabla 23).

Tabla 23Determinación de coeficientes de cada modelo para el establecimiento del metamodelo del año 2022.

	Intersección	RL	AD	SVM	KNN	RM	BA	XGB
Coeficiente	-2.04	0.14	0.34	0.53	0.64	0.15	0.59	1.08

Considerando la evaluación de sus estadísticos, el diseño de metamodelo para esta etapa propone una mejora en la capacidad de clasificación al compararse con la mayoría de los modelos base, quedando justo por detrás del algoritmo de Refuerzo de Gradientes Extremo (Tabla 24).

Tabla 24 *Resultados de evaluación del metamodelo construido para el año 2022.*

	Exactitud	Precisión	Sensibilidad	F1-Score	Kappa	CCM
Metamodelo	0.8609	0.8979	0.8063	0.8496	0.7209	0.7246

7. Vulnerabilidad a incendios

En etapas basales, tras la aplicación del metamodelo virtual al ambiente real del Parque Nacional, el territorio susceptible categorizado aparenta una distribución espacial homogénea en la región donde la probabilidad de ocurrencia de incendios podría atribuirse en mayor parte a sucesos estocásticos, sin embargo, partiendo del año 2016 se distinguen aglomeraciones de alta susceptibilidad al centro de la región (Figura 41).

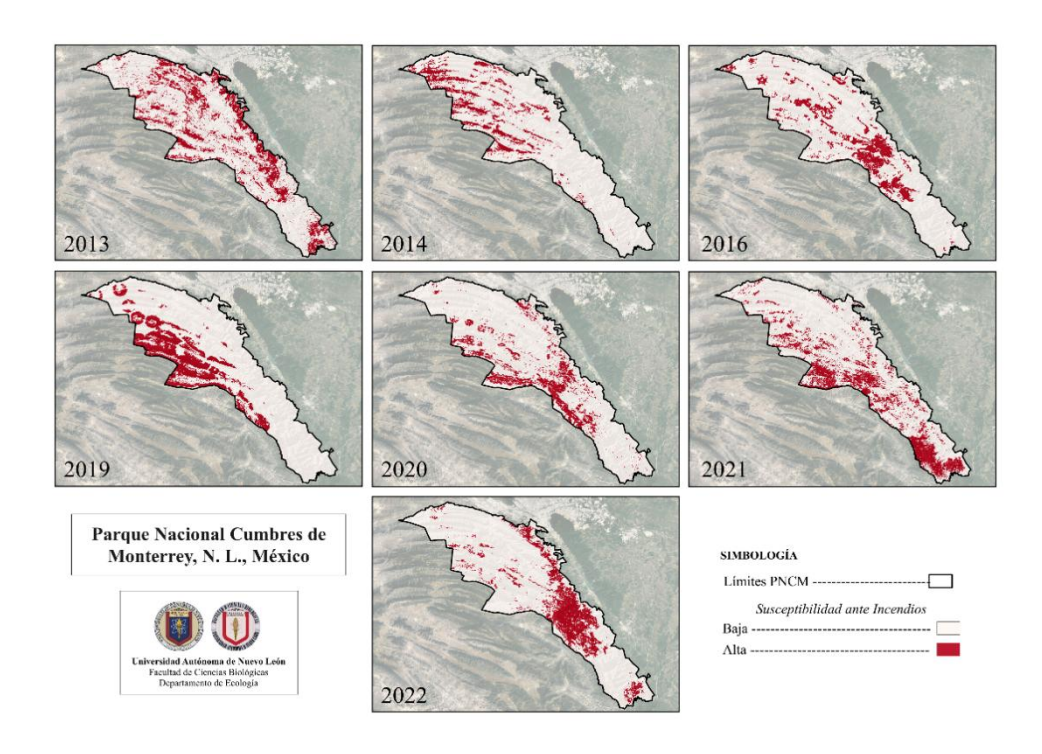


Figura 41. Susceptibilidad ante incendios al interior del PNCM.

Igualmente, se logran distinguir las dimensiones específicas de territorio susceptibles a incendios en los diversos periodos establecidos (Tabla 25).

 Tabla 25

 Extensión de las áreas susceptibles al interior del PNCM en cada periodo.

Periodo	Área susceptible (km²)
2013	422.42
2014	228.57
2016	261.19
2019	354.04
2020	252.47
2021	387.47
2022	320.66

8. Evaluación espacial

Acoplando las clasificaciones únicas de todos los periodos en una sola capa de información se establece la permanencia de los sitios susceptibles del Parque Nacional a lo largo de los años (Figura 42).

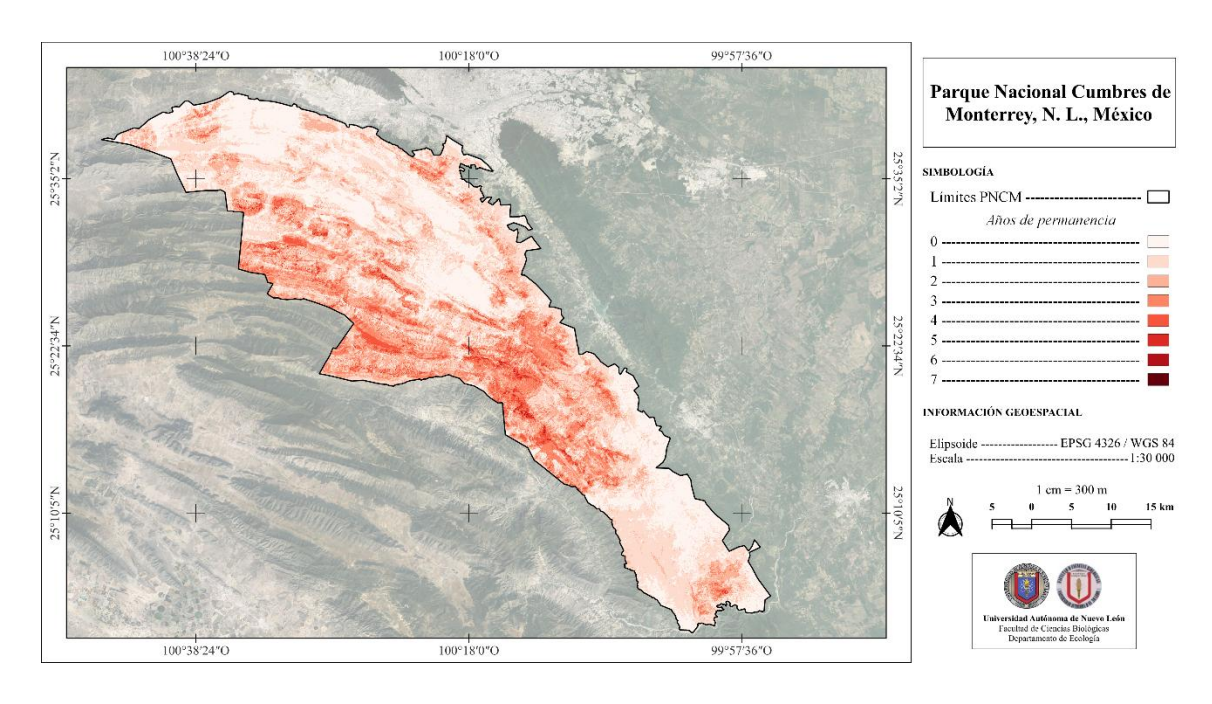


Figura 42. Permanencia de sitios susceptibles ante incendios al interior del PNCM.

Es a través de este producto que se consolidan de mejor manera los sitios con alta vulnerabilidad ante la ocurrencia de incendios en el PNCM y su extensión específica, atribuyendo un nivel artificial de vulnerabilidad respectivo a cada sitio según este valor de permanencia (Tabla 26).

Tabla 26Niveles de vulnerabilidad establecidos por año de permanencia y extensión al interior del PNCM.

Años de permanencia	Vulnerabilidad	Área (km²)
0	Nula	542.94
1	Muy baja	610.60
2	Baja	351.40
3	Moderadamente baja	195.64
4	Moderada	64.70
5	Moderadamente alta	10.86
6	Alta	1.50
7	Muy alta	0.05
	Total	1 778.70

Por lo tanto, se delimitan cinco subzonas prioritarias al interior del Parque Nacional para la implementación de métodos de control y prevención de siniestros.

8.1. Subzona 1

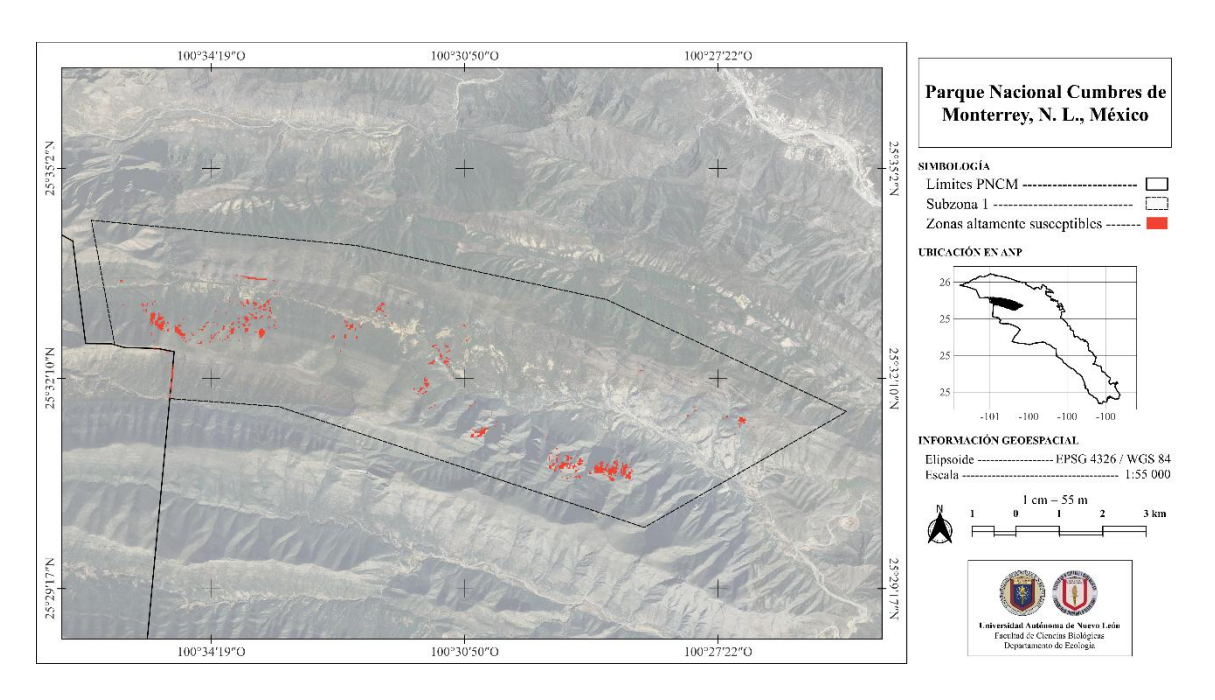


Figura 43. Subzona 1 para la propuesta de estrategias de prevención de incendios en el PNCM.

Descripción del sitio

Topología: Perímetro de 40.98 km

Área de 69.83 km²

Fisiografía: Concentración de zonas de alta susceptibilidad en las laderas sur y suroeste del

anticlinal Agua del Toro, ubicado por debajo del anticlinal Los Nuncios y el pliegue Las Comitas, y por encima del pliegue San Cristóbal y del anticlinal

San Lucas; además, en las laderas norte y noreste de este último.

Climatología: Tipo de clima templado subhúmedo predominante [C(w1)]; semiárido

templado [BS1k(x')] y semiárido semicálido [BS1hw] en menor extensión al

oeste y al este de la región, respectivamente.

Vegetación: Presencia de matorral desértico rosetófilo, bosque de pino y bosque de encino-

pino.

Demografía: Los sitios más sobresalientes de la región son los pueblos Llanitos (Mesa de la

Cruz), y Canoas, y el rancho Agua Blanca de propiedad privada.

Turismo: Actividades de senderismo, montañismo, paisajismo, camping, rutas off-road

(exploración con vehículos todoterreno) y renta de cabañas.

8.2. Subzona 2

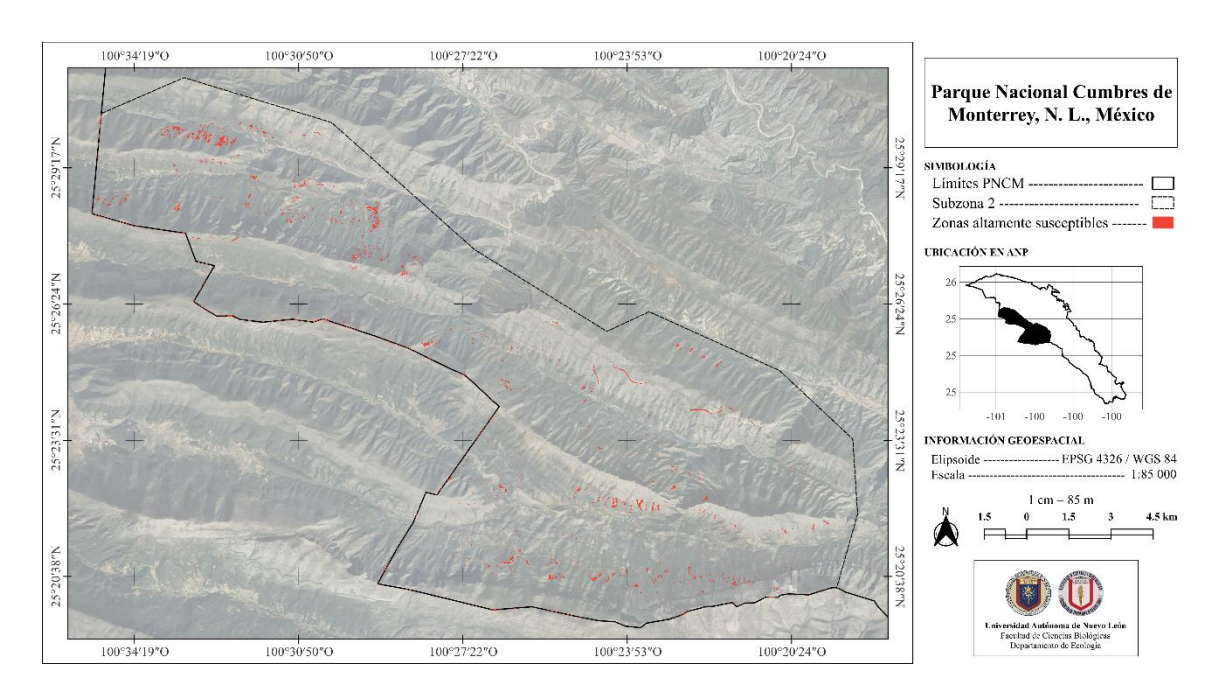


Figura 44. Subzona 2 para la propuesta de estrategias de prevención de incendios en el PNCM.

Descripción del sitio

Topología: Perímetro de 86.36 km

Área de 245.14 km²

Fisiografía: Zonas de alta susceptibilidad repartidas en las laderas sur-suroeste del anticlinal

San Juan Bautista, y en las laderas del anticlinal El Chorro, ambos ubicados por debajo del anticlinal San Lucas y el pliegue San Cristóbal, y por encima del anticlinal Potrero de Abrego; además, encontradas en las laderas norte-noreste

de este último.

Climatología: Tipo de clima templado subhúmedo [C(w1)] predominante; semiárido

templado [BS1k(x')] y semicálido subhúmedo [(A)C(w1)] en menor extensión.

Vegetación: Presencia de bosque de pino, bosque de pino-encino, bosque de encino, bosque

de ayarín, matorral submontano, y agricultura de riego anual, de temporal

anual, y de temporal anual y semipermanente.

Demografía: Los sitios más sobresalientes de la región son los pueblos San Antonio de la

Osamenta, Santa Cruz, Agua Fría, San José de las Boquillas y San Sebastián.

Turismo: Actividades de senderismo, paisajismo, rapel, montañismo, camping, tours en

helicóptero, renta de cabañas; próxima a varios ejes viales principales.

8.3. Subzona 3

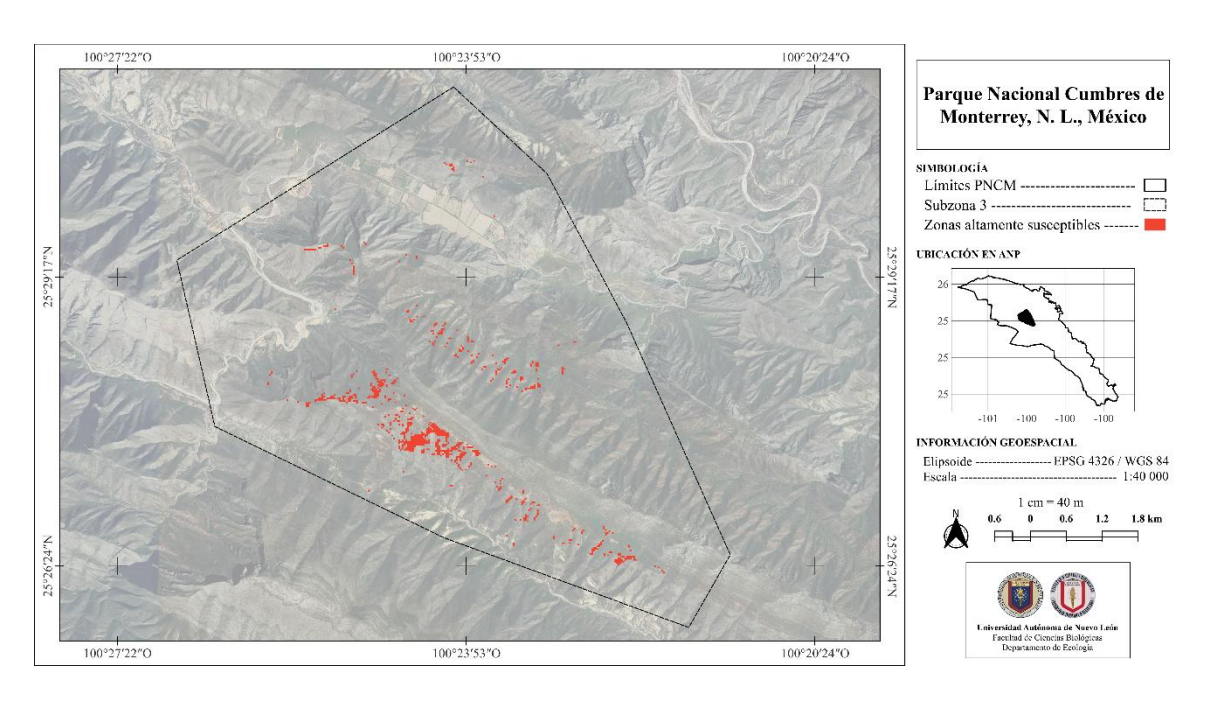


Figura 45. Subzona 3 para la propuesta de estrategias de prevención de incendios en el PNCM.

Descripción del sitio

Topología: Perímetro de 28.88 km

Área de 50.78 km²

Fisiografía: Zonas de alta susceptibilidad repartidas en las laderas del pliegue San Cristóbal,

ubicado por debajo del anticlinal Agua del Toro y por encima del anticlinal San

Juan Bautista.

Climatología: Tipos de climas semicálido subhúmedo [(A)C(wo)] y templado subhúmedo

[C(w1)] predominantes en la región; semiárido semicálido [BS1hw] y

semicálido subhúmedo [(A)C(w1)] en menor extensión.

Vegetación: Presencia de matorral submontano, matorral desértico rosetófilo, bosque de

pino, bosque de encino, bosque de encino-píno y agricultura de temporal anual.

Demografía: Los sitios más sobresalientes de la región son el pueblo Rincón Grande, el ejido

El Pajonal y el rancho Arizpe Cabaña.

Turismo: Únicamente actividades de paisajismo, no se refieren otras actividades, rutas o

la presencia de cabañas para renta.

8.4. Subzona 4

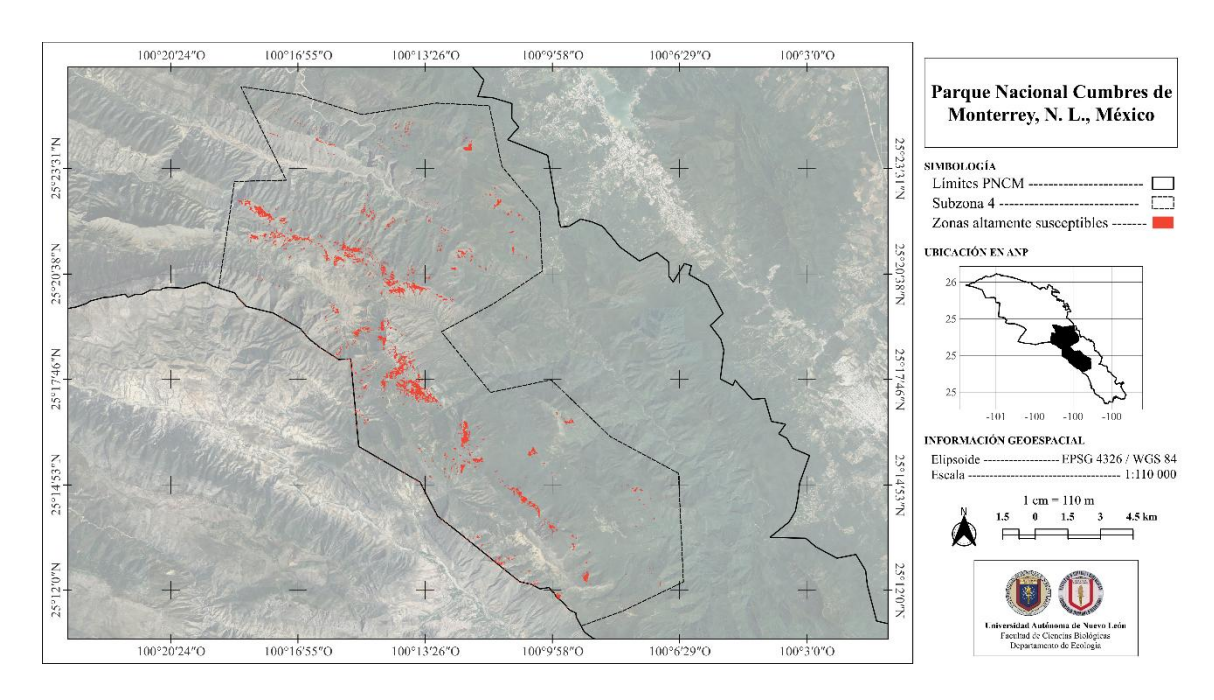


Figura 46. Subzona 4 para la propuesta de estrategias de prevención de incendios en el PNCM.

Descripción del sitio

Topología: Perímetro de 90.06 km

Área de 269.60 km²

Fisiografía: Zonas de alta susceptibilidad repartidas en las laderas sur-suroeste del pliegue

San Cristóbal y la cabalgadura Frontal; además, en las laderas del pliegue Mauricio, ubicado por debajo del anticlinal recostado de Los Nogales, y por

encima del anticlinal recostado la Ventana Mediodía.

Climatología: Tipos de climas semicálido subhúmedo [(A)C(w1) y (A)C(w2)] y templado

subhúmedo [C(w1)] predominantes en la región; semiárido semicálido

[BS1h(x')] en menor extensión.

Vegetación: Presencia de bosque de pino, bosque de pino-encino, bosque de encino, bosque

de encino-pino, bosque de ayarín, matorral submontano, pastizal inducido y

agricultura de riego anual, de riego permanente, y de temporal anual.

Demografía: Los sitios más sobresalientes de la región son los pueblos de La Ciénega de

González, Laguna de Sánchez, y Potrero Redondo.

Turismo: Actividades de senderismo, paisajismo, rapel, camping, rutas off-road, renta de

cabañas; próxima a varios ejes viales principales.

8.5. Subzona 5

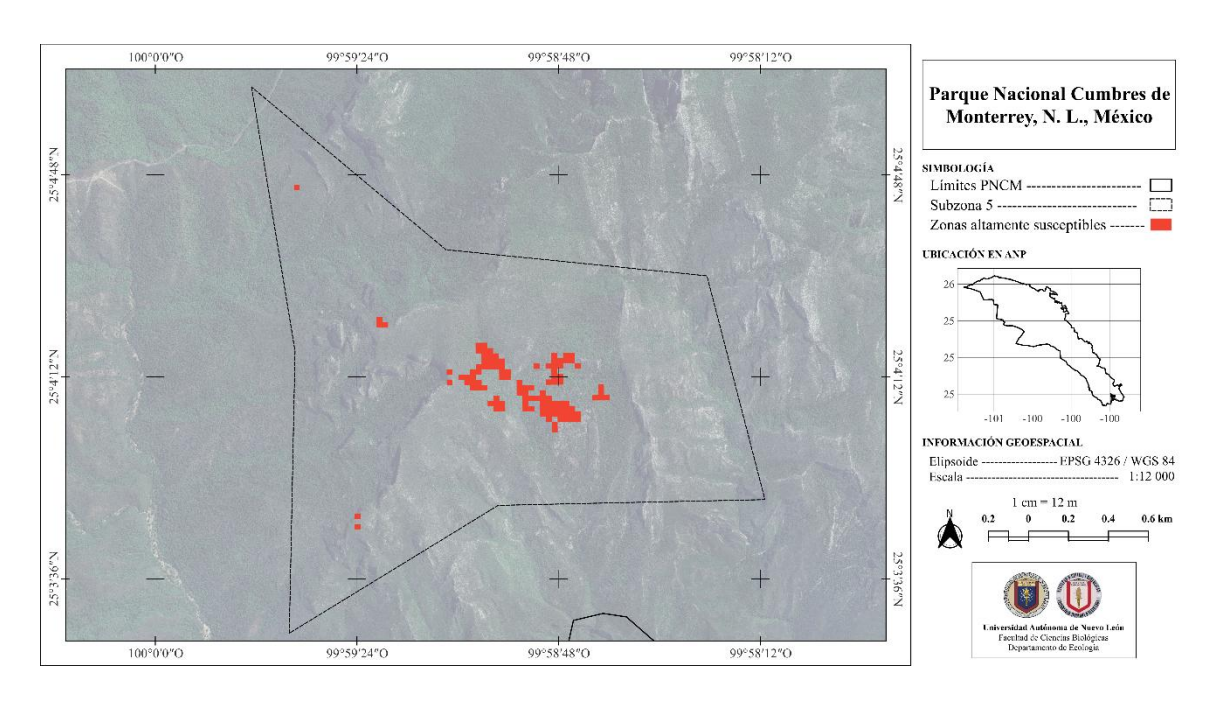


Figura 47. Subzona 5 para la propuesta de estrategias de prevención de incendios en el PNCM.

Descripción del sitio

Topología: Perímetro de 9.5 km

Área de 3.72 km²

Fisiografía: Zonas de alta susceptibilidad repartidas en algunas laderas de la cabalgadura

Secundaria, ubicada por debajo de la cabalgadura Frontal y el anticlinal recostado Santa Rosa, y por encima del pliegue Mauricio y el anticlinal

recostado La Muralla.

Climatología: Únicamente presente el tipo de clima semicálido subhúmedo [(A)C(w1)].

Vegetación: Presencia de matorral submontano y bosque de encino.

Demografía: El sitio más sobresaliente de la región es la topoforma "Nariz de Indio".

Turismo: Actividades de paisajismo, senderismo y montañismo; además, la proximidad

a varios ejes viales principales.

9. Propuestas

En paralelo con los componentes de Ley para los cuales es pertinente la región, sus gestores, habitantes y colonos, inicialmente, se desenvuelven propuestas de metodologías para la prevención/control de los incendios que ocurran al interior del Parque Nacional "Cumbres de Monterrey", procurando siempre la integración y consenso de las partes involucradas para el establecimiento de estas mismas. Similar a los plazos propuestos en CONANP (2011), son categorizadas según su alcance y posibilidad de éxito en el tiempo, diseñando productos para:

• (C) Corto plazo: 1 − 2 años

• (M) Mediano plazo: 3 – 5 años

• (L) Largo plazo: 6 o más años

• (EC) Esfuerzo continuo: Permanente

Tabla 27Acciones propuestas por ejercicios considerando distintos plazos temporales para la prevención/control de los incendios en el PNCM.

Ejercicio	Acción	Plazo
	• Delimitar zonas de amortiguamiento entre las áreas naturales,	
	zonas urbanas y rutas turísticas con tránsito alto o actividades	M
Planificación y	con alto impacto ecológico (rutas off-road, camping con	171
Gestión del	fogatas, tours en helicóptero).	
Territorio	• Diseñar y aplicar planes de ordenamiento territorial para	M
Territorio	limitar las actividades de riesgo en áreas propensas a incendios	171
	• Establecer corredores ecológicos que reduzcan la continuidad	EC
	de vegetación inflamable.	EC
	• Instalación de cámaras térmicas o sistemas de vigilancia	
	climática (estaciones meteorológicas) con actualización de la	С
Monitoreo y	información en tiempo real en puntos clave al interior de las	C
detección temprana	subzonas.	
detection temprana	• Promover la gestión para la provisión del equipo adecuado a	M
	los equipos de patrullaje.	1 V1
	• Patrullajes terrestres para identificar focos de riesgos.	EC

	Detección de vegetación seca y posible material combustible	С
	en áreas críticas al interior de las subzonas.	_
	• Establecimiento de corredores cortafuegos en áreas	
	estratégicas al interior de las subzonas para evitar la	C
	propagación del fuego.	
Manaia da	Realizar quemas prescritas en áreas controladas para reducir la	M
Manejo de combustibles	acumulación de material combustible.	1 V1
combustibles	• Establecer un plan de poda para árboles y arbustos con el fin	M
	de evitar la continuidad vertical del fuego.	M
	• Implementar programas de reforestación con especies menos	
	inflamables o adaptadas al ecosistema.	L
	Mantener un manejo continuo de la vegetación para evitar la	EG
	acumulación excesiva de combustible.	EC
	Capacitación de brigadas locales y equipos de emergencia en	
	técnicas de combate de incendios.	С
	• Promover la colaboración entre los comités de vigilancia	
Preparación y	participativa locales y los equipos técnicos de control de	EC
respuesta	siniestros.	
	• Asegurar el buen funcionamiento de los equipos y	
	herramientas para el control del fuego (mangueras, extintores,	EC
	vehículos, equipo de protección, etc.)	
	Facilitar/mejorar el acceso a las áreas críticas con caminos y	
Infraestructura	brechas cortafuegos.	С
Preventiva	• Construir depósitos de agua estratégicos y puntos de	3.6
	abastecimiento para equipos de extinción.	M
	Restaurar áreas afectadas por incendios con técnicas de	
D	reforestación y manejo de suelos, obedeciendo el proceso de	EC
Restauración Post-	sucesión ecológica.	
Incendio	Promover la regeneración natural de ecosistemas con especies	EC
	nativas resistentes al fuego.	EC
Educación y	• Campañas informativas para las comunidades locales y	
concientización	población visitante sobre prevención de incendios.	С

	Señalética en áreas de alto riesgo o de tránsito turístico	C
	 recurrente para recordar normas de seguridad. Desarrollar programas escolares y comunitarios sobre prevención de incendios. 	M
	 Promover la difusión del conocimiento sobre las acciones y cambios en las normativas a razón de la prevención de incendios en la región. 	M
	Organizar simulacros y ejercicios de respuesta ante emergencias.	EC
	Desarrollar estudios sobre el comportamiento del fuego en los diferentes tipos de vegetación de la zona.	M
Investigación y Tecnología	 Determinar las acciones turísticas con mayor impacto para la ocurrencia de incendios (fogatas, cigarrillos encendidos, vehículos todoterreno, etc.) 	M
	• Implementar tecnologías avanzadas, como drones y sensores remotos, para mejorar la detección y monitoreo de incendios.	L
	Promover la creación de normativas y leyes que regulen actividades de riesgo (quemas agrícolas, uso de fuego en áreas recreativas, etc.) tanto de los habitantes al interior de la región	L
Políticas Públicas	como de los visitantes.	
	 Establecer fondos y programas de financiamiento para la prevención y combate de incendios. 	L

DISCUSIÓN

Innovación metodológica

Correspondiendo a las necesidades para la predicción y prevención temprana ante la ocurrencia de incendios en las regiones naturales del planeta, se han propuesto múltiples metodologías para lograr este mismo objetivo, desde modelos simples que incorporan y sintetizan las perspectivas únicas de expertos como la Toma de Decisiones de Análisis Multicriterio (MCDM, por su siglas en inglés) (Eskarandi *et al.*, 2015); arquetipos estadísticos sencillos, como Regresiones Logísticas o Multinomiales (Thai Pham *et al.*, 2020); hasta algoritmos más complejos que incluyen métodos de Aprendizaje Autónomo de Máquinas (*Machine Learning*) como Redes Neuronales (Barmpoutis *et al.*, 2020), Máquinas de Vectores Soporte (SVM) (Özbayoglu y Bozer, 2012), Lógica Difusa (*Neuro-fuzzy*) (Thai Pham *et al.*, 2020), Redes Bayesianas (Thai Pham *et al.*, 2020), Bosques Aleatorios (Arkin *et al.*, 2019), entre otros (Abid, 2021; Preeti *et al.*, 2021).

Sin embargo, la aplicación no integrativa de todos estos modelos en uno mismo muchas veces solo logra resaltar las deficiencias individuales de cada arquetipo (Nguyen *et al.*, 2021; Kondylatos *et al.*, 2022; Xie *et al.*, 2022), aún más al ser aplicados en rangos temporales distintos a pesar de enfocarse en la misma región geográfica, esto como resultado de la disponibilidad variable de datos en el análisis del fenómeno de incendios, específicamente.

La presente investigación logra cubrir esta inconveniencia metodológica mediante la construcción de metamodelos que integran múltiples algoritmos de Machine Learning para la evaluación y predicción de la ocurrencia de incendios para cada año. Estos metamodelos incluyen simultáneamente los algoritmos de Regresión Logística Estándar, Árbol de Decisión, Máquinas de Vectores Soporte (SVM), K-Vecinos Cercanos (KNN), Regresión Multinomial, Bosques Aleatorios (RF) y Refuerzo de Gradientes Extremo (XGBoost), lo que permite la creación de modelos de clasificación altamente especializados.

Con el fin de predecir/clasificar de manera lógica y apropiada aquellas regiones con alta susceptibilidad ante la ocurrencia de incendios, se deben seleccionar con rigor los predictores que fungirán como las variables explicativas para el modelo entrenado. En la mayoría de los casos esta selección es empírica, donde los investigadores argumentan la información predictora que hayan recopilada únicamente con una base en estudios y documentos científicos de otros terceros. Lo anterior, tan solo provoca que se minimicen las posibilidades de un análisis correcto sobre lo que se supone que influye en la ocurrencia de siniestros; no admite la inclusión de predictores nuevos distintos y la examinación de los posibles efectos sobre ello.

Para lograr el objetivo de analizar la ocurrencia de incendios en cualquier región, se consideran frecuentemente los factores físicos del terreno (climatología, topografía e hidrología) (Jain *et al.*, 2020; Malik *et al.*, 2021; Prapas *et al.*, 2021; Xie *et al.*, 2022) y los factores biológicos (tipo de combustible, cantidad de combustible, tipo de vegetación, uso del suelo).

Aun así, son escasos los estudios que incorporan información predictora de carácter demográfico (Kondylatos *et al.*, 2022), es decir, se desentiende la posibilidad de impacto del ser humano sobre la ocurrencia de incendios en regiones naturales. Lo cual, para el tiempo donde fue establecido el presente estudio, atribuiría un sesgo considerable para definir conclusiones o, más importante aún, para la propuesta de métodos óptimos para la prevención y control de siniestros, pues es imposible separar los atributos antropogénicos que se encuentran incluidos e interactúan con el paisaje (Likens, 1991; Western, 2001).

Por lo tanto, resultante de la adición de este tipo de predictores demográficos para el entrenamiento de los modelos, un hallazgo clave del estudio es la identificación de la dinámica temporal de importancia de los predictores específicos a lo largo de los años. En los primeros años del análisis, específicamente en 2013 y 2014, se observó que factores climáticos y topográficos como la proximidad a cuerpos hídricos y la elevación jugaban un papel predominante en la ocurrencia de incendios. No obstante, a partir de 2016, los predictores demográficos, como la proximidad a rutas de turismo y localidades, comenzaron a tener un mayor impacto. Este cambio refleja cómo la interacción entre los factores naturales y humanos se vuelve cada vez más relevante en la dinámica de

incendios, destacando la necesidad de considerar tanto elementos ecológicos como sociales en la planificación de estrategias de prevención.

Precisión de los resultados

Los metamodelos desarrollados permiten una categorización precisa del riesgo de incendios en el Parque Nacional "Cumbres de Monterrey" con una exactitud predictiva que varía según el año, alcanzando un 91.30% en su mejor desempeño en 2019. Estos resultados permiten identificar con precisión zonas de alta vulnerabilidad, lo que facilita la implementación de estrategias de prevención y respuesta.

Sin embargo, se ve necesario mencionar que la exactitud del modelo fluctúa entre los distintos años, con una reducción en 2020 y 2021 (73.77% y 77.90%, respectivamente). Estas variaciones podrían ser reflejo de los cambios en la calidad y cantidad de datos disponibles, como la escasez de registros de incendios en ciertos años (por ejemplo en 2015, 2017 y 2018), lo que sugiere la necesidad de una mejora continua en la calidad de los datos de entrenamiento y en la sintonización de los hiperparámetros de los modelos (Preeti *et al.*, 2021), pues altera la capacidad de los modelos para generar predicciones robustas dependiendo de su complejidad inherente (Brigato y Iocchi, 2021). Aun así, el uso de técnicas avanzadas como la validación cruzada *k-fold* y la selección de características basadas en permutaciones asegura que los modelos se ajusten de manera adecuada a las dinámicas de incendios de la región (Tzu-Tsung y Po-Yang, 2020).

Propuestas de prevención y control

El estudio igualmente ofrece propuestas concretas para la prevención y control de incendios. Las estrategias están alineadas con protocolos nacionales como el Programa de Manejo del Fuego (SCMF, 2017), el Programa Nacional de Protección contra Incendios Forestales (SEMARNAT, 2008), el Programa de Protección Civil para Incendios Forestales (SSC, 2014), y el Protocolo para la Atención de Incendios Forestales en el Suelo de Conservación de la Ciudad de México (SEDEMA, 2019); además de protocolos internacionales como la Guía Técnica en Prevención y Control de Incendios Forestales (Bonilla, 2001), el proyecto de Fortalecimiento Institucional de la ANAM en el Manejo Integrado del Fuego en los Bosques Tropicales de Panamá (Ministerio de Ambiente,

2015), el Manual de Entrenamiento en: Prevención y Control de Incendios Forestales/Zonas Silvestres para el Manejo Sostenible de los Bosques (Tadesse y Seboko, 2013), y las Pautas para la Prevención y Supresión de Incendios Forestales para Actividades Industriales (Bailey, 2001). Estas recomendaciones están dirigidas tanto a la fase previa, durante y posterior a la ocurrencia de incendios, además de su categorización por alcance y posibilidad de éxito en el tiempo, proporcionando un marco integral para la gestión de incendios en áreas vulnerables.

Se hace especial énfasis en la aplicación de estas estrategias en zonas que el modelo identifica como de alta o moderadamente alta vulnerabilidad, asegurando que los recursos se enfoquen en los sitios de mayor riesgo (SEMARNAT, 2008; Tadesse y Seboko, 2013; SCMF, 2017). Esto incluye la creación de planes de contingencia, la capacitación de personal para la respuesta rápida a incendios y la implementación de barreras naturales o artificiales que impidan la propagación de las llamas.

CONCLUSIÓN

Como fundamento del cumplimiento de los objetivos determinados para el presente proyecto se demuestra, primordialmente, la posibilidad de caracterizar el territorio del Parque Nacional "Cumbres de Monterrey" (PNCM) a través de la evaluación del riesgo de incendios empleando metamodelos de aprendizaje autónomos, por lo cual, posibilita el establecimiento y promoción de estrategias más adecuadas y específicas para la prevención y/o control de siniestros.

Se manifiesta de lo anterior, además, la dinámica temporal y geoespacial de las zonas vulnerables en las diez temporadas de incendios desde el año 2013 hasta 2022 al interior del PNCM, reiterando la necesidad de mantener un enfoque integrador en cuanto a las variables y cantidad de arquetipos de clasificación para el establecimiento de las subzonificaciones si se plantea la replicación de la metodología presentada en el estudio.

Resalta el impacto del factor humano ante la generación de incendios inclusive sobre los demás predictores para los últimos años analizados, por lo cual, se exhorta la inclusión de mediciones demográficas en este tipo de análisis de riesgos, ya que resulta incorrecto, para este punto de la historia, ignorar los efectos de la presencia humana en cualquier región del mundo sobre el ecosistema y sus componentes.

Referente a los métodos de obtención de las clasificaciones, se destaca, primeramente, la necesidad de definir de manera coherente las dimensiones temporales-espaciales fijadas para cualquier estudio con base a su propio objetivo, pues esto asegura la correcta recopilación de la información predictora para el entrenamiento de los modelos; por segundo, la integración de suficientes modelos de clasificación -e iteraciones de estos mismos- para incrementar la precisión de las clasificaciones; y, por tercero, la confección de esquemas de análisis de los resultados de manera rigurosa, facilitando la interpretación de estos mismos sin subjetividades

Adicionando, las propuestas establecidas para el control/prevención de incendios en las subzonas de alta prioridad fueron definidas considerando la elasticidad de las limitantes legales, metodológicas y temporales que puedan incidir sobre los cuerpos de trabajo del parque, de las localidades y de las autoridades correspondientes. Aun así, no

dejan de ser solamente recomendaciones, por lo cual se exhorta de igual manera la atención y difusión de estas actividades ante los organismos interesados con la finalidad de asegurar la protección de los componentes físicos, naturales y demográficos al interior del PNCM.

Finalmente, la metodología del presente estudio puede establecerse como un avance en pro de la innovación tecnológica para afrontar la problemática de los incendios en las regiones naturales de la República Mexicana. De manera simultánea, la investigación busca impulsar el empleo de los sistemas de información geográfica (SIG), el análisis espacial en tiempo real, y los métodos de aprendizaje autónomo (*Machine Learning*), que en los últimos años han demostrado ser herramientas útiles para la planeación estratégica para el control de distintas problemáticas ambientales.

PERSPECTIVAS

Uno de los objetivos del proyecto -aunque indirectamente- es el impulso del uso de las nuevas tecnologías emergentes de la época como lo son los sistemas de información geográfica (SIG) y métodos de inteligencia artificial (IA) para afrontar problemáticas ambientales, de manera que, se describe una metodología novedosa para la determinación de zonas susceptibles a incendios en el territorio delimitado por el Parque Nacional "Cumbres de Monterrey", ubicado en su mayoría en el estado de Nuevo León, México.

A pesar de los avances logrados a través de esta investigación, existen limitaciones que deben considerarse. Primero, la escasez de datos en algunos años limita la capacidad del modelo para generalizar sus predicciones a largo plazo. En segundo lugar, la alta variabilidad de los resultados entre diferentes años sugiere que otros factores, no considerados en el estudio, podrían estar influyendo en la ocurrencia de incendios, ya sea, cambios en el uso de la tierra, prácticas agrícolas o eventos climáticos extremos como huracanes podrían tener un impacto significativo.

Otra limitación es la resolución espacial de algunos de los datos, ya que, en ocasiones, los modelos requieren información con mayor detalle para generar predicciones precisas en escalas locales. Para mejorar en este aspecto, futuros estudios podrían integrar datos satelitales de mayor resolución y realizar simulaciones más detalladas del comportamiento del fuego en diferentes escenarios.

Lo anterior da cabida a nuevas investigaciones que tengan un enfoque similar, además de proporcionar la información y herramientas para establecer o adaptar estrategias adecuadas para el control/prevención de siniestros en la región.

Se incita al estudio a detalle los procedimientos de la investigación para la búsqueda de áreas de mejora y su replicación fuera del área de estudio. Esto asegurará y permitirá seguir adaptando el método a provincias específicas y desarrollar protocolos para la protección y conservación de los recursos naturales de la república o del mundo.

BIBLIOGRAFÍA

- Abid, F. (2021). A Survey of Machine Learning Algorithms Based Forest Fires Prediction and Detection Systems. *Fire Technology* 57, 559 590. https://doi.org/10.1007/s10694-020-01056-z
- Aguirre-Calderón, O.; Jiménez-Pérez, J.; Alanís-Rodríguez, E. y Yerena-Yamallel, Y. (2013). Manejo Forestal. En: Cantú-Ayala *et al.* [Eds.], *Historia Natural del Parque Nacional Cumbres de Monterrey, México* (Pp. 275 286). México: UANL-CONANP.
- Alanís-Flores, G. y Velazco-Macías, C. (2013). Tipos de Vegetación. En: Cantú-Ayala *et al*. [Eds.], *Historia Natural del Parque Nacional Cumbres de Monterrey, México* (Pp. 117 126). México: UANL-CONANP.
- Arkin, J.; N. C., Coops; Hermosilla, T.; Daniels, L. D. y Plowright, A. (2019). Integrated Fire Severity-Land Cover Mapping using Very-High-Spatial-Resolution Aerial Imagery and Point Clouds. *International Journal of Wildland Fire*. 28(11), 840 860. https://doi.org/10.1071/WF19008
- Bailey, R. P. (2001). Forest Fire Prevention and Suppression Guidelines for Industrial Activities. Canadá: Gobierno de los Territorios del Noroeste.
- Barmpoutis, P.; Stathaki, T.; Dimitropoulos, K. y Grammalidis, N. (2020). Early Fire Detection based on Aerial 360-Degree Sensors, Deep Convolution Neural Networks and Exploitations of Fire Dynamic Textures. *Remote Sensing* 12(19), 3177. https://doi.org/10.3390/rs12193177
- Bax, B. y Francesconi, W. (2018). Environmental Predictors of Forest Change: An Analysis of Natural Predisposition to Deforestation in the Tropical Andes Region, Peru. *Applied Geography* 91, 99 110. https://doi.org/10.1016/j.apgeog.2018.01.002
- Bonilla, R. J. (2001). *Guía Técnica en Prevención y Control de Incendios Forestales*. Guatemala: PROPETEN Conservación Internacional, C. A.
- Brigato, L y Iocchi, L. (2021). A Close Look at Deep Learning with Small Data. 2020 25th

 International Conference on Pattern Recognition (ICPR).

 https://doi.org/10.1109/ICPR48806.2021.9412492

- Cantú-Ayala, C.; García-Jiménez, J.; Murguía-Romero, M.; Leal-Lozano, L.; Chapa-Vargas, L.; González-Uribe, D.; Aragón-Palacios, J.; Nájera-Sánchez, R.; González-Saldivar, F.; Marmolejo-Moncivais, J.; Uvalle-Sauceda, J. y Hinojosa-Torres, P. (2013). Percepción Social sobre los Servicios Ambientales. En: Cantú-Ayala *et al.* [Eds.], *Historia Natural del Parque Nacional Cumbres de Monterrey, México* (Pp. 261 273). México: UANL-CONANP.
- Cantú-Ayala, C.; González, F.; Marmolejo, J. y Uvalle, J. (2010). Paisaje y Aspectos Turísticos. En: Cantú-Ayala *et al.* [Eds.], *Biodiversidad y Conservación del Monumento Natural Cerro de La Silla, México* (Pp. 106 133). México: UANL-CONABIO-CONANP.
- Castillo, M.; Pedernera, P. y Peña, E. (2003). Incendios Forestales y Medio ambiente: una Síntesis Global. *Revista Ambiente y Desarrollo* 19(3-4), 44 53.
- CBD. Convenio sobre la Diversidad Biológica. (2022). *Decisión Adoptada por la Conferencia de las Partes en el Convenio sobre la Diversidad Biológica*. [Consultado el 18 de febrero de 2024]. https://www.cbd.int/doc/decisions/cop-15/cop-15-dec-04-es.pdf
- Cerca-Martínez, M; Ferrari, L.; Chávez Cabello, G y Calmus, T. (2004). La Deformación Laramide en México: Una Evolución Geológica no Resuelta. *GEOS* 24(2), 306. https://www.ugm.org.mx/publicaciones/geos/pdf/geos04-2/sesiones_especiales/SE04.pdf
- Chong, G. y Medina-Viezca, B. (2019). Especies Exóticas Invasoras Amenazan al Parque Nacional Cumbres de Monterrey. *UANL Noticias: Sustentabilidad*. [Consultado el 23 de octubre de 2024]. https://www.uanl.mx/noticias/especies-exoticas-invasoras-amenazan-al-parque-nacional-cumbres-de-monterrey/
- Chuvieco, E. y Congalton, R. G. (1989). Application of Remote Sensing and Geographic Information Systems to Forest Fire Hazard Mapping. *Remote Sensing of Environment* 29, 147 159. https://doi.org/10.1016/0034-4257(89)90023-0
- Código Penal Estatal para el Estado de Nuevo León [CPEENL]. Artículo 446. 20 de noviembre de 2020 (México).

- Código Penal Estatal para el Estado de Nuevo León [CPEENL]. Artículo 446 Bis. 17 de marzo de 2023 (México).
- Código Penal Federal [CPF]. Artículo 420 Bis. 06 de febrero de 2002 (México).
- CONABIO. Comisión Nacional para el Conocimiento y Uso de la Biodiversidad. (1998). Carta de Climatología, escala 1:1,000,000. [Consultado el 03 de septiembre de 2023]. http://geoportal.conabio.gob.mx/metadatos/doc/html/clima1mgw.html
- CONAFOR. (2024). Sistema de Predicción de Peligro de Incendios Forestales (SPPIF). [Consultado el 03 de septiembre de 2023]. http://forestales.ujed.mx/incendios2/
- CONANP. Comisión Nacional de Áreas Naturales Protegidas. (2011). *Parque Nacional Cumbres de Majalca. Programa de Manejo*. [Consultado el 03 de septiembre de 2023]. https://www.conanp.gob.mx/rendicion_cuentas/pdf/pdf_rendicion_cuentas/PROG%2 0DE%20MANEJO%20PNCM%201.pdf
- CONANP. Comisión Nacional de Áreas Naturales Protegidas. (2020). Parque Nacional Cumbres de Monterrey. Borrador Programa de Manejo. [Consultado el 03 de septiembre de 2023]. https://www.conanp.gob.mx/anp/consulta/Borrador%20PM%20PN%20Cumbres%20 Mty%20para%20Consulta%20P%C3%BAblica%202020.pdf
- Conedera, M.; Torriani, D.; Neff, C.; Ricotta, C.; Bajocco, S. y Boris-Pezzatti, G. (2011). Using Monte Carlo simulations to estimate relative fire ignition danger in a low-to-medium fire-prone region. *Forest Ecology and Management* 261(12), 2179 2187. https://doi.org/10.1016/j.foreco.2010.08.013
- DOF. Diario Oficial de la Federación (1939). Decreto que declara Parque Nacional "Cumbres de Monterrey", los terrenos que rodean a dicha población. México: DOF 24/11/1939. [Consultado el 11 de febrero de 2024]. https://www.dof.gob.mx/nota_to_imagen_fs.php?codnota=4495669&fecha=24/11/19 39&cod diario=191064
- DOF. Diario Oficial de la Federación. (2000). Decreto por el que se declara área natural protegida, con el carácter de parque nacional, la región conocida con el nombre de

- Cumbres de Monterrey, ubicada en los municipios de Allende, García, Montemorelos, Monterrey, Rayones, Santa Catarina, Santiago y San Pedro Garza García, Estado de Nuevo León. México: DOF 17/11/2000. [Consultado el 11 de febrero de 2024]. https://dof.gob.mx/nota_detalle.php?codigo=2063788&fecha=17/11/2000#gsc.tab=0
- Eguiluz de Antuaño, S.; Aranda García, M. y Marrett. R. (2000). Tectónica de la Sierra Madrea Oriental, México. *Boletín de la Sociedad Geológica Mexicana* 53, 1 26. https://doi.org/10.18268/bsgm2000v53n1a1
- Eguiluz de Antuñano, S. (2004). Tectónica Laramide en la Cuenca de Burgos, México. GEOS 24(2), 307 – 308. https://www.ugm.org.mx/publicaciones/geos/pdf/geos04-2/sesiones especiales/SE04.pdf
- Eskarandi, S.; Oladi Ghadikolaei, J.; Jalilvand, H. y Reza Saradjian, M. (2015). Prediction of Future Forest Fires using the MCDM Method. *Polish Journal of Environmental Studies* 24(5), 2309 2314.
- Esparza-Hernández, L. G. (2014). Estudio del manejo y Conservación del Parque Nacional Cumbres de Monterrey (PNCM), según Decreto del 2000 bajo un Enfoque de Desarrollo Sustentable basado en la Participación Ciudadana. [Tesis doctorado]. Instituto de Investigaciones Sociales, Universidad Autónoma de Nuevo León.
- Estrada-Castillón, E.; Villareal-Quintanilla, J. A. y Salinas-Rodríguez, M. M. (2013). Angiospermas. En: Cantú-Ayala *et al.* [Eds.], *Historia Natural del Parque Nacional Cumbres de Monterrey, México* (Pp. 41 51). México: UANL-CONANP.
- Favela-Lara, S. (2013). Gimnospermas. En: Cantú-Ayala *et al.* [Eds.], *Historia Natural del Parque Nacional Cumbres de Monterrey, México* (Pp. 175 186). México: UANL-CONANP.
- Ferrari, L.; Valencia-Moreno, M. y Bryan, S. (2005). Magmatismo y tectónica en la Sierra Madre Occidental y su relación con la evolución de la margen occidental de Norteamérica. *Boletín de la Sociedad Geológica Mexicana* 58(3), 343 378. https://doi.org/10.18268/bsgm2005v57n3a5

- Fueyo-Mac Donald, L. (2013). Las Áreas Naturales Protegidas en México y el Parque Nacional Cumbres de Monterrey. En: Cantú-Ayala *et al.* [Eds.], *Historia Natural del Parque Nacional Cumbres de Monterrey, México* (Pp. 37 40). México: UANL-CONANP.
- García-Salas, J. A.; Contreras-Balderas, A.; Ortega-Pimienta, J.; Castillo-Hernández, J.; López-Villareal, A.; Ballesteros-Medrano, O.; González-Páez, H.; Banda-Villanueva, I.; García-Hernández, J.; Torres-Ayala, J.; Contreras-Lozano, J.; Correa-Nieto, J.; Chávez-Cisneros, J.; Narváez-Torres, S.; Salinas-Camarena, M. y Borré-González, D. (2013). Aves. En: Cantú-Ayala et al. [Eds.], Historia Natural del Parque Nacional Cumbres de Monterrey, México (Pp. 221 235). México: UANL-CONANP.
- Gobierno de Nuevo León. (2023a). Evita incendios en nuestras montañas y bosques. [Consultado el 19 de febrero de 2024]. https://www.nl.gob.mx/evita-incendios-forestales.
- Gobierno de Nuevo León. (2023b). Refuerzan Estado y Federación Coordinación para Combatir Incendios Forestales. [Consultado el 19 de febrero de 2024]. https://www.nl.gob.mx/boletines-comunicados-y-avisos/refuerzan-estado-y-federacion-coordinacion-para-combatir-incendios
- González-Saldivar, F.; Uvalle-Sauceda, J.; Avendaño, J. y Niño-Ramírez, A. (2013). Mamíferos. En: Cantú-Ayala *et al.* [Eds.], *Historia Natural del Parque Nacional Cumbres de Monterrey, México* (Pp. 237 251). México: UANL-CONANP.
- Hong, H.; Tsangaratos, P.; Ilia, I.; Liu, J.; Zhu, A. X. y Xu, C. (2018). Applying Genetic Algorithms to set the Optimal Combination of Forest Fire Related Variables and Model Forest Fire Susceptibility Based on Data Mining Models. The case of Dayu County, China. *Science of the Total Environment* 630, 1044 1056. https://doi.org/10.1016/j.scitotenv.2018.02.278
- INEGI. Instituto Nacional de Estadística y Geografía. (2021). *Marco Geoestadístico, diciembre 2021*. [Consultado el 03 de septiembre de 2023]. https://www.inegi.org.mx/app/biblioteca/ficha.html?upc=889463849568

- Jacques Ayala, C. (2004). The Laramide in Northern Sonora: Timing and Basin Evolution. *GEOS* 24(2), 306. https://www.ugm.org.mx/publicaciones/geos/pdf/geos04-2/sesiones_especiales/SE04.pdf
- Jain, P.; Coogan, S. C. P.; Ganapathi Subramanian, S.; Crowley, M.; Taylor, S. y Flanningan, M. D. (2020). A Review of Machine Learning Applications in Wildfire Science and Management. *Environmental Reviews* 28(4). https://cdnsciencepub.com/doi/full/10.1139/er-2020-0019
- Jiménez-Pérez, J.; Aguirre-Calderón, O.; Yerena-Yamallel, I. y Alanís-Rodríguez, E. (2013). Cambio Climático. En: Cantú-Ayala *et al.* [Eds.], *Historia Natural del Parque Nacional Cumbres de Monterrey, México* (Pp. 325 334). México: UANL-CONANP.
- Kondylatos, S.; Prapas, I.; Ronco, M.; Papoutsis, I.; Camps-Valls, G.; Piles, M.; Fernández-Torres, M. A. y Carvalhais, N. (2022). Wildfire Danger Prediction and Understanding with Deep Learning. *Geophysical Research Letters* 49(17), e2022GL099368. https://doi.org/10.1029/2022GL099368
- Likens, G. E. (1991). Some Consequences of Long-Term Human Impacts on Ecosystems.

 Revista Chilena de Historia Natural 64, 597 614.

 https://rchn.biologiachile.cl/pdfs/1991/3/Likens 1991.pdf
- Lozano-Vilano, M.; García-Ramírez, M. y Espinoza-Narváez, M. (2013). Peces. En: Cantú-Ayala *et al.* [Eds.], *Historia Natural del Parque Nacional Cumbres de Monterrey, México* (Pp. 195 206). México: UANL-CONANP.
- Marmolejo-Moncivais, J.; Valenzuela-Garza, R.; Garza-Ocañas, F. y García-Jiménez, J. (2013). Micobiota. En: Cantú-Ayala *et al.* [Eds.], *Historia Natural del Parque Nacional Cumbres de Monterrey, México* (Pp. 127 132). México: UANL-CONANP.
- Ministerio de Ambiente. (2015). Fortalecimiento Institucional de la ANAM en el Manejo Integrado del Fuego en los Bosques Tropicales de Panamá. [Consultado el 12 de febrero de 2024]. http://www.itto.int/files/itto_project_db_input/2902/Technical/PROTOCOLO%20AC TUACION.pdf

- Mohajane, M.; Costache, R.; Karimi, F.; Bao-Pham, Q.; Essahlaoui, A.; Nguyen, H.; Laneve, G. y Oudija, F. (2021). Application of Remote Sensing and Machine Learning Algorithms for Forest Fire Mapping in a Mediterranean Area. *Ecological Indicators* 129, 107869. https://doi.org/10.1016/j.ecolind.2021.107869
- Narváez-Torres, S. y Lazcano-Villareal, D. (2013). Anfibios y reptiles. En: Cantú-Ayala *et al.* [Eds.], *Historia Natural del Parque Nacional Cumbres de Monterrey, México* (Pp. 207 220). México: UANL-CONANP.
- NASA. National Aeronautics and Space Administration. (2000). *Shuttle Radar Topography Mission (SRTM)*. [Consultado el 03 de septiembre de 2023]. https://www.earthdata.nasa.gov/sensors/srtm
- NASA. National Aeronautics and Space Administration. (2024). *NASA's Fire Information for Resource Management System (FIRMS)*. [Consultado el 03 de septiembre de 2023]. https://earthdata.nasa.gov/firms
- Nguyen, P. T.; Di Rocco, J.; Lovino, L.; Di Ruscio, D. y Pierantonio, A. (2021). Evaluation of a Machine Learning Classifier for Metamodels. *Software and Systems Modeling* 20, 1797 1821. https://doi.org/10.1007/s10270-021-00913-x
- Ortiz-Hernández, S. E. (2015). Efectos de la Ganadería en un Bosque de Pino del Parque Nacional Cumbres de Monterrey, México. [Tesis doctoral]. Facultad de Ciencias Forestales, Universidad Autónoma de Nuevo León.
- Ortiz-Hernández, S.; Cantú-Ayala, C.; Uvalle-Sauceda, J. y González-Saldivar, F. (2013). Actividades Pecuarias. En: Cantú-Ayala *et al.* [Eds.], *Historia Natural del Parque Nacional Cumbres de Monterrey, México* (Pp. 287 295). México: UANL-CONANP.
- Ortiz-Morales, K. L. (2022). Análisis de Riesgo e Impacto de los Mamíferos Exóticos en el Parque Nacional Cumbres de Monterrey en el Municipio de Santiago, Nuevo León, México. [Tesis maestría]. Facultad de Ciencias Biológicas, Universidad Autónoma de Nuevo León.

- Özbayoglu, A. M. y Bozer, R. (2012). Estimation of the Burned Area in forest Fires using Computational Intelligence Techniques. *Procedia Computer Science*. 12, 282 287. https://doi.org/10.1016/j.procs.2012.09.070
- Pérez-Ortiz, J. (2013). Hidrología y Geohidrología. En: Cantú-Ayala *et al*. [Eds.], *Historia Natural del Parque Nacional Cumbres de Monterrey, México* (Pp. 89 98). México: UANL-CONANP.
- Prapas, I.; Kondylatos, S.; Camps-Valls, G.; Ronco, M.; Fernández-Torres, M. A.; Piles Guillem, M. y Carvalhais, N. (2021). Deep Learning Methods for Daily Wildfire Danger Forecasting. *Atmosphere* 12(1), 109. https://doi.org/10.3390/atmos12010109
- Preeti, T.; Kanakaraddi, S.; Beelagi, A.; Malagi, S. y Sudi, A. (2021). Forest Fire Prediction using Machine Learning Techniques. 2021 International Conference on Intelligent Technologies (CONIT) 2021, 1 6. https://doi.org/10.1109/CONIT51480.2021.9498448
- Quiroz-Martínez, H.; Rodríguez-Castro, V.; Siller-Aguillón, I.; Zepeda-Cavazos, I. y Alanís-Rodríguez, E. (2013). Insectos. En: Cantú-Ayala *et al*. [Eds.], *Historia Natural del Parque Nacional Cumbres de Monterrey, México* (Pp. 187 194). México: UANL-CONANP.
- Rodríguez Castañeda, J. L. (2004). Levantamientos Verticales Diferenciales: Una Explicación a la Evolución Estructural del Norte de Sonora durante el Cretácico Tardío y Terciario. *GEOS* 24(2), 307. https://www.ugm.org.mx/publicaciones/geos/pdf/geos04-2/sesiones_especiales/SE04.pdf
- Rodríguez-Almaraz, G.; Ortega-Vidales, V. y Treviño-Flores, J. (2013). Crustáceos. En: Cantú-Ayala *et al.* [Eds.], *Historia Natural del Parque Nacional Cumbres de Monterrey, México* (Pp. 161 174). México: UANL-CONANP.
- Rubio-Cano, R. A. (2021). Parque Nacional Cumbres de Monterrey, padece el más grande incendio de su historia. *Demócrata Norte de México*. [Consultado el 23 de octubre de 2024]. https://democratanortedemexico.com/2021/03/27/parque-nacional-cumbres-de-monterrey-padece-el-mas-grande-incendio-de-su-historia/

- Saldívar, A.; Olivera, S. M.; Isidro, A. (2013). Valoración y Demanda del Servicio Ambiental Hidrológico en el Parque Nacional Cumbres de Monterrey. Natura@economía 1(2), 9 – 28.
- Sandoval-García, R.; Jiménez-Pérez, J.; Yerena-Yamallel, J. I.; Aguirre-Calderón, O. A.; Alanís-Rodríguez, E. y Gómez-Meza, M. V. (2021). Análisis Multitemporal del Uso del Suelo y Vegetación en el Parque Nacional Cumbres de Monterrey. *Revista Mexicana de Ciencias Forestales* 12(66), 70 95. https://doi.org/10.29298/rmcf.v12i66.896
- SCMF. Sociedad de Consultores en Manejo del Fuego. (2017). Programa de Manejo del Fuego. Parque Nacional Cumbres de Monterrey. México: CONANP.
- SEDEMA. Secretaría del Medio Ambiente. (2019). *Protocolo para la Atención de Incendios Forestales en el Suelo de Conservación de la Ciudad de México*. [Consultado el 12 de febrero de 2024]. https://www.sedema.cdmx.gob.mx/storage/app/media/protocolo-de-incendiosforestales-1.pdf
- SEMARNAT. Secretaría de Medio Ambiente y Recursos Naturales. (2008). *Programa Nacional de Protección contra Incendios Forestales*. México: CONAFOR.
- Singh, K. R.; Neethu, K. P.; Madhurekaa, K.; Harita, A. y Mohan, P. (2021). Parallel SVM model for Forest Fire Prediction. *Soft Computing Letters* 3, 100014. https://doi.org/10.1016/j.socl.2021.100014
- Solís-Rojas, C. y Rojas-Malacara, R. (2013). Arácnidos. En: Cantú-Ayala *et al.* [Eds.], *Historia Natural del Parque Nacional Cumbres de Monterrey, México* (Pp. 175 186). México: UANL-CONANP.
- Solís-Rojas, C. y Rojas-Malacara, R. (2013). Arácnidos. En: Cantú-Ayala *et al.* [Eds.], *Historia Natural del Parque Nacional Cumbres de Monterrey, México* (Pp. 175 186). México: UANL-CONANP.
- SSC. Secretaría de Seguridad Ciudadana. (2014). *Programa de Protección Civil para Incendios Forestales*. [Consultado el 12 de febrero de 2024].

- https://www.proteccioncivil.gob.mx/work/models/ProteccionCivil/swbcalendario_Ele mentoSeccion/265/PPC 20INCENDIOS 202014.PDF
- Tadesse, E. y Seboko, B. (2013). *Training Manual on: Forest/Wildland Fire Prevention and Control for Sustainable Forest Management*. Ethiopia: Hawassa University.
- Thai Pham, B.; Jaafari, A.; Avand, M.; Al-Ansari, N.; Dinh Du, T.; Hai Yen, H. P.; Van Phong, T.; Huu Nguyen, D.; Van Le, H.; Mafi-Gholame, D.; Prakash, I.; Thi Thuy, H. y Thi Tuyen, T. (2020). Performance Evaluation of Machine Learning Methods for Forest Fire Modeling and Prediction. *Symmetry* 12(6), 1022. https://doi.org/10.3390/sym12061022
- Tzu-Tsung, W. y Po-Yang, Y. (2020). Reliable Accuracy Estimates from k-Fold Cross Validation. *IEEE Transactions on Knowledge and Data Engineering* 32(8), 1586 1594. https://doi.org/10.1109/TKDE.2019.2912815
- Uvalle-Sauceda, J.; Cantú-Ayala, C.; González-Saldivar, F. y Marmolejo-Moncivais, M. (2013). Climas. En: Cantú-Ayala *et al.* [Eds.], *Historia Natural del Parque Nacional Cumbres de Monterrey, México* (Pp. 41 51). México: UANL-CONANP.
- Western, D. (2001). Human-modified ecosystems and Future Evolution. Proceedings of the National Academy of Sciences of the United States of America 98(10), 5458 5465. https://doi.org/10.1073/pnas.101093598
- Xie, L.; Zhang, R.; Zhan, J.; Li, S.; Shama, A.; Zhan, R.; Wang, T.; Lv, J.; Bao, X. y Wu, R. (2022). Wildfire Risk Assessment in Liangshan Prefecture, China based on and Integration Machine Learning Algorithm. *Remote Sensing* 14(18), 4592. https://doi.org/10.3390/rs14184592

ANEXOS

Anexo 1

Listado florístico del Parque Nacional "Cumbres de Monterrey" y estatus respectivo por especie según la NOM-059-SEMARNAT-2010.

Familia	Especie	NOM-059
	Anisacanthus quadrifidus var. wrightii	
	Beloperone fulvicoma	
	Carlowrightia parviflora	
	Dyschoriste poliodes	
	Dyschoriste schiedeana var. schiedeana	
	Elytraria bromoides	
	Jacobinia incana	
Acanthaceae	Justicia pilosella	
	Justicia turneri	
	Miraea huastescensis	
	Ruellia corzoi	
	Ruellia malacosperma	
	Ruellia occidentalis	
	Ruellia parryi	
	Ruellia yucatana	
	Siphonoglossa canbyi	
	Tetramerium nervosum	
Aceraceae	Acer negundo	Pr
	Agave bracteosa	A
	Agave lecheguilla	11
	Agave striata	
	Agave victoriae-reginae	P
Agavaceae		Pr
Agavaceae	Dasylirion berlandieri	PT
	Dasylirion texanum	
	Hesperaloe funifera ssp. funifera	
	Nolina caespitifera	
	Yucca sp.	
	Amaranthus palmeri	
	Amaranthus spinosus	
	Amaranthus viridis	
Amaranthaceae	Froelichia arizonica	
	Iresine calea	
	Iresine orientalis	
	Iresine palmeri	
	Pistacia texana	
	Rhus allophylloides	
	Rhus aromatica	
	Rhus lanceolata	
	Rhus muelleri	
Anacardiaceae	Rhus pachyrrhachis	
Anacardiaceae	Rhus radicans	
	Rhus virens var. choriophylla	
	Rhus virens var. virens	
	Schmaltzia glabra	
	Toxicodendron radicans	
	Toxicodendron radicans ssp. divaricatum	
Anemiaceae	Anemia adiantifolia	
	Apium graveolens	
Apiaceae	Apium leptophyllum	
	Arracacia atropurpurea	

	Arracacia ternata	
	Cicuta maculata	
	Coriandrum sativum	
	Daucus carota	
	Daucus montanus	
	Daucus pusillus	
	Donnellsmithia ternata	
	Eryngium longifolium	
	Eryngium venustum	
	Prionosciadium humile	
	Sanicula canadensis	
	Sanicula liberta	
	Tauschia bicolor	Pr
	Torilis arvensis	
	Apocynum cannabinum	
Apocynaceae	Mandevilla foliosa	
Просупассас	Vinca major	
	Ilex braegeana	
Aquifoliaceae	Ilex rubra	
-	Arisaema dracontium	
Araceae		
	Xanthosoma sagittifolium	
	Aristolochia elegans	
	Asclepias angustifolia	
	Asclepias curassavica	
	Asclepias linaria	
	Asclepias oenotheroides	
	Asclepias similis	
	Asclepias subverticillata	
Asclepiadaceae	Asclepias tuberosa	
	Cynanchum kunthii	
	Cynanchum pringlei	
	Cynanchum racemosum	
	Cynoctonum mitreola	
	Marsdenia pringlei	
	Matelea reticulata	
	Sarcostemma torreyi	
	Asplenium resiliens	
Aspleniaceae	Phanerophlebia auriculata	
портенниеми	Phanerophlebia umbonata	
·	Scolopendrium scolopendrium	
	Achillea millefolium var. pacifica	
	Acmella repens	
	Ageratina calaminthifolia	
	Ageratina espinosarum var. subintegrifolia	
	Ageratina gypsophila	
	Ageratina havanensis	
	Ageratina herbacea	
	Ageratina nesomii	
	Ageratina petiolaris	
Asteraceae	Ageratina pichinchensis	
	Ageratina rollinsii	
	Ageratina saltillensis	
	Ageratina scorodonioides	
	Ageratina viburnoides	
	Ageratina wrightii	
	Ageratum corymbosum	
	Ambrosia artemisiifolia	
	Ambrosia confertiflora	
	_ Ambrosia psilostachya	

Aphanostephus ramosissimus var. ramosissimus

Artemisia ludoviciana

Aster ericoides

Astranthium integrifolium

Astranthium integrifolium var. triflorum

Baccharis bigelovii

Baccharis crassicuneata

Baccharis neglecta

Baccharis salicifolia

Baccharis salicina

Bahia absinthifolia var. dealbata

Bahia autumnalis

Bidens odorata

Brickellia coahuilensis

Brickellia eupatorioides var. chlorolepis

Brickellia grandiflora

Brickellia laciniata

Brickellia lemmonii

Brickellia lemmonii var. nelsonii

Brickellia secundiflora

Brickellia secundiflora var. parryi

Brickellia urolepis

Brickellia veronicifolia

Calea ternifolia var. calyculata

Calyptocarpus vialis

Carduus tenuiflorus

Centaurea americana

Chaetopappa bellioides

Chaptalia lyratifolia

Chaptalia texana

Chaptalia transiliens

Chromolaena odorata

Chromolaena turbinata

Chrysactinia mexicana

Chrysactinia pinnata

Chrysactinia truncata

Chrysanthemum leucanthemum

 $Chrysan the mum\ parthenium$

Chrysanthemum procumbens

Cirsium acrolepis

Cirsium pringlei

Cirsium texanum

Conoclinium betonicifolium var. integrifolium

Conyza canadensis var. canadensis

Cosmos bipinnatus

Cosmos crithmifolius

Dahlia coccinea

Dahlia tubulata

Dichaetophora campestris

Dyssodia greggii

Dyssodia papposa

Dyssodia pinnata

Dyssodia pinnata var. glabrescens

Erigeron basilobatus

Erigeron calcicola

Erigeron dryophyllus

Erigeron metrius

Erigeron veracruzensis

Evax multicaulis

Flaveria trinervia

Fleischmannia porphyranthema

Fleischmannia pycnocephala

Florestina triperis

Flourensia cernua

Flourensia monticola

Flyriella leonensis

Gaillardia mexicana

Gaillardia pulchella

Gnapahliopsis micropoides

Gnaphalium brachypterum

Gnaphalium elegans

Gnaphalium semiamplexicaule

Gochnatia hypoleuca

Greenmaniella resinosa

Grindelia greenmanii

Grindelia tenella

Gutierrezia ana var. glutinosa

Gutierrezia microcephala

Gutierrezia sarothrae

Gutierrezia texana var. texana

Gymnosperma glutinosa

Haploesthes greggii var. multiflora

Helenium elegans var. amphibolum

Helenium microcephalum var. ooclinium

Helianthus annuus

Helianthus hirsutus

Helianthus laciniatus

Heliopsis parvifolia

Heterotheca chrysopsidis

Heterotheca latifolia

Heterotheca mucronata

Heterotheca subaxillaris

Hieracium abscissum

Hieracium crepidispermum

Hieracium gypsophilum Hymenoxys linearifolia

Hymenoxys scaposa

Iva ambrosiifolia var. lobata

Jefea brevifolia

Koanophyllon longifolia

Koanophyllon reyrobinsonii

Lactuca ludoviciana

Lactuca sativa

Laennecia schiedeana

Laennecia sophiifolia

Machaeranthera pinnatifida

Machaeranthera scabrella

Machaeranthera tanacetifolia

Matricaria chamomilla

Melampodium divaricatum

Osbertia bartletti

Palafoxia texana

Parthenium confertum

Parthenium confertum

Parthenium hysterophorus

Peteravenia malvaefolia

Pinaropappus roseus Piqueria trinervia Pluchea carolinensis

Pluchea symphytifolia

Porophyllum amplexicaule

Porophyllum scoparium

Psacalium peltatum var. adenophorum

Pseudognaphalium austrotexanum

Pseudognaphalium brachypterum

Pseudognaphalium canescens

 $Pseudognaphalium\ roseum$

Pseudognaphalium viscosum

Psilactis tenuis

Psilostrophe gnaphalodes

Pyrrhopappus multicaulis

Pyrrhopappus pauciflorus

Ratibida columnifera

Roldana sundbergii

Rumfordia alcortae

Rumfordia exauriculata

Sanvitalia aberti

Sanvitalia ocymoides

Schkuhria pinnata var. guatemalensis

Sclerocarpus uniserialis

Sclerocarpus uniserialis var. frutescens

Senecio coahuilensis

Senecio leonensis

Senecio loratifolius

Senecio madrensis

Senecio montereyanus

Senecio platypus

Senecio richardsonii

Senecio salignus

Senecio sundbergii

Senecio tampicanus

Senecio vulgaris

Shinners var. pinnatifida

Simsia amplexicaulis

Simsia calva

Simsia eurylepis

Smallanthus maculatus

Smallanthus uvedalius

Solidago altissima

Solidago hintoniorum

Solidago juliae

Solidago pringlei

Sonchus oleraceus

Stephanomeria tenuifolia

Stevia berlandieri var. berlandieri

Stevia ovata

Stevia porphyrea

Stevia pyrolifolia

Stevia salicifolia var. salicifolia

Symphyotrichum carnerosanum

Symphyotrichum expansum

Tagetes lucida

Tamaulipa azurea

Taraxacum officinale

Tetraneuris linearifolia var. linearifolia

Tetraneuris scaposa var. scaposa

Thelesperma longipes

	Thelesperma megapotamicum var. megapotamicum
	Thelesperma subaequale
	Thymophylla pentachaeta var. pentachaeta
	Tridax coronopifolia
	Trixis inula
	Verbesina chihuahuensis
	Verbesina coahuilensis
	Verbesina daviesiae
	Verbesina encelioides
	Verbesina hypomalaca var. saltillensis
	Verbesina longipes
	Verbesina microptera
	Verbesina mollis
	Verbesina olsenii
	Verbesina persicifolia
	Verbesina zaragosana
	Vernonia greggii
	Vernonia greggii var. ervendergii
	Vigethia mexicana
	Viguiera adenophylla
	Viguiera cordifolia var. latisquama
	Viguiera dentata var. dentata
	Wedelia acapulcensis
	Wedelia acapulcensis var. hispida
	Wedelia ayerscottiana
	Wedelia hispida
	Zaluzania megacephala
	Zinnia peruviana
Balsaminaceae	Impatiens capensis
Basellaceae	Anredera vesicaria
Begoniaceae	Begonia uniflora
	Berberis eutriphylla
D 1 '1	Berberis gracilis
Berberidaceae	Berberis gracilis var. madrensis
	Berberis trifoliolata
Betulaceae	Ostrva virginiana ssp. virginiana Pr
	, , ,
Betulaceae Bignoniaceae	Chilopsis linearis var. tomenticaulis
	Chilopsis linearis var. tomenticaulis Tecoma stans Cordia boissieri
	Chilopsis linearis var. tomenticaulis Tecoma stans Cordia boissieri Cryptantha mexicana
	Chilopsis linearis vat. tomenticaulis Tecoma stans Cordia boissieri Cryptantha mexicana Ehretia anacua
	Chilopsis linearis vat. tomenticaulis Tecoma stans Cordia boissieri Cryptantha mexicana Ehretia anacua Heliotropium angiospermum
	Chilopsis linearis var. tomenticaulis Tecoma stans Cordia boissieri Cryptantha mexicana Ehretia anacua Heliotropium angiospermum Heliotropium calcicola
	Chilopsis linearis var. tomenticaulis Tecoma stans Cordia boissieri Cryptantha mexicana Ehretia anacua Heliotropium angiospermum Heliotropium calcicola Heliotropium confertifolium
	Chilopsis linearis var. tomenticaulis Tecoma stans Cordia boissieri Cryptantha mexicana Ehretia anacua Heliotropium angiospermum Heliotropium calcicola Heliotropium confertifolium Heliotropium fruticosum
	Chilopsis linearis var. tomenticaulis Tecoma stans Cordia boissieri Cryptantha mexicana Ehretia anacua Heliotropium angiospermum Heliotropium calcicola Heliotropium confertifolium Heliotropium fruticosum Heliotropium glabriusculum
	Chilopsis linearis var. tomenticaulis Tecoma stans Cordia boissieri Cryptantha mexicana Ehretia anacua Heliotropium angiospermum Heliotropium calcicola Heliotropium confertifolium Heliotropium fruticosum Heliotropium glabriusculum Heliotropium procumbens
Bignoniaceae	Chilopsis linearis var. tomenticaulis Tecoma stans Cordia boissieri Cryptantha mexicana Ehretia anacua Heliotropium angiospermum Heliotropium calcicola Heliotropium confertifolium Heliotropium fruticosum Heliotropium glabriusculum Heliotropium procumbens Heliotropium torreyi
	Chilopsis linearis var. tomenticaulis Tecoma stans Cordia boissieri Cryptantha mexicana Ehretia anacua Heliotropium angiospermum Heliotropium calcicola Heliotropium fruticosum Heliotropium glabriusculum Heliotropium procumbens Heliotropium torreyi Lithospermum calcicola
Bignoniaceae	Chilopsis linearis var. tomenticaulis Tecoma stans Cordia boissieri Cryptantha mexicana Ehretia anacua Heliotropium angiospermum Heliotropium calcicola Heliotropium fruticosum Heliotropium glabriusculum Heliotropium procumbens Heliotropium torreyi Lithospermum calycosum
Bignoniaceae	Chilopsis linearis var. tomenticaulis Tecoma stans Cordia boissieri Cryptantha mexicana Ehretia anacua Heliotropium angiospermum Heliotropium calcicola Heliotropium fruticosum Heliotropium glabriusculum Heliotropium procumbens Heliotropium torreyi Lithospermum calycosum Lithospermum distichum
Bignoniaceae	Chilopsis linearis var. tomenticaulis Tecoma stans Cordia boissieri Cryptantha mexicana Ehretia anacua Heliotropium angiospermum Heliotropium calcicola Heliotropium fruticosum Heliotropium glabriusculum Heliotropium procumbens Heliotropium torreyi Lithospermum calcicola Lithospermum distichum Lithospermum mirabile
Bignoniaceae	Chilopsis linearis var. tomenticaulis Tecoma stans Cordia boissieri Cryptantha mexicana Ehretia anacua Heliotropium angiospermum Heliotropium calcicola Heliotropium fruticosum Heliotropium glabriusculum Heliotropium procumbens Heliotropium torreyi Lithospermum calcicola Lithospermum distichum Lithospermum mirabile Lithospermum nelsonii
Bignoniaceae	Chilopsis linearis var. tomenticaulis Tecoma stans Cordia boissieri Cryptantha mexicana Ehretia anacua Heliotropium angiospermum Heliotropium calcicola Heliotropium fruticosum Heliotropium glabriusculum Heliotropium procumbens Heliotropium torreyi Lithospermum calcicola Lithospermum distichum Lithospermum mirabile Lithospermum nelsonii Lithospermum palmeri
Bignoniaceae	Chilopsis linearis var. tomenticaulis Tecoma stans Cordia boissieri Cryptantha mexicana Ehretia anacua Heliotropium angiospermum Heliotropium calcicola Heliotropium fruticosum Heliotropium glabriusculum Heliotropium procumbens Heliotropium torreyi Lithospermum calcicola Lithospermum distichum Lithospermum mirabile Lithospermum nelsonii Lithospermum palmeri Lithospermum palmeri Lithospermum viride
Bignoniaceae	Chilopsis linearis var. tomenticaulis Tecoma stans Cordia boissieri Cryptantha mexicana Ehretia anacua Heliotropium angiospermum Heliotropium calcicola Heliotropium fruticosum Heliotropium glabriusculum Heliotropium procumbens Heliotropium torreyi Lithospermum calcicola Lithospermum distichum Lithospermum mirabile Lithospermum nelsonii Lithospermum palmeri Lithospermum viride Macromeria barbigera
Bignoniaceae	Chilopsis linearis var. tomenticaulis Tecoma stans Cordia boissieri Cryptantha mexicana Ehretia anacua Heliotropium angiospermum Heliotropium calcicola Heliotropium fruticosum Heliotropium glabriusculum Heliotropium procumbens Heliotropium torreyi Lithospermum calcicola Lithospermum distichum Lithospermum mirabile Lithospermum nelsonii Lithospermum palmeri Lithospermum viride Macromeria barbigera Macromeria leonitis
Bignoniaceae	Chilopsis linearis var. tomenticaulis Tecoma stans Cordia boissieri Cryptantha mexicana Ehretia anacua Heliotropium angiospermum Heliotropium calcicola Heliotropium fruticosum Heliotropium glabriusculum Heliotropium procumbens Heliotropium torreyi Lithospermum calcicola Lithospermum distichum Lithospermum mirabile Lithospermum nelsonii Lithospermum palmeri Lithospermum viride Macromeria barbigera

	Onosmodium dodrantale	
	Brassica campestris var. rapa	
	Brassica nigra	
	Cardamine auriculata	
	Cardamine macrocarpa	
	Diplotaxis muralis	
	Eruca sativa	
	Erysimum asperrimum	
	Erysimum asperum	
	Erysimum capitatum	
	Lepidium austrinum	
	Lepidium lasiocarpum	
Brassicaceae	Lepidium virginicum	
Diassicaccac	Lepidium virginicum var. pubescens	
	Lesquerella lasiocarpa	
	Lunaria annua	
	Lunaria rediviva	
	Nerisyrenia powellii	
	Physaria mirandiana	
	Rorippa mexicana	
	Rorippa nasturtium-aquaticum	
	Sisymbrium auriculatum	
	Sisymbrium irio	
	Synthlipsis greggii	
	Thelypodium longipes	
	Hechtia texensis	
	Tillandsia bartramii	
Bromeliaceae	Tillandsia parryi	
	Tillandsia recurvata	
	Tillandsia usneoides	
	Buddleja cordata ssp. cordata	
Buddlejaceae	Buddleja cordata ssp. tometella	
	Buddleja marrubiifolia	
	Echinocereus enneacanthus	
	Echinocereus reichenbachii	A
	Echinocereus stramineus	
	Echinocereus viereckii ssp. morricalii	
	Epithelantha micromeris	Pr
	Ferocactus haematacanthus	Pr
	Ferocactus pilosus	Pr
	Mammillaria chinocephala	11
	Mammillaria melanocentra	D.,
Cactaceae		Pr
Cactaccac	Mammillaria prolifera	
	Mammillaria winterae	
	Neolloydia conoidea	
	Opuntia engelmannii	
	Opuntia imbricata	
	Opuntia lindheimeri	
	Opuntia microdasys	
	Opuntia stenopetala	
	Selenicereus spinulosus	D
	Turbinicarpus beguinii ssp. beguinii	Pr
	Campanula rotundifolia	
	Lobelia calcarea	
Campanulaceae	Lobelia cardinalis	
	Lobelia ehrenbergii var. ehrenbergii	
	Lobelia sublibera	
	Triodanis biflora	

	Triodanis coloradoensis	
Cannaceae	Canna indica	
	Koeberlinia spinosa	
Caparaceae	Polanisia dodecandra	
	Polanisia uniglandulosa	
	Abelia coriacea var. subcoriacea	
	Lonicera japonica	
	Lonicera pilosa	
	Sambucus caerulea	
Caprifioliaceae	Sambucus mexicana	
Сиртиониссис	Sambucus nigra ssp. canadensis	
	Sambucus nigra ssp. cerulea	
	Symphoricarpos orbiculatus	
	Symphoricarpus microphyllus	
	Arenaria benthamii	
	Arenaria lanuginosa	
	Arenaria lanuginosa var. saxosa	
	Arenaria lycopodioides	
Caryophyllaceae	Saponaria officinalis	
y - F y	Silene laciniata	
	Silene laciniata var. greggii	
	Stellaria cuspidata	
	Stellaria prostrata	
Celastraceae	Mortonia greggii	
Colubinaceae	Beta vulgaris	_
	Chenopodium ambrosioides	
	Chenopodium berlandieri	
Chenopodiaceae	Chenopodium graveolens	
	Chenopodium incidium	
	Chenopodium murale	
	Ascyrum hypericoides	
Clusacieae	Hypericum formosum	
	Aneilema geniculata	
	Commelina dianthifolia	
	Commelina erecta var. angustifolia	
	Gibasis karwinskyana ssp. palmeri	
	Gibasis pellucida	
Commelinaceae	Gibasis pulchella	
	Tinantia pringlei	
	Tradescantia brevifolia	
	Tradescantia crassifolia	
	Tradescantia pringlei	
	Tripogandra angustifloia	
	Convolvulus equitans	
	Dichondra repens	
	Dichondra sericea	
	Evolvulus alsinodes	
	Hydrocotyle verticillata	
	Ipomoea collina	
Convolvulaceae	Ipomoea cristulata	
	Ipomoea hederifolia	
	Ipomoea nil	
	Ipomoea orizabensis var. collina	
	Ipomoea pubescens	
	Ipomoea purpurea	
	Ipomoea simulans	
Cornaceae	Cornus florida ssp. urbiniana	Pr
Crassulaceae	Echeveria simulans	
Crassuraceat		

	F-1
	Echeveria strictiflora
	Kalanchoe daigremontiana
	Lenophyllum acutifolium
	Sedum calcicola
	Sedum diffusum
	Sedum palmeri
	Sedum papillicaulum
	Sedum praealtum
	Sedum rhodocarpum
	Villadia squamulosa
	Cucurbita foetidissima
	Cyclanthera dissecta
Cuanditaga	Cyclanthera langei
Cucurbitaceae	Cyclanthera ribiflora
	Melothria pendula
	Sechium edule
	Cupressus arizonica var. arizonica
	Juniperus deppeana var. deppeana
Cupressaceae	Juniperus flaccida var. flaccida
	Taxodium mucronatum
	Cuscuta glabrior
G .	Cuscuta indecora
Cuscutaceae	Cuscuta mitriformis
	Cuscuta rugosiceps
	Cuscuta tinctoria
	Bulbostylis juncoides
	Carex leucodonta
	Carex planostachys
	Cyperus hermaphroditus
	Cyperus niger
	Cyperus ochraceus
	Cyperus odoratus
Cyperaceae	Cyperus pallidicolor
31	Cyperus pseudothyrsiflorus
	Cyperus retroflexus
	Cyperus rotundus
	Eleocharis geniculata
	Fuirena simplex
	Rhynchospora colorata
TI.	Scleria oligantha
Ebenaceae	Diospyros texana
Equisetaceae	Equisetum hyemale var. affine
	Equisetum laevigatum
	Arbutus xalapensis
	Comarostaphylis polifolia
Eminopoo	Leucothoe mexicana
Ericaceae	Lyonia squamulosa
	Vaccinium kunthianum
	Vaccinium stramineum
	Acalypha dioica
	Acalypha hederacea
	Acalypha lindheimeri
	Acalypha monostachya
	Acalypha ostryifolia
Euphorbiaceae	Acalypha ostrytotta Acalypha phleoides
	Acutypha phieotaes Argythamnia astroplethes
	Argythamnia neomexicana Romandia myriagafolia
	Argytnamnia neomexicana Bernardia myricaefolia Cnidoscolus rotuifolius

Croton ciliatoglandulifer Croton dioicus Croton fruticulosus Croton incanus Croton suaveolens Croton virletianus Euphorbia antisyphilitica Euphorbia campestris Euphorbia dentata Euphorbia fendleri Euphorbia furcillata Euphorbia graminea Euphorbia greggii Euphorbia heterophylla Euphorbia hyssopifolia Euphorbia lathyris Euphorbia macropus Euphorbia macropus var. novoleonensis Euphorbia montereyana Euphorbia nutans Euphorbia prostrata Euphorbia serpens Euphorbia villifera Jatropha dioica Keraselma lathyris Phyllanthus neoleonensis Phyllanthus polygonoides Poinsettia tubadenia Ricinus communis Sebastiania longipes Stillingia sanguinolenta Stillingia treculiana Tragia nepetaefolia Quercus acutifolia var. conspersa Quercus affinis Quercus canbyi Quercus coccolobaefolia Quercus eduardi Quercus endlichiana Quercus endlichiana f. serrata Quercus glaucoides Quercus graciliformis Quercus greggii Quercus hintoniorum Quercus intricata Quercus laceyi Quercus laeta Quercus laurina Quercus mexicana

Fagaceae

Quercus intricata
Quercus laceyi
Quercus laeta
Quercus laurina
Quercus mexicana
Quercus microphylla
Quercus opaca
Quercus pinnativenulosa
Quercus pringlei
Quercus rysophylla
Quercus saltillensis
Quercus sartorii x mexicana
Quercus striatula
Quercus trinidadensis

	Quercus tuberculata	
	Quercus virginiana var. fusiformis	
Flacourtiaceae	Neopringlea integrifolia	
riacourtiaceae	Xylosma flexuosum	
Fouquieriaceae	Fouquieria splendens	
Fumariaceae	Corydalis pseudomicrantha	
	Garrya glaberrima	
	Garrya laurifolia	
Garryaceae	Garrya laurifolia var. macrophylla	
•	Garrya ovata var. mexicana	
	Garrya wrightii	
C:	Centaurium arizonicum	
Gentianaceae	Eustoma exaltatum	
	Erodium cicutarium	
Geraniaceae	Geranium seemanni	
	Pelargonium odoratissimum	
	Fendlera linearis	
	Fendlerella lasiopetala	
TT 1	Philadelphus calcicola	
Hydrangeaceae	Philadelphus madrensis	
	Philadelphus microphyllus var. palmeri	
	Philadelphus pringlei	
	Drymaria barkleyi	
	Drymaria glandulosa	
	Drymaria laxiflora	
	Nama biflorum	
	Nama hintoniorum	
	Nama hispidum	
Hydrophyllaceae	Nama hispidum var. spathulatum	
	Nama palmeri	
	Nama propinquum	
	Nama stenophyllum	
	Nama undulatum	
	Phacelia congesta	
	Phacelia rupestris	
	Eustylis purpurea	
	Sisyrinchium demissum	
	Sisyrinchium dimorphum	
Iridaceae	Sisyrinchium novoleonense	
	Sisyrinchium scabrum	
	Sisyrinchium schaffner	
	Tigridia pavonia	
	Carya illinoensis	
	Carya myristicaeformis	
	Carya ovata	
Juglandaceae	Carya ovata var. mexicana	
	Carya palmeri	
	Juglans major	A
	Juglans mollis	
Juncaceae	Juncus nodosus	
Krameriaceae	Krameria cytisoides	
	Agastache palmeri var. leonensis	
	Hedeoma costatum var. costatum	
_	Hedeoma costatum var. pulchellum	
Lamiaceae	Hedeoma drummondii	
	Hedeoma irvingii	
	Hedeoma nanum var. nanum	
	_ Hedeoma palmeri var. santiagoanum	

Hedeoma plicata

Hyptis mutabilis

Majorana hortensis

Marrubium vulgare

Mentha piperita

Mentha rotundifolia

Mentha spicata

Monarda citriodora var. citriodora

Monarda pringlei

Physostegia correllii

Prunella vulgaris

Rosmarinus officinalis

Salvia ballotiflora

Salvia caudata

Salvia chia

Salvia coahuilensis

Salvia coccinea

Salvia compsostachys

Salvia coulteri

Salvia forreri

Salvia greggii

Salvia hispanica

Salvia involucrata

Salvia jaimehintoniana

Salvia lycioides

Salvia microphylla

Salvia reflexa

Salvia regla

Salvia roemeriana

Salvia serotina

Salvia sharpii

Salvia urolepis

Scutellaria drummondii

Scutellaria monterreyana

Scutellaria muzquiziana

Scutellaria ovata ssp. mexicana

Scutellaria potosina var. novoleonensis

Scutellaria potosina var. potosina

Scutellaria seleriana

Scutellaria suffrutescens

Stachys agraria

Stachys bigelovii

Stachys crenata

Stachys grahami

Stachys vulnerabilis

Teucrium canadense

Teucrium cubense ssp. cubense

Litsea glauscecens

Litsea parvifolia

Lauraceae

Litsea pedicellata Litsea pringlei

Persea longipes

Acacia berlandieri

Acacia coulteri Acacia farnesiana

Leguminosae Acacia rigidula

Acacia roemeriana

Acacia wrightii

Acaciella angustissima var. angustissima

Acaciella villosa

Amicia zygomeris

Astragalus austrinus var. austrinus

Astragalus emoryanus

Astragalus greggii

Astragalus mario-sousae

Astragalus regiomontanus

Astragalus sanguineus

Bauhinia macranthera

Caesalpinia mexicana

Calia secundiflora

Calliandra conferta

 $Can avalia\ septentrional is$

Canavalia villosa

Centrosema sagittatum

Centrosema virginianum

Cercis canadensis var. mexicana

Chamaecrista greggii var. greggii

Chamaecrista nictitans ssp. disadena

Clitoria mexicana

Cologania angustifolia

Cologania broussonetii

Coursetia caribaea var. caribaea

Coursetia glabella

Crotalaria incana

Crotalaria polyphylla

Crotalaria pumila

Crotalaria rotundifolia var. vulgaris

Crotalaria sagittalis

Dalea bicolor var. bicolor

Dalea greggii

Dalea hospes

Dalea longipila

Dalea lutea var. lutea

Dalea nana var. carnescens

Dalea pogonathera var. walkerae

Dalea saffordii

Dalea scandens

Dalea scandens var. paucifolia

Dalea wrightii

Desmanthus pringlei

Desmodium angustifolium

Desmodium caripense

Desmodium glutinosum

Desmodium grahami

Desmodium lindheimeri

Desmodium macrostachyum

Desmodium molliculum

Desmodium procumbens

Desmodium psilophyllum

Desmodium retinens

Ebenopsis ebano

Eysenhardtia texana

Galactia brachystachya

Galactia striata

Galactia texana

Havardia pallens

Hoffmanseggia glauca

Indigofera acutifolia

Indigofera hartwegii

Indigofera miniata var. leptosepala

Indigofera miniata var. miniata

Indigofera suffruticosa

Lathyrus longipes

Lathyrus parvifolius

Lespedeza virginica

Leucaena greggii

Leucaena pulverulenta

Lupinus caballoanus

Lupinus muelleri

Lupinus texensis

Macroptilium gibbosifolium

Marina scopa

Medicago lupulina

Medicago polymorpha

Medicago sativa

Melilotus albus

Melilotus indicus

Mimosa malacophylla

Mimosa quadrivalvis var. latidens

Mimosa texana var. texana

Mimosa zygophylla

Nissolia platycalyx

Nissolia platycarpa

Orbexilum melanocarpum

Orbexilum oliganthum

Painteria elachistophylla

Pediomelum rhombifolium

Phaseolus albiflorus

Phaseolus leptostachyus var. leptostachyus

Phaseolus maculatus ssp. ritensis

Phaseolus neglectus

Phaseolus scabrellus

Phaseolus vulgaris

Pisum sativum

Prosopis glandulosa var. glandulosa

Prosopis glandulosa var. torreyana

Prosopis laevigata

Rhynchosia difformis

Rhynchosia longeracemosa

Rhynchosia minima

Rhynchosia senna var. angustifolia

Robinia pseudo-acacia

Securigera varia

Senna lindheimerana

Senna occidentalis

Trifolium amabile

Trifolium amabile var. hemsleyi

Trifolium repens

Vicia americana ssp. americana

Vicia humilis

Vicia pulchella

Vicia villosa

Vigna populnea

Zapoteca media

Pinguicula cyclosecta Lentibulariaceae

Allium glandulosum Liliaceae

Allium hintoniorum

	Allium sativum	
	Asphodelus fistulosus	
	Cooperia pedunculata	
	Echeandia chandler	
	Echeandia durangensis	
	Echeandia flavescens	
	Echeandia skinneri	
	Hypoxys mexicana	
	Hypoxys pulchella	
	Manfreda maculosa	
	Manfreda variegata	
	Nothoscordum bivalve	
	Schoenocaulon macrocarpum	
	Schoenocaulon texanum	
	Zigadenus virescens	Pr
Limanana	Linum lasiocarpum	
Linaceae	Linum nelsoni	
Linaceae	Linum schiedeanum	
	Cevallia sinuata	
	Eucnide lobata	
-	Eucnide xylinea	
Loasaceae	Mentzelia hispida	
	Mentzelia incisa	
	Mentzelia lindheimeri	
Loganiaceae	Cynoctonum mitreola	
Logumuceae	Cuphea aequipetala	
	Cuphea cyanea	
Lythraceae	Heimia salicifolia	
Lytinaccac	Lythrum acinifolium	
	Lythrum californicum	
Magnoliaceae	Magnolia dealbata	P
Magnonaceae	Callaeum septentrionale	1
	Malpighia glabra	
Malpighiaceae	Mascagnia lilacina	
	Mascagnia macroptera	
	Abutilon fruticosum	
	Abutilon hypoleucum	
	Allowissadula holosericea	
	Anoda cristata	
	Anoda leonensis	
	Batesimalva violacea	
	Herissantia crispa	
	Hibiscus acicularis	
	Hibiscus acicularis Hibiscus coulteri	
	Hibiscus counteri Hibiscus denudatus	
	Hibiscus aenuaaius Hibiscus martianus	
Malveaceae	Hibiscus martianus Malva parviflora	
Marveaceae	Malvastrum americanum	
	Malvastrum americanum Malvastrum coromandelianum	
	Melochia pyramidata	
	Pavonia lasiopetala	
	Sida abutilifolia	
	Sida elliottii var. parvifolia	
	Sida rhombifolia	
	Sida spinosa	
	Sphaeralcea angustifolia	
	Sphaeralcea endlichii	
	Sphaeralcea hastulata	

	Wissadula amplissima
Meliaceae	Melia azedarach
Menispermaceae	Cocculus carolinus
Monotropaceae	Monotropa hypopithys
	Ficus carica
Moraceae	Morus alba
Wioraccae	Morus celtidifolia
Myrtaceae	Psidium guajava
Najadaceae	Najas guadalupensis
Tajadaceae	Acleisanthes longiflora
	Allionia choisyi
	Allionia incarnata var. incarnata
	Boerhavia coccinea
	Cyphomeris crassifolia
	Mirabilis albida
Nyotaginagaa	Mirabilis glabrifolia
Nyctaginaceae	Mirabilis jalapa
	Mirabilis longiflora var. wrightiana
	Mirabilis nesomii
	Mirabilis oxybaphoides
	Mirabilis polonii
	Nyctaginia capitata
	Forestiera reticulata
	Fraxinus cuspidata
Oleaceae	Fraxinus cuspiaaia Fraxinus greggii
Oleaceae	Menodora longiflora
	Osmanthus americana
	Calylophus hartwegii var. hartwegii
	Gaura calcicola Gaura coccinea
	Lopezia nuevo-leonis
Onagraceae	Lopezia racemosa
	Oenothera jamesii Oenothera kunthiana
	Oenothera rosea
	Oenothera speciosa
	Oenothera tetraptera
	Corallorhiza bulbosa
	Corallorhiza maculata
	Corallorhiza wisteriana
	Dichromanthus sp.
	Goodyera oblongifolia
	Govenia liliacea
0.111	Hexalectris grandiflora
Orchidaceae	Malaxis corymbosa
	Malaxis hintonii Malaxis wendtii
	Platanthera limosa
	Platanthera sparsiflora var. sparsiflora Prescottia tubulosa
	Schiedeella rubrocalosa
0.1.1	Spiranthes vernalis
Orobanchaceae	Conopholis alpina
	Oxalis berlandieri
	Oxalis corniculata
Oxalidaceae	Oxalis corniculata var. pilosa
	Oxalis drummondii
	Oxalis latifolia

	Акаатопа дапаа	
Papaveraceae	Argemone aenea Argemone albiflora	
	Argemone echinata	
	Argemone mexicana ssp. mexicana	
	Bocconia frutescens	
	Hunnemannia fumariaefolia	
	Passiflora affinis	
Passifloraceae	Passiflora suberosa	
Pedaliaceae	Proboscidea louisianica var. fragrans	
1 cdallaccae	Phytolacca icosandra	
Phytolaccaceae	Rivina humilis	
	Abies vejarii	P
	Picea martinezii	Г
	Pinus cembroides subsp. cembroides	
	Pinus cembroides var. bicolor	
	Pinus greggii var. greggii	
D:	Pinus hartwegii	
Pinaceae	Pinus johannis Pinus montezumae var. montezumae	
		P
	Pinus pinceana	r
	Pinus pseudostrobus var. pseudostrobus	D
	Pinus remota	Pr
	Pinus teocote	
	Pseudotsuga menziesii var. glauca	Pr
	Peperomia berlandieri	
Piperaceae	Peperomia blanda	
	Peperomia quadrifolia	
	Piper auritum	
	Plantago australis	
	Plantago australis ssp. hirtella	
Plantaginaceae	Plantago hookeriana	
8	Plantago lanceolata	
	Plantago major	
	Plantago rhodosperma	
	Platanus occidentalis var. glabrata	
Platanaceae	Platanus occidentalis var. mexicana	
	Platanus rzedowskii	
Plumbaginaceae	Plumbago scandens	
	Agrostis exarata	
	Agrostis semiverticillata	
	Andropogon glomeratus	
	Aristida glauca	
	Aristida purpurea	
	Aristida purpurea var. purpurea	
	Aristida roemeriana	
	Arundinella berteroniana	
	Avena fatua var. fatua	
Poaceae	Avena fatua var. sativa	
1 5445445	Bothriochloa isaechaemum var. songarica	
	Bothriochloa saccharoides	
	Bothriochloa saccharoides var. torreyana	
	Bouteloua barbata	
	Bouteloua curtipendula	
	Bouteloua curtipendula var. caespitosa	
	Bouteloua repens	
	Bouteloua trifida	
	Brachypodium mexicanum	
	_ Briza minor	

Briza subaristata

Bromus anomalus

Bromus carinatus

Bromus catharticus

Bromus marginatus

Bromus meyeri

Bromus unioloides

Buchloe dactyloides

Cenchrus incertus

Chasmanthium latifolium

Chloris andropogonoides

Chloris submutica

Cynodon dactylon

Dasyochloa pulchella

Dichanthelium acuminatum

Dichanthelium angustifolium

Dichanthelium lanuginosum var. lanuginosum

Dichanthelium laxiflorum

Dichanthelium malacophyllum

Dichanthelium pedicellatum

Dichanthelium sphaerocarpon

Digitaria adscendens

Digitaria bicornis

Digitaria californica

Digitaria ciliaris

Digitaria cognata ssp. pubiflora

Digitaria hitchcockii

Digitaria insularis

Digitaria sanguinalis

Eleusine indica

Elymus canadensis

Elymus canadensis var. brachystachys

Elymus longifolius

Elymus pringlei

Enneapogon desvauxii

Eragrostis barrelieri

Eragrostis capillaris

Eragrostis ciliaris

Eragrostis diffusa

Eragrostis intermedia var. oreophila

Eragrostis lugens

Eragrostis mexicana

Eragrostis pilosa

Erioneuron pilosum

Festuca amplissima

Glyceria striata

Hyparrhenia hirta

Koeleria pyramidata

Leersia monara

Leersia virginica

Leptoloma cognata

Link ssp. mexicana

Lycurus phleoides

Muhlenbergia dubia

Muhlenbergia emersleyi

Muhlenbergia monticola

Muhlenbergia parviglumis

Muhlenbergia peruviana

Muhlenbergia utilis

Nassella leucotricha

Nassella mucronata

Oplismenus cristatus

Oplismenus hirtellus

Panicum acuminatum

Panicum antidotale

Panicum bulbosum

Panicum diffusum

Panicum fasciculatum

Pappophorum bicolor

Paspalum botteri

Paspalum conjugatum

Paspalum convexum

Paspalum dilatatum

Paspalum distichum

Paspalum hartwegianum

Paspalum langei

Paspalum mutabile

Paspalum pubiflorum

Paspalum tinctum

Paspalum unispicatum

Piptochaetium angustifolium

Piptochaetium fimbriatum

Poa annua

Poa compressa

Polypogon monspeliensis

Polypogon viridis

Rhynchelytrum repens

Schizachyrium cirratum var. cirratum

Schizachyrium scoparium var. littorale

Setaria geniculata

Setaria glauca

Setaria grisebachii

Setaria leucophylla

Setaria parvifolia

Setaria scheelei

Setaria viridis

Sorghastrum brunneum

Sorghum halepense

Sporobolus buckleyi

Sporobolus indicus var. indicus

Stipa clandestina

Stipa constricta

Stipa eminens

Stipa leucotricha

Stipa mucronata

Tragus berteronianus

Tridens muticus

Tridens maticus Tridens texanus

Tripsacum dactyloides

Cobaea pringlei

Gilia acerosa

Gilia incisa

Polemoniaceae Gilia rigidula var. rigidula

Gilia stewartii

Ipomopsis aggregata ssp. formosissima

Loeselia coerulea

Polygala alba Polygala glandulosa

	Polygala lindheimeri var. eucosma
	Polygala ovatifolia
	Polygala scoparioides
	Polygala semialata
	• •
	Polygala viridis
	Eriogonum greggii
	Eriogonum jamesii
D 1	Eriogonum jamesii var. undulatum
Polygonaceae	Polygonum aviculare
	Polygonum lapathifolium
	Rumex mexicanus
	Rumex pulcher var. eupulcher
	Phlebodium aureum
	Pleopeltis guttata
	Pleopeltis polylepsis var. erythrolepis
5.1	Pleopeltis polylepsis var. polylepsis
Polypodiaceae	Pleopeltis polypodioides var. michauxiana
	Polypodium plesiosorum
	Polypodium polypodiodes
	Polypodium polypodiodes var. michauxianum
	Polypodium subpetiolatum
	Portulaca oleracea
Portulacaceae	Portulaca pilosa
1 011414040044	Talinum aurantiacum
	Talinum paniculatum
Potamogetonaceae	Potamogeton illinoensis
	Anagallis arvensis
Primulaceae	Samolus ebracteatus
	Samolus parviflorus
	Adianthum capillus-veneris
	Allosorus tomentosus
	Argyrochosma microphylla
	Astrolepis integerrima
	Astrolepis integerrima
	Astrolepis sinuata
	Cheilanthes aemula
	Cheilanthes alabamensis
	Cheilanthes bonariensis
	Cheilanthes candida
	Cheilanthes eatonii
	Cheilanthes horridula
Pteridaceae	Cheilanthes integerrima
ricildaceae	Cheilanthes microphylla
	Cheilanthes sinuata
	Llavea cordifolia
	Mildella fallax
	Mildella intramarginalis var. intramarginalis
	Notholaena aschenborniana
	Notholaena candida var. copelandii
	Notholaena nealleyi
	Pellaea atropurpurea
	Pellaea ovata
	Pteris cretica
	Pteris longifolia
	Pteris vittata
	Aquilegia chrysantha
D 1	Aquilegia longissima
Ranunculaceae	Clematis drummondii
	Clematis grossa

	Clematis pitcheri
	Delphinium madrense
	Ranunculus peruvianus
	Ranunculus petiolaris
	Ranunculus petiolaris var. sierrae-orientalis
	Thalictrum fendleri
	Thalictrum grandifolium
Resedaceae	Oligomeris linifolia
	Ceanothus buxifolius
	Ceanothus coeruleus
	Ceanothus fendleri
	Ceanothus greggii
	Colubrina greggii var. greggii
Rhamnaceae	Condalia correllii
Kilalillaccac	Condalia hookeri
	Condalia viridis
	Karwinskia humboltiana
	Rhamnus betulifolia
	Rhamnus revoluta
	Rhamnus serrata
	Cercocarpus fothergilloides
	Cercocarpus macrophyllus
	Cercocarpus mojadensis
	Cowania plicata
	Crataegus crus-galli
	Crataegus rosei
	Crataegus tracyi var. madrensis
	Duchesnea indica
	Fragaria californica
	Fragaria mexicana
	Fragaria virginiana var. ovalis
	Holodiscus discolor
	Lindleya mespiloides
Rosaceae	Malacomeles denticulata var. denticulata
11000000	Malacomeles paniculata
	Physocarpus opulifolius var. intermedius
	Prunus domestica
	Prunus mexicana
	Prunus serotina ssp. serotina
	Prunus serotina ssp. virens
	Rosa carolina
	Rosa serrulata
	Rubus flagellaris
	Rubus humistratus
	Rubus trivialis
	Vauquelinia corvmbosa
	1
	Vauquelinia corymbosa var. saltilloensis Borreria laevis
	Bouvardia ternifolia
	Cephalanthus occidentalis
	Chiococca alba
	Crusea diversifolia
Rubiaceae	Diodia teres
	Galium aschenbornii
	Galium mexicanum
	Galium microphyllum
	Galium oresbium
	Galium pringlei
	Galium rzedowskii

	Galium uncinulatum
	Hedyotis intricata
	Hedyotis nigricans var. nigricans
	Hedyotis palmeri
	Houstonia acerosa ssp. acerosa
	Oldenlandia ovata
	Randia laetevirens
	Randia pringlei
	Amyris madrensis
	Amyris marshii
	Casimiroa greggii
	Casimiroa pringlei
	Decatropis bicolor
Rutaceae	Esenbeckia berlandieri
Rataceae	Helietta parvifolia
	Ptelea trifoliata
	Ruta graveolens
	Sargentia greggii
	Thamnosma texana
-	Zanthoxylum fagara
Sabiaceae	Meliosma alba
	Populus mexicana
C-1:	Populus tremuloides
Salicaceae	Salix jaliscana
	Salix nigra
	Cardiospermum halicacabum
	Dodonaea viscosa
	Koerleuteria paniculata
G : 1	Sapindus saponaria
Sapindaceae	Serjania brachycarpa
	Serjania incisa
	Ungnadia speciosa
	Urvillea ulmacea
Sapotaceae	Syderoxylon lanuginosum
	Heuchera mexicana
Saxifragaceae	Heuchera rubescens
	Bacopa monnieri
	Castilleja integrifolia var. integrifolia
	Castilleja lanata
	Castilleja scorzoneraefolia
	Castilleja tenuiflora var. xylorrhiza
	Cymbalaria muralis
	Hemichaena cehollana
	Leucophyllum langmaniae
Scrophulariaceae	Maurandya barclaiana
Berophulariaceae	Mecardonia procumbens
	Mimulus glabratus
	Penstemon barbatus
	Penstemon campanulatus
	Penstemon lanceolatus
	Seymeria deflexa
	Seymeria virgata
	Veronica persica
	Selaginella delicatissima
Selaginellaceae	Selaginella lepidophylla Selaginella novoleonensis
Sciaginchaceae	Selaginella pallescens
	Selaginella pilifera
	_ setaginetta pittjera

	Selaginella wrightii	
Simaroubaceae	Picramnia polyantha	
G 11	Smilax aristolochiifolia	
	Smilax bona-nox	
Smilacaceae	Smilax lanceolata	
	Smilax moranensis	
	Bouchetia erecta	
	Capsicum annuum var. minus	
	Capsicum ciliatum	
	Cestrum anagyris	
	Cestrum oblongifolium	
	Datura stramonium	
	Hunzikeria texana	
	Jaltomata procumbens	
	Lycium berlandieri	
	Nicotiana glauca	
	Nicotiana nudicaulis	
	Nicotiana trigonophylla	
Solanaceae	Petunia parviflora	
Solaliaccac	Physalis cinerascens	
	Physalis hederifolia	
	Physalis philadelphica	
	Physalis pubescens	
	Physalis sordida	
	Physalis stapelioides	
	Physalis viscosa	
	Solanum americanum	
	Solanum douglasii	
	Solanum elaeagnifolium	
	Solanum erianthum	
	Solanum rostratum	
G ₄ 1 1	Witheringia mexicana	
Staphyleaceae	Staphylea pringlei	
Styracaceae	Styrax platanifolius var. mollis	
Taxaceae	Taxus globosa Pi	r
	Thelypteris concinna	
Thelypteridaceae	Thelypteris ovata var. lindheimeri	
-	Thelypteris rudis	
	Tilia americana var. caroliniana	
Tiliceae	Tilia caroliniana	
_	Tilia floridana	
Turneraceae	Turnera diffusa	
	Celtis laevigata	
Ulmaceae	Celtis pallida	
	Ulmus crassifolia	
	Ulmus serotina	
	Boehmeria cylindrica	
Urticaceae	Parietaria pensylvanica var. obtusa	
	Pilea microphylla	
	Urtica chamaedryoides	
X7.1.	Valeriana clematitis	
Valerianaceae	Valeriana scandens	
	Valeriana subincisa	
	Aloysia gratissima	
37 1	Aloysia macrostachya	
Verbenaceae	Glandularia bipinnatifida	
	Glandularia elegans	
	_ Glandularia polyantha	

	Glandularia quadrangulata
	Lantana achyranthifolia
	Lantana camara
	Lantana canescens
	Lantana hirsuta
	Lantana hirsuta x camara
	Lantana macropoda
	Lantana velutina
	Lippia graveolens
	Phyla fruticosa
	Phyla incisa
	Phyla nodiflora
	Phyla strigulosa
	Priva mexicana
	Umber var. verecunda
	Verbena brasiliensis
	Verbena canescens
	Verbena carolina
	Verbena ciliata
	Verbena cloverae
	Verbena elegans
	Verbena elegans var. asperata
	Verbena litoralis
	Verbena menthaefolia
	Verbena neomexicana
	Verbena officinalis
	Verbena officinalis ssp. halei
	Verbena runvonii
Violaceae	Viola nuevo-leonensis
	Arceuthobium vaginatum
Viscaceae	Phoraderon villosum
	Parthenocissus quinquefolia
Vitaceae	Vitis berlandieri
· maccae	Vitis cinerea
Zannichelliaceae	Zannichellia palustris
Zammenemaceae	Guaiacum angustifolium
Zygophyllaceae	Kallstroemia parviflora
Lygophynaceae	Larrea tridentata
	Lurren muemutu

Anexo 2
Listado faunístico del Parque Nacional "Cumbres de Monterrey" y estatus respectivo por especie según la NOM-059-SEMARNAT-2010.

Clase	Orden	Familia	Especie	NOM-059
	Atheriniformes	Atherinopsidae	Menidia beryllina	
	Characiformes	Characidae	Astyanax mexicanus	
	Cichliformes	Cichlidae	Herichthys cyanoguttatus	
	Cicilifornies	Cicinidae	Oreochromis aureus	
	Clupeiformes	Clupeidae	Dorosoma cepedianum	
	Ciupenomies	Ciupeidae	Dorosoma petenense	
		Catostomidae	Scartomyzon congestus	A
			Campostoma anomalum	
			Cyprinella lutrensis	A
			Cyprinella rutila	A
	Cypriniformes	G 1	Cyprinus carpio	
	• •	Cyprinidae	Dionda melanops	
			Notropis amabilis	A
			Notropis jemezanus	A
Actinopterygii			Notropis stramineus	
		Fundulidae	Fundulus sp.	
		1 0110011000	Gambusia affinis	
			Heterandria bimaculata	
	Cyprinodontiformes		Poecilia formosa	
	Сурттовонитотте	Poeciliidae	Poecilia mexicana	
			Poeciliopsis gracilis	
			Xiphophorus hellerii	
			Lepomis macrochirus	
	Perciformes	Centrarchidae	Lepomis megalotis	
			Micropterus salmoides	
		Percidae	Etheostoma grahami	٨
		1 eleluae		A Pr
	Siluriformes	Ictaluridae	Ictalurus lupus	PT
			Ictalurus punctatus	
			Anaxyrus cognatus	D.,
		D. C. '1	Anaxyrus debilis	Pr
		Bufonidae	Anaxyrus punctatus	
			Incilus nebulifer	
		G	Rhinella marina	
		Craugastoridae	Craugastor augusti	
		Eleutherodactylidae	Eleutherodactylus cystignathoides campi	
			Eleutherodactylus guttilatus	
Amphibia	Anura		Eleutherodactylus longipes	
<u>-</u>		Hylidae	Ecnomiohyla miotympanum	
			Smilisca baudinii	
		Leptodactylidae	Leptodactylus fragilis	
		Microhylidae	Gastrophryne olivacea	Pr
		·	Hypopachus variolosus	
		Ranidae	Lithobates berlandieri	
		Scaphiopodidae	Scaphiopus couchi	
			Spea multiplicata	
	Caudata	Plethodontidae	Chiropterotriton priscus	Pr
		Agelenidae		
		Araneidae		
		Clubionidae		
A roohnida	Aronaga	Dipluridae		
Arachnida	Araneae	Hersiliidae		
		Homisidae		
		Linyphiidae		
		Lycosidae		
		Lycosidae		

		Oxyopidae		
		Pholcidae		
		Pisauridae		
		Salticidae		
		Tetragnathidae		
		Theraphosidae	Aphonopelma moderatum	
		Theridiidae	Aphonopelma sp.	
		Uloboridae		
			Accipiter cooperii	Pr
			Accipiter striatus	Pr
			Buteo albonotatus	Pr
			Buteo brachyurus	
		A a aimitui da a	Buteo jamaicensis	
	A a aimitmifamma aa	Accipitridae	Buteo lineatus	Pr
	Accipitriformes		Buteo swainsoni	Pr
			Buteogallus anthracinus	Pr
			Elanus leucurus	
			Parabuteo unicinctus	Pr
		0.4. (1	Cathartes aura	
		Cathartidae	Coragyps atratus	
			Aix sponsa	
	Anseriformes	Anatidae	Anas clypeata	
			Anas platyrhynchos	
		Apodidae	Aeronautes saxatalis	
		Проставе	Amazilia yucatanensis	
			Archilochus alexandri	
			Calothorax lucifer	
	Apodiformes		Cynanthus latirostris	
	Apoditornics	Trochilidae	Eugenes fulgens	
			Hylocharis leucotis	
			Lampornis clemenciae	
	Caprimulgiformes	Caprimulgidae	Selasphorus platycercus Phalaenoptilus nuttallii	
Aves	Caprillulgilornies	Caprilluigidae	Columbina inca	
		Columbidae		
			Columbina passerina	
			Leptotila verreaux	
	Columbiformes		Patagioenas fasciata	
			Patagioenas flavirostris	
			Streptopelia decaocto	
			Zenaida asiatica	
			Zenaida macroura	
	Coraciiformes	Alcedinidae	Chloroceryle americana	
	G 110	G 1'.1	Megaceryle torquata	
	Cuculiformes	Cuculidae	Geococcyx californianus	D.
	T 1 'C	Falconidae	Falco peregrinus	Pr
	Falconiformes		Falco sparverius	
		Scolopacidae	Actitis macularius	
		Gruiformes	Fulica americana	
	0.111.0	Odontophoridae	Callipepla squamata	
	Galliformes		Colinus virginianus	
		Pelecaniformes	Butorides virescens	
		Phasianidae	Meleagris gallopavo	
		Aegithalidae	Psaltriparus minimus	
			Cardinalis cardinalis	
	Passeriformes	Cardinalidae	Cardinalis sinuatus	
	1 45501110111108		Passerina caerulea	
			Passerina ciris	
			Passerina cyanea	

Pheuciticus melanocephalus Piranga bidentata Piranga flava Piranga flava Piranga flava Piranga flava Piranga flava Posser domesticus Spinus psaltria Spinus tristis Certhiidae Certhia americana Aphelocoma ultramarina Corvus corax Corvidae Corvus cryptoleucus Cyanocorax yncas Psilorhinus morio Aimophila ruficeps Amphispira bilineata Arremonops rufivirgatus Atlapetes pileatus Junco phaeonotus Melospica lincolnii Emberizidae Melozone fusca Peucaea botterii Pipilo maculatus Pooecetes gramineus Spizella altrogularis Spizella altrogularis Spizella passerina Hirundinidae Hirundo rustica Icterus cucullatus Icterus guarisorum Molothrus aeneus Molothrus aeneus Molothrus aeneus Molothrus ater Quiscalus mexicanus Laniidae Lanius ludovicianus Bombycilla cedrorum Mimidae Toxostoma curvirostre Toxostoma curvirostre Toxostoma curvirostre Toxostoma curvirostre Toxostoma curvirostre Toxostoma curvirostre Baeolophus wollweber Poecile sclater Basileuterus rufifrons Cardellina pusilla Mniotilla varia Myioborus pictus Oreothlypis cirssalis Oreothlypis cirssalis Parulidae Oreothlypis superciliosa Setophaga americana Setophaga petechia Setophaga pitusyumi		Passerina versicolor
Piranga bidentata Piranga flava Piranga ludoviciana Rhodothraupis celaeno Carpodacus mexicanus Passer domesticus Spinus psaltria Spinus ristis Certhiidae Certhia americana Aphelocoma ultramarina Corvus corax Corvis corax Corvis corax Corvis eryptoleucus Cyanocorax yucas Psilorhinus morio Almophila ruficeps Amphispira bilineata Arremonops rufivirgatus Atlapetes pileatus Junco phaeonotus Melospira lincolnii Emberizidae Melozone fusca Peucaea botterii Pipilo maculatus Pooecetes gramineus Spizella atrogularis Spizella passerina Hirundinidae Hirundo rustica Tachycineta bicolor Icterus cucullatus Icterus graduacauda Icterus graduacauda Icterus graduacauda Icterus parisorum Molothrus aeneus Bombycilla cedrorum Mimus polyglottos Mimidae Toxostoma ciristales Paridae Baeolophus witeristatus Paridae Baeolophus witeristatus Paridae Baeolophus witeristatus Paridae Paridae Baeolophus voltweber Poecile sclater Basileuterus rufifrons Cardellina pusilla Mniotila varia Myioborus pictus Oreothlypis celata Oreothlypis aperciliosa Setophaga petechia Setophaga petechia		
Piranga flava Piranga hudoviciana Rhodothraupis celaeno Carpodacus mexicanus Passer domesticus Spinus psaltria Spinus pristis Certhiidae Certhia mericana Aphelocoma ultramarina Corvus corvax Corvidae Corvis corvax Corvidae Almophila ruficeps Amphispica bilineata Arremonps rufivirgatus Atlapetes pileatus Junco phaeonotus Melospica lincolnii Emberizidae Melozone fusca Peucaea botterii Pipilo maculatus Poecetes gramineus Spizella arrogularis Spizella pallida Spizella progularis Spizella pallida Spizella parogularis Spizella arrogularis Spizella arrogularis Spizella arrogularis Spizella pallida Spizella parogularis Spizella parogularis Spizella parogularis Spizella arrogularis Spizella pariscanus Latrius dolorioristica Laniidae Laniidae Laniis ludovicianus Bombycilla cedrorum Mimus polyglottos Mimidae Toxostoma crissale Toxostoma curvirostre Toxostoma curvirostre Toxostoma curvirostre Toxostoma curvirostre Toxostoma curvirostre Toxostoma longirostre Baeolophus atricristatus Paridae Baeolophus wollweber Poecile sclater Basilcuterus rufifrons Cardellina pusilla Minialla varia Myioborus pictus Oreothlypis celata		
Piranga ludoviciana Rhodothraupis celaeno Carpodacus mexicanus Passer domesticus Spinus psaltria Spinus tristis Certhiidae Certhia americana Aphelocoma ultramarina Corvus		8
Carduelinae Carduelinae Carduelinae Passer domesticus Spinus psaltria Spinus tristis Certhiidae Certhia americana Aphelocoma ultramarina Corvus corax Corvidae Corvus corax Corvidae Corvus corax Corvidae Corvis corax Pailorena Alphelocoma ultramarina Corvidae Alphelocoma ultramarina Arphispiza bilineata Arremonops rufivirgatus Allapetes pileatus Junco phaeonotus Melospiza lincolnii Emberizidae Melosone fusca Peucaea botterii Pipilo maculatus Pooceetes gramineus Spizella atrogularis Spizella pallida Spizella pallida Spizella pallida Spizella pallida Spizella passerina Hirundo rustica Tachycineta bicolor Icterus cucullatus Icterus graduacauda Icterus parisorum Molothrus aeneus Molothrus aeneus Molothrus aeneus Molothrus aeneus Molothrus aeneus Molothrus aeneus Molothrus aeneus Molothrus aeneus Molothrus aeneus Molothrus aeneus Molothrus aeneus Molothrus aeneus		~ .
Carduelinae Passer domesticus Spinus psaluria Spinus tristis Certhiidae Certhiidae Certhia americana Aphelocoma ultramarina Corvus corax Corvidae Corvus cryptoleucus Cyanocorax yncas Psilorhinus morio Aimophila ruficeps Amphispiza bilineata Arremonops rufivirgatus Atlapetes pileatus Junco phaeonotus Melozone fusca Peucaea botterii Pipilo maculatus Pooecetes gramineus Spizella pallida Spizella pallida Spizella passerina Hirundinidae Hirundo rustica Tachycineta bicolor Icterus cucullatus Icterus graduacauda Icterus parisorum Molothrus aeneus Molothrus ae		-
Carduelinae Passer domesticus Spinus psaltria Spinus psaltria Spinus tristis Certhiidae Certhia americana Aphelocoma ultramarina Corvus corax Corvidae Corvus cryptoleucus Cyanocorax yncas Psilorhinus morio Aimophila ruficeps Amphispiza bilineata Arremonops rufivirgatus Atlapetes pileatus Junco phaeonotus Melospiza lincolnii Emberizidae Melozone fusca Peucaea botterii Pipilo maculatus Pooecetes gramineus Spizella atrogularis Spizella paltida Spizella palserina Hirundinidae Hirundo rustica Tachycineta bicolor Icterus cucullatus Icterus graduacauda Icterus parisorum Molothrus aeneus Molothrus aeneus Molothrus ater Quiscalus mexicanus Laniidae Laniis ludovicianus Bombycilla cedrorum Mimus polyglottos Toxostoma crissale Toxostoma crissale Toxostoma longirostre Baeolophus atricristatus Paridae Basileuterus rufifrons Cardellina pusilla Mniotilta varia Myioborus pictus Oreothlypis celata Oreothlypis crissalis Parulidae Oreothlypis cisusperciliosa Setophaga cornoata Setophaga cornoata Setophaga preuchia Setophaga preuchia Setophaga pinus		
Certhiidae		*
Certhiidae Certhia americana Aphelocoma ultramarina Corvus corax Corvidae Corvus cryptoleucus Cyanocorax yucas Psilorhinus morio Aimophila ruficeps Amphispiza bilineata Arremonops rufivirgatus Atlapetes pileatus Junco phaeonotus Melospiza lincolnii Emberizidae Melozone fusca Peucaea botterii Pipilo maculatus Pooecetes gramineus Spizella parogularis Spizella passerina Hirundinidae Hirundo rustica Icterus graduacauda Icterus graduacauda Icterus graduacauda Icterus graduacauda Icterus parisorum Molothrus atere Quiscalus mexicanus Laniidae Lanius ludovicianus Bombycilla cedrorum Mimus polyglottos Mimidae Toxostoma crissale Toxostoma crissale Baeolophus atricristatus Paridae Baeolophus atricristatus Paridae Basileuterus rufifrons Cardellina pusilla Mniotilta varia Myioborus pictus Oreothlypis celata Oreothlypis celata Oreothlypis celata Oreothlypis cissalis Setophaga chrysoparia Setophaga chrysoparia Setophaga chrysoparia Setophaga chrysoparia Setophaga chrysoparia Setophaga chrysoparia Setophaga pinus	Carduelinae	
Certhiidae Aphelocoma ultramarina Aphelocoma ultramarina Corvus corax		· · ·
Aphelocoma ultramarina Corvus corax Corvidae Corvus cryptoleucus Cyanocorax yncas Psilorhinus morio Aimophila ruficeps Amphispiza bilineata Arremonops rufivirgatus Atlapetes pileatus Junco phaeonotus Melospiza lincolnii Emberizidae Fucaea botterii Pipilo maculatus Poocetes gramineus Spizella passerina Hirundinidae Eterus cucullatus Icterus graduacauda Icterus graduacauda Icterus graduacauda Icterus graduacauda Icterus graduacauda Icterus parisorum Molothrus aeneus Molothrus aeneus Molothrus ater Quiscalus mexicanus Laniidae Lanius ludovicianus Bombycilla cedrorum Mimus polyglottos Mimidae Toxostoma curvirostre Toxostoma curvirostre Toxostoma longirostre Baeolophus atricristatus Paridae Baeolophus wollweber Poecile sclater Basileuterus rufifrons Cardellina pusilla Mniotilla varia Myioborus pictus Oreothlypis celata Oreothlypis celata Oreothlypis cisasalis Oreothlypis cisasalis Oreothlypis superciliosa Setophaga americana Setophaga achrysoparia Setophaga coronata Setophaga petechia Setophaga pinus	Conthiidee	•
Corvidae Corvus cryptoleucus Cyanocorax yncas Psilorhinus morio Aimophila ruficeps Amphispiza bilineata Arremonops rufivirgatus Atlapetes pileatus Junco phaeonotus Melospiza lincolnii Emberizidae Melozone fusca Peucaea botterii Pipilo maculatus Pooceetes gramineus Spizella pallida Spizella palserina Hirundinidae Hirundo rustica Tachycineta bicolor Icterus cucullatus Icterus graduacauda Icterus parisorum Molothrus aeneus Molothrus aeneus Molothrus ater Quiscalus mexicanus Laniidae Lanius ludovicianus Bombycilla cedrorum Mimus polyglottos Mimidae Toxostoma crissale Toxostoma crissale Toxostoma curvirostre Toxostoma longirostre Baeolophus wollweber Poecile sclater Basileuterus rufifrons Cardellina pusilla Mniotilta varia Myioborus pictus Oreothlypis celata Oreothlypis celata Oreothlypis crissalis Parulidae Parulidae Oreothlypis superciliosa Setophaga americana Setophaga chrysoparia Setophaga petechia Setophaga pinus	Cerumdae	
Corvidae Corvus cryptoleucus Cyanocorax yncas Psilorhinus morio Aimophila ruficeps Amphispiza bilineata Arremonops rufivirgatus Atlapetes pileatus Junco phaeonotus Melospiza lincolnii Emberizidae Melozone fusca Peucaea botterii Pipilo maculatus Pooecetes gramineus Spizella pallida Spizella pallida Spizella passerina Hirundinidae Hirundo rustica Tachycineta bicolor Icterus cucullatus Icterus graduacauda Icterus graduacauda Icterus parisorum Molothrus ater Quiscalus mexicanus Laniidae Lanius ludovicianus Bombycilla cedrorum Mimus polyglottos Mimidae Toxostoma curvirostre Toxostoma curvirostre Toxostoma longirostre Baeolophus atricristatus Paridae Baelophus atricristatus Paridae Paridae Paridae Parulidae Oreothlypis celata Oreothlypis celata Oreothlypis celata Oreothlypis celata Oreothlypis celata Oreothlypis celata Setophaga americana Setophaga petechia Setophaga petechia Setophaga pinus		
Cyanocorax yncas Psilorhinus morio Almophila ruficeps Amphispiza bilineata Arremonops rufivirgatus Atlapetes pileatus Junco phaeonotus Melospiza lincolnii Emberizidae Melozone fusca Peucaea botterii Pipilo maculatus Pooecetes gramineus Spizella atrogularis Spizella pallida Spizella passerina Hirundinidae Hirundo rustica Tachycineta bicolor Icterus cucullatus Icterus graduacauda Icterus parisorum Molothrus aeneus Molothrus aeneus Molothrus ater Quiscalus mexicanus Laniidae Lanius ludovicianus Bombycilla cedrorum Mimus polyglottos Mimidae Toxostoma curvirostre Toxostoma curvirostre Toxostoma longirostre Baeolophus wollweber Poecile sclater Basileuterus rufifrons Cardellina pusilla Mniotilla varia Myioborus pictus Oreothlypis celata Oreothlypis celata Oreothlypis celata Oreothlypis crissalis Setophaga americana Setophaga chrysoparia Setophaga petechia Setophaga pinus	G '1	
Psilorhinus morio Aimophila ruficeps Amphispiza bilineata Arremonops rufivirgatus Atlapetes pileatus Junco phaeonotus Melospiza lincolnii Emberizidae Melozone fusca Petucaea botterii Pipilo maculatus Pooecetes gramineus Spizella atrogularis Spizella pallida Spizella passerina Hirundinidae Hirundo rustica Tachycineta bicolor Icterus cucullatus Icterus graduacauda Icterus graduacauda Icterus parisorum Molothrus aeneus Molothrus aeneus Molothrus ater Quiscalus mexicanus Laniidae Lanius ludovicianus Bombycilla cedrorum Mimus polyglottos Mimidae Toxostoma crissale Toxostoma curvirostre Toxostoma curvirostre Toxostoma longirostre Baeolophus atricristatus Paridae Baeolophus wollweber Poecile sclater Basileuterus rufifrons Cardellina pusilla Mniotilta varia Myioborus pictus Oreothlypis celata Oreothlypis celata Oreothlypis celata Oreothlypis cissalis Parulidae Oreothlypis superciliosa Setophaga americana Setophaga chrysoparia Setophaga petechia Setophaga petechia Setophaga pinus	Corvidae	
Aimophila ruficeps Amphispiza bilineata Arremonops rufivirgatus Atlapetes pileatus Junco phaeonotus Melospiza lincolnii Emberizidae Melozone fusca Peucaea botterii Pipilo maculatus Pooecetes gramineus Spizella palsida Spizella passerina Hirundinidae Hirundo rustica Tachycineta bicolor Icterus cucullatus Icterus graduacauda Icterus parisorum Molothrus aeneus Molothrus ater Quiscalus mexicanus Laniidae Lanius ludovicianus Bombycilla cedrorum Mimus polyglottos Mimidae Toxostoma crissale Toxostoma curvirostre Toxostoma longirostre Baeolophus atricristatus Paridae Basileuterus rufifrons Cardellina pusilla Mniotilta varia Myioborus pictus Oreothlypis celata Oreothlypis crissalis Parulidae Oreothlypis superciliosa Setophaga americana Setophaga petechia Setophaga petechia Setophaga pinus		
Amphispiza bilineata Arremonops rufivirgatus Atlapetes pileatus Junco phaeonotus Melospiza lincolnii Emberizidae Melozone fusca Peucaea botterii Pipilo maculatus Pooecetes gramineus Spizella atrogularis Spizella pallida Spizella passerina Hirundo rustica Tachycineta bicolor Icterus cucullatus Icterus graduacauda Icterus parisorum Molothrus aeneus Molothrus aeneus Molothrus ater Quiscalus mexicanus Laniidae Laniidae Lanius ludovicianus Bombycilla cedrorum Mimus polyglottos Mimidae Toxostoma curvirostre Toxostoma longirostre Baeolophus atricristatus Paridae Baeolophus wollweber Poecile sclater Basileuterus rufifrons Cardellina pusilla Mniotilta varia Myioborus pictus Oreothlypis crissalis Parulidae Oreothlypis crissalis Parulidae Oreothlypis rissalis Parulidae Setophaga americana Setophaga petechia Setophaga petechia Setophaga pinus		
Arremonops rufivirgatus Allapetes pileatus Junco phaeonotus Melospiza lincolnii Emberizidae Melozone fusca Peucaea botterii Pipilo maculatus Pooecetes gramineus Spizella atrogularis Spizella passerina Hirundinidae Hirundo rustica Tachycineta bicolor Icterus cucullatus Icterus graduacauda Icterus parisorum Molothrus aeneus Molothrus aeneus Molothrus ater Quiscalus mexicanus Laniidae Lanius ludovicianus Bombycilla cedrorum Mimus polyglottos Mimidae Toxostoma crissale Toxostoma curvirostre Toxostoma longirostre Baeolophus wollweber Poecile sclater Basileuterus rufifrons Cardellina pusilla Mniotilla varia Myioborus pictus Oreothlypis celata Oreothlypis celata Oreothlypis crissalis Parulidae Oreothlypis superciliosa Setophaga americana Setophaga petechia Setophaga petechia Setophaga pinus		
Atlapetes pileatus Junco phaeonotus Melospiza lincolnii Melozone fusca Peucaea botterii Pipilo maculatus Pooecetes gramineus Spizella atrogularis Spizella passerina Hirundinidae Hirundo rustica Tachycineta bicolor Icterus cucullatus Icterus graduacauda Icterus parisorum Molothrus aeneus Molothrus ater Quiscalus mexicanus Laniidae Laniis ludovicianus Bombycilla cedrorum Mimus polyglottos Mimidae Toxostoma crissale Toxostoma curvirostre Toxostoma longirostre Baeolophus wollweber Poecile sclater Basileuterus rufifrons Cardellina pusilla Mniotilla varia Myioborus pictus Oreothlypis celata Oreothlypis celata Oreothlypis crissalis Parulidae Oreothlypis superciliosa Setophaga americana Setophaga petechia Setophaga petechia Setophaga pinus		2 2
Emberizidae Melospiza lincolnii Melozone fusca Peucaea botterii Pipilo maculatus Pooecetes gramineus Spizella atrogularis Spizella pallida Spizella passerina Hirundinidae Hirundo rustica Tachycineta bicolor Icterus cucullatus Icterus graduacauda Icterus parisorum Molothrus aeneus Molothrus ater Quiscalus mexicanus Laniidae Laniidae Laniidae Iduovicianus Bombycilla cedrorum Mimus polyglottos Mimidae Toxostoma curvirostre Toxostoma curvirostre Toxostoma longirostre Baeolophus atricristatus Paridae Baeolophus wollweber Poecile sclater Basileuterus rufifrons Cardellina pusilla Mniotilta varia Myioborus pictus Oreothlypis celata Oreothlypis celata Oreothlypis celata Oreothlypis superciliosa Setophaga americana Setophaga americana Setophaga apetechia Setophaga pinus		
Melospiza lincolnii Melozone fusca Peucaea botterii Pipilo maculatus Pooecetes gramineus Spizella atrogularis Spizella pallida Spizella passerina Hirundinidae Hirundo rustica Tachycineta bicolor Icterus cucullatus Icterus graduacauda Icterus parisorum Molothrus aeneus Molothrus ater Quiscalus mexicanus Laniidae Lanius ludovicianus Bombycilla cedrorum Mimus polyglottos Mimidae Toxostoma curvirostre Toxostoma curvirostre Toxostoma longirostre Baeolophus atricristatus Paridae Baeolophus wollweber Poecile sclater Basileuterus rufifrons Cardellina pusilla Mniotilta varia Myioborus pictus Oreothlypis celata Oreothlypis celata Oreothlypis cissalis Parulidae Oreothlypis crissalis Setophaga americana Setophaga coronata Setophaga petechia Setophaga petechia Setophaga pinus		* *
Emberizidae Melozone fusca Peucaea botterii Pipilo maculatus Pooecetes gramineus Spizella atrogularis Spizella pallida Spizella passerina Hirundinidae Hirundo rustica Tachycineta bicolor Icterus cucullatus Icterus graduacauda Icterus parisorum Molothrus aeneus Molothrus ater Quiscalus mexicanus Laniidae Lanius ludovicianus Bombycilla cedrorum Mimus polyglottos Mimidae Toxostoma curvirostre Toxostoma curvirostre Toxostoma longirostre Baeolophus articristatus Paridae Baeolophus wollweber Poecile sclater Basileuterus rufifrons Cardellina pusilla Mniotilta varia Myioborus pictus Oreothlypis celata Oreothlypis celata Oreothlypis crissalis Parulidae Oreothlypis crissalis Setophaga americana Setophaga coronata Setophaga petechia Setophaga petechia Setophaga pinus		*
Peucaea botterii Pipilo maculatus Pooecetes gramineus Spizella atrogularis Spizella palsserina Hirundinidae Hirundo rustica Tachycineta bicolor Icterus cucullatus Icterus graduacauda Icterus parisorum Molothrus aeneus Molothrus ater Quiscalus mexicanus Laniidae Lanius ludovicianus Bombycilla cedrorum Mimidae Toxostoma crissale Toxostoma curvirostre Toxostoma longirostre Baeolophus atricristatus Paridae Basileuterus rufifrons Cardellina pusilla Mniotilta varia Myioborus pictus Oreothlypis celata Oreothlypis celata Oreothlypis crissalis Parulidae Oreothlypis rrissalis Setophaga americana Setophaga petechia Setophaga petechia Setophaga pinus		•
Pipilo maculatus Pooecetes gramineus Spizella atrogularis Spizella pallida Spizella pallida Spizella passerina Hirundo rustica Tachycineta bicolor Icterus cucullatus Icterus graduacauda Icterus parisorum Molothrus aeneus Molothrus ater Quiscalus mexicanus Laniidae Lanius ludovicianus Bombycilla cedrorum Mimus polyglottos Mimidae Toxostoma crissale Toxostoma curvirostre Toxostoma longirostre Baeolophus atricristatus Paridae Basileuterus rufifrons Cardellina pusilla Mniotilta varia Myioborus pictus Oreothlypis celata Oreothlypis crissalis Parulidae Oreothlypis rrissalis Setophaga americana Setophaga petechia Setophaga pinus	Emberizidae	Melozone fusca
Pooecetes gramineus Spizella atrogularis Spizella pallida Spizella passerina Hirundinidae Hirundo rustica Tachycineta bicolor Icterus graduacauda Icterus graduacauda Icterus parisorum Molothrus aeneus Molothrus ater Quiscalus mexicanus Laniidae Lanius ludovicianus Bombycilla cedrorum Mimus polyglottos Mimidae Toxostoma crissale Toxostoma curvirostre Toxostoma longirostre Baeolophus atricristatus Paridae Baeolophus wollweber Poecile sclater Basileuterus rufifrons Cardellina pusilla Mniotilta varia Myioborus pictus Oreothlypis celata Oreothlypis crissalis Parulidae Oreothlypis crissalis Parulidae Setophaga americana Setophaga coronata Setophaga petechia Setophaga pinus		Peucaea botterii
Spizella atrogularis Spizella pallida Spizella passerina Hirundinidae Hirundo rustica Tachycineta bicolor Icterus cucullatus Icterus graduacauda Icterus parisorum Molothrus ater Quiscalus mexicanus Laniidae Laniidae Lanius ludovicianus Bombycilla cedrorum Mimus polyglottos Mimidae Toxostoma crissale Toxostoma curvirostre Toxostoma longirostre Baeolophus atricristatus Paridae Basileuterus rufifrons Cardellina pusilla Mniotilta varia Myioborus pictus Oreothlypis celata Oreothlypis cissalis Parulidae Parulidae Oreothlypis superciliosa Setophaga chrysoparia Setophaga petechia Setophaga pinus		Pipilo maculatus
Spizella pallida Spizella passerina Hirundinidae Hirundo rustica Tachycineta bicolor Icterus cucullatus Icterus graduacauda Icterus parisorum Molothrus aeneus Molothrus ater Quiscalus mexicanus Laniidae Lanius ludovicianus Bombycilla cedrorum Mimus polyglottos Mimidae Toxostoma crissale Toxostoma curvirostre Toxostoma longirostre Baeolophus atricristatus Paridae Basileuterus rufifrons Cardellina pusilla Mniotilta varia Myioborus pictus Oreothlypis celata Oreothlypis cissalis Parulidae Oreothlypis superciliosa Setophaga americana Setophaga coronata Setophaga petechia Setophaga pinus		Pooecetes gramineus
Hirundinidae Hirundo rustica Tachycineta bicolor Icterus cucullatus Icterus graduacauda Icterus parisorum Molothrus aeneus Molothrus ater Quiscalus mexicanus Laniidae Lanius ludovicianus Bombycilla cedrorum Mimus polyglottos Mimidae Toxostoma crissale Toxostoma curvirostre Toxostoma longirostre Baeolophus atricristatus Paridae Basileuterus rufifrons Cardellina pusilla Mniotilta varia Myioborus pictus Oreothlypis celata Oreothlypis cissalis Parulidae Oreothlypis cissalis Parulidae Oreothlypis superciliosa Setophaga americana Setophaga coronata Setophaga petechia Setophaga pinus		Spizella atrogularis
Hirundinidae Hirundo rustica Tachycineta bicolor Icterus cucullatus Icterus graduacauda Icterus parisorum Molothrus aeneus Molothrus ater Quiscalus mexicanus Laniidae Lanius ludovicianus Bombycilla cedrorum Mimus polyglottos Mimidae Toxostoma curvirostre Toxostoma curvirostre Toxostoma longirostre Baeolophus articristatus Paridae Baeolophus wollweber Poecile sclater Basileuterus rufifrons Cardellina pusilla Mniotilta varia Myioborus pictus Oreothlypis celata Oreothlypis crissalis Parulidae Oreothlypis superciliosa Setophaga americana Setophaga coronata Setophaga petechia Setophaga pinus		Spizella pallida
Icterus cucullatus Icterus graduacauda Icterus parisorum Molothrus aeneus Molothrus ater Quiscalus mexicanus Laniidae Lanius ludovicianus Bombycilla cedrorum Mimus polyglottos Mimidae Toxostoma crissale Toxostoma curvirostre Toxostoma longirostre Baeolophus atricristatus Paridae Baeolophus wollweber Poecile sclater Basileuterus rufifrons Cardellina pusilla Mniotilta varia Myioborus pictus Oreothlypis celata Oreothlypis crissalis Parulidae Oreothlypis superciliosa Setophaga americana Setophaga petechia Setophaga pinus		Spizella passerina
Icterus cucullatus Icterus graduacauda Icterus parisorum Molothrus aeneus Molothrus ater Quiscalus mexicanus Laniidae Lanius ludovicianus Bombycilla cedrorum Mimus polyglottos Mimidae Toxostoma curvirostre Toxostoma longirostre Baeolophus atricristatus Paridae Basileuterus rufifrons Cardellina pusilla Mniotilta varia Myioborus pictus Oreothlypis celata Oreothlypis crissalis Parulidae Oreothlypis superciliosa Setophaga americana Setophaga petechia Setophaga pinus	TT:	Hirundo rustica
Icteridae Icterus parisorum Molothrus aeneus Molothrus ater Quiscalus mexicanus Laniidae Laniidae Laniidae Laniidae Icterus parisorum Molothrus ater Quiscalus mexicanus Laniidae Laniidae Dombycilla cedrorum Mimus polyglottos Mimidae Toxostoma crissale Toxostoma crissale Toxostoma longirostre Baeolophus atricristatus Paridae Baeolophus wollweber Poecile sclater Basileuterus rufifrons Cardellina pusilla Mniotilta varia Myioborus pictus Oreothlypis celata Oreothlypis celata Oreothlypis crissalis Parulidae Oreothlypis superciliosa Setophaga americana Setophaga coronata Setophaga petechia Setophaga pinus	Hirundinidae	Tachycineta bicolor
Icteridae Icterus parisorum Molothrus aeneus Molothrus ater Quiscalus mexicanus Laniidae Lanius ludovicianus Bombycilla cedrorum Mimus polyglottos Mimidae Toxostoma crissale Toxostoma curvirostre Toxostoma longirostre Baeolophus atricristatus Paridae Baeolophus wollweber Poecile sclater Basileuterus rufifrons Cardellina pusilla Mniotilta varia Myioborus pictus Oreothlypis celata Oreothlypis crissalis Parulidae Oreothlypis superciliosa Setophaga americana Setophaga coronata Setophaga petechia Setophaga pinus		Icterus cucullatus
Icteridae Icterus parisorum Molothrus aeneus Molothrus ater Quiscalus mexicanus Laniidae Lanius ludovicianus Bombycilla cedrorum Mimus polyglottos Mimidae Toxostoma crissale Toxostoma curvirostre Toxostoma longirostre Baeolophus atricristatus Paridae Baeolophus wollweber Poecile sclater Basileuterus rufifrons Cardellina pusilla Mniotilta varia Myioborus pictus Oreothlypis celata Oreothlypis crissalis Parulidae Oreothlypis superciliosa Setophaga americana Setophaga coronata Setophaga petechia Setophaga pinus		Icterus graduacauda
Molothrus ater Quiscalus mexicanus Laniidae Laniidae Laniidae Dombycilla cedrorum Mimus polyglottos Mimidae Toxostoma crissale Toxostoma curvirostre Toxostoma longirostre Baeolophus atricristatus Paridae Baeolophus wollweber Poecile sclater Basileuterus rufifrons Cardellina pusilla Mniotilta varia Myioborus pictus Oreothlypis celata Oreothlypis crissalis Parulidae Oreothlypis superciliosa Setophaga americana Setophaga coronata Setophaga petechia Setophaga pinus	T / 11	
Aniidae Laniidae Laniius ludovicianus Bombycilla cedrorum Mimus polyglottos Mimidae Toxostoma crissale Toxostoma curvirostre Toxostoma longirostre Baeolophus atricristatus Paridae Baeolophus wollweber Poecile sclater Basileuterus rufifrons Cardellina pusilla Mniotilta varia Myioborus pictus Oreothlypis celata Oreothlypis crissalis Parulidae Oreothlypis superciliosa Setophaga americana Setophaga coronata Setophaga petechia Setophaga pinus	icteridae	Molothrus aeneus
Laniidae Lanius ludovicianus Bombycilla cedrorum Mimus polyglottos Mimidae Toxostoma crissale Toxostoma curvirostre Toxostoma longirostre Baeolophus atricristatus Paridae Baeolophus wollweber Poecile sclater Basileuterus rufifrons Cardellina pusilla Mniotilta varia Myioborus pictus Oreothlypis celata Oreothlypis crissalis Parulidae Oreothlypis superciliosa Setophaga americana Setophaga coronata Setophaga petechia Setophaga pinus		Molothrus ater
Bombycilla cedrorum Mimus polyglottos Mimidae Toxostoma crissale Toxostoma curvirostre Toxostoma longirostre Baeolophus atricristatus Paridae Baeolophus wollweber Poecile sclater Basileuterus rufifrons Cardellina pusilla Mniotilta varia Myioborus pictus Oreothlypis celata Oreothlypis crissalis Parulidae Oreothlypis superciliosa Setophaga americana Setophaga coronata Setophaga petechia Setophaga pinus		Ouiscalus mexicanus
Bombycilla cedrorum Mimus polyglottos Mimidae Toxostoma crissale Toxostoma curvirostre Toxostoma longirostre Baeolophus atricristatus Paridae Baeolophus wollweber Poecile sclater Basileuterus rufifrons Cardellina pusilla Mniotilta varia Myioborus pictus Oreothlypis celata Oreothlypis crissalis Parulidae Oreothlypis superciliosa Setophaga americana Setophaga coronata Setophaga petechia Setophaga pinus	Laniidae	Lanius ludovicianus
Mimidae Toxostoma crissale Toxostoma curvirostre Toxostoma longirostre Baeolophus atricristatus Paridae Baeolophus wollweber Poecile sclater Basileuterus rufifrons Cardellina pusilla Mniotilta varia Myioborus pictus Oreothlypis celata Oreothlypis crissalis Parulidae Oreothlypis superciliosa Setophaga americana Setophaga coronata Setophaga petechia Setophaga pinus	-	
Mimidae Toxostoma crissale Toxostoma curvirostre Toxostoma longirostre Baeolophus atricristatus Paridae Baeolophus wollweber Poecile sclater Basileuterus rufifrons Cardellina pusilla Mniotilta varia Myioborus pictus Oreothlypis celata Oreothlypis crissalis Parulidae Oreothlypis superciliosa Setophaga americana Setophaga coronata Setophaga petechia Setophaga pinus		· ·
Toxostoma curvirostre Toxostoma longirostre Baeolophus atricristatus Paridae Baeolophus wollweber Poecile sclater Basileuterus rufifrons Cardellina pusilla Mniotilta varia Myioborus pictus Oreothlypis celata Oreothlypis crissalis Parulidae Oreothlypis superciliosa Setophaga americana Setophaga coronata Setophaga petechia Setophaga pinus	Mimidae	
Paridae Baeolophus atricristatus Baeolophus wollweber Poecile sclater Basileuterus rufifrons Cardellina pusilla Mniotilta varia Myioborus pictus Oreothlypis celata Oreothlypis crissalis Parulidae Oreothlypis superciliosa Setophaga americana Setophaga coronata Setophaga petechia Setophaga pinus		
Baeolophus atricristatus Baeolophus wollweber Poecile sclater Basileuterus rufifrons Cardellina pusilla Mniotilta varia Myioborus pictus Oreothlypis celata Oreothlypis crissalis Parulidae Oreothlypis superciliosa Setophaga americana Setophaga crysoparia Setophaga petechia Setophaga pinus		
Paridae Baeolophus wollweber Poecile sclater Basileuterus rufifrons Cardellina pusilla Mniotilta varia Myioborus pictus Oreothlypis celata Oreothlypis crissalis Parulidae Oreothlypis superciliosa Setophaga americana Setophaga crysoparia Setophaga petechia Setophaga pinus		U
Poecile sclater Basileuterus rufifrons Cardellina pusilla Mniotilta varia Myioborus pictus Oreothlypis celata Oreothlypis crissalis Parulidae Oreothlypis superciliosa Setophaga americana Setophaga chrysoparia Setophaga petechia Setophaga pinus	Paridae	-
Basileuterus rufifrons Cardellina pusilla Mniotilta varia Myioborus pictus Oreothlypis celata Oreothlypis crissalis Parulidae Oreothlypis superciliosa Setophaga americana Setophaga chrysoparia Setophaga petechia Setophaga pinus	1 urrauc	
Cardellina pusilla Mniotilta varia Myioborus pictus Oreothlypis celata Oreothlypis crissalis Parulidae Oreothlypis superciliosa Setophaga americana Setophaga chrysoparia Setophaga coronata Setophaga petechia Setophaga pinus		
Mniotilta varia Myioborus pictus Oreothlypis celata Oreothlypis crissalis Parulidae Oreothlypis superciliosa Setophaga americana Setophaga chrysoparia Setophaga coronata Setophaga petechia Setophaga pinus		
Myioborus pictus Oreothlypis celata Oreothlypis crissalis Parulidae Oreothlypis superciliosa Setophaga americana Setophaga chrysoparia Setophaga coronata Setophaga petechia Setophaga pinus		
Oreothlypis celata Oreothlypis crissalis Parulidae Oreothlypis superciliosa Setophaga americana Setophaga chrysoparia Setophaga coronata Setophaga petechia Setophaga pinus		
Oreothlypis crissalis Parulidae Oreothlypis superciliosa Setophaga americana Setophaga chrysoparia Setophaga coronata Setophaga petechia Setophaga pinus		, ,
Parulidae Oreothlypis superciliosa Setophaga americana Setophaga chrysoparia Setophaga coronata Setophaga petechia Setophaga pinus		* *
Setophaga americana Setophaga chrysoparia Setophaga coronata Setophaga petechia Setophaga pinus	Domilidas	* *
Setophaga chrysoparia Setophaga coronata Setophaga petechia Setophaga pinus	гагинаае	** *
Setophaga coronata Setophaga petechia Setophaga pinus		* **
Setophaga petechia Setophaga pinus		
Setophaga pinus		• •
Setophaga pitiayumi		
		Setophaga pitiayumi

			Setophaga townsendi	
		Danga dagar: 1	Setophaga virens	
		Peucedramidae	Peucedramus taeniatus	
		Polioptilidae	Polioptila caerulea Polioptila melanura	
		-	Phainopepla nitens	
		Ptilogonatidae	Ptilogonys cinereus	
		Regulidae	Regulus calendula	
		Remizidae	Auriparus flaviceps	
			Sitta carolinensis	
		Sittidae	Sitta pygmaea	
		Thraupidae	Euphonia elegantissima	
			Campylorhynchus brunneicapillus	
			Catherpes mexicanus	
		Troglodytidae	Salpinctes obsoletus	
		8 7	Thryomanes bewickii	
			Troglodytes aedon	
			Catharus guttatus	
			Catharus ustulatus	
			Myadestes accidentalis	
			Myadestes occidentalis	Pr
		Turdidae	Myadestes townsendi	
			Sialia mexicana	
			Sialia sialis	
			Turdus grayi	
			Turdus migratorius	
			Contopus pertinax	
			Contopus sordidulus	
			Empidonax fulvifrons	
			Empidonax oberholseri	
			Myiarchus cinerascens	
			Myiarchus tuberculifer	
		Tyrannidae	Myiodynastes luteiventris	
			Pitangus sulphuratus	
			Pyrocephalus rubinus	
			Sayornis nigricans	
			Sayornis phoebe	
			Sayornis saya	
			Tyrannus couchii	
		Vireonidae	Vireo huttoni	
		v ircomuae	Vireo solitarius	
			Colaptes auratus	
			Colaptes rubiginosus	
			Melanerpes aurifrons	
	Piciformes	Picidae	Melanerpes formicivorus	
			Picoides scalaris	
			Picoides villosus	
			Sphyrapicus varius	
	Psittaciformes	Psittacidae	Rhynchopsitta terrisi	Pr
			Bubo virginianus	A
	g. : :0	a. t. t.t	Glaucidium gnoma	A
	Strigiformes	Strigidae	Megascops asio	Pr
			Micrathene whitneyi	
	T. :0	T :1	Otus flammeolus	
	Trogoniformes	Trogonidae	Trogon elegans	
		Bosminidae	Bosmina longirostris	
Branchiopoda	Anomopoda		Eubosmina coregoni	
•		Chydoridae	Alona circumfimbriata	
		*	Chydorus sphaericus	

			Karualona karua
			Leydigia quadrangularis
			Ceriodaphnia quadrangula
			Daphnia ambigua
			Daphnia amoigad Daphnia parvula
		Daphniidae	Daphnia similis
			Scapholeberi
			Scapholeberis sp.
		Ilyocriptidae	
		пуострицае	Ilyocriptus spinifer Macrothrix hirsuticornis
		Machrothricidae	
		C441: .1: .1	Macrothrix rosea
	A	Streptocephalidae	Streptocephalus mackini
	Anostraca	Thamnocephalidae	Thamnocephalus mexicanus
			Thamnocephalus platyurus
	Ctenopoda	Sididae	Diaphanosoma birgei
		T ' 1'' 1	Sida crystallina
	Diplostraca	Limnadiidae	Eulimnadia texana
	Notostraca	Triopsidae	Triops sp.
	Blattodea	Blattellidae	Blattella sp.
		Dryopidae	Helichus sp.
			Copelatus sp.
			Deronectes sp.
		Dytiscidae	Rhantus atricolor
			Rhantus gutticollis
			Thermonectus marmoratus
			Heterelmis obscura
			Macrelmis sp.
		Elmidae	Microcylloepus inaequalis
		Elilidae	Neocylloepus sp.
	Calcomtono		Phanocerus clavicornis
	Coleoptera		Stenhelmoides sp.
		C ::1	Dineutus sublineatus
		Gyrinidae	Gyrinus sp.
		Haliplidae	Haliplus sp.
			Anacaena sp.
		Hydrophilidae	Phaenotum sp.
			Tropisternus ellipticus
		Scirtidae	Prionocyphon sp.
Insecta		0.1 1.1	Nicrophous americana
		Silphidae	Silpha sp.
		Staphylinidae	•
	6.11. 1.1	Poduridae	Podura aquatica
	Collembola	Tomoceridae	Tomocerus flavescens
	Dermaptera	Laboduridae	Labidura riparia
			Chrysomya megacephala
		0.111.1.11	Lucilia illustris
		Calliphoridae	Lucilia sp.
			Phormia sp.
		Ceratopogonidae	Forcipomyia sp.
		1-8	Alotanypus sp.
			Chironomus sp.
	Diptera		Corynoneura sp.
	2.p		Cyphomella sp.
			Dicrotendipes sp.
		Chironomidae	Djalmabatista sp.
			Fittkauimyia sp.
			Macropelopia sp.
			Metriocnemus grupo hygropetricus
			Micropsectra sp.
			_ micropsectia sp.

		Microtendipes sp.
		Polypedilum sp.
		Rheotanytarsus sp.
		Stictochironomus sp.
		Thienemannimyia sp.
	-	Calyxochaetus sp.
	Doliochopodidae	Stratiomys sp.
	Fanniidae	
		Fannia sp.
	Psychodidae	Pericoma sp.
	Sarcophagidae	Sarcophaga haemorrhoidalis
		Sarcophaga sp.
	Sciaridae	Corynoptera sp.
		Dixella sp.
	Stratiomyidae	Euparuphus sp.
	Syrhpidae	
	Tipulidae	Tipula colei
	Baetidae	Baetidae sp.
	Dactidac	Callibaetis sp.
Embonomentono	Caenidae	Caenis sp.
Ephemeroptera	Heptageniidae	
	Leptophlebiidae	Thraulodes sp.
	Tricorythidae	Leptohyphes sp.
	<u> </u>	Abedus breviceps
	Belostomatidae	Lethocerus medius
	Gerridae	Gerris remigis
	Hebridae	Hebrus major
	Hydrometridae	Hydrometra intonsa
**	Naucoridae	Ambrysus lunatus
Hemiptera		Ambrysus tridentatus
	Notonectidae	Notonecta mexicana creaseri
	Ochteridae	Ochterus rotundus
	Veliidae	Microvelia austrina
		Microvelia paludicota
		Microvelia signata
		Rhagovelia distincta
	Apidae	Apis mellifera
		Camponotus sp.
Hymenoptera	Formicidae	Chelyomyrmex sp.
<i>J</i>		Crematogaster pilosa
	Vespidae	Polistes sp.
Lepidoptera	Noctuidae	1 ousies sp.
Берішорісіа	1100141440	Corydalus cornutus
Megaloptera	Corydalidae	Coryadius Cornuius
	coryaminano	•
		Platyneuromus soror
	· ·	Platyneuromus soror Aeshna dugesi
	Aeshnidae	Platyneuromus soror Aeshna dugesi Anax sp.
	Aeshnidae	Platyneuromus soror Aeshna dugesi Anax sp. Coryphaeschna luteipennis florida
	· ·	Platyneuromus soror Aeshna dugesi Anax sp. Coryphaeschna luteipennis florida Hetaerina vulnerata
	Aeshnidae Calopterygidae	Platyneuromus soror Aeshna dugesi Anax sp. Coryphaeschna luteipennis florida Hetaerina vulnerata Argia plana
Odonata	Aeshnidae	Platyneuromus soror Aeshna dugesi Anax sp. Coryphaeschna luteipennis florida Hetaerina vulnerata
Odonata	Aeshnidae Calopterygidae	Platyneuromus soror Aeshna dugesi Anax sp. Coryphaeschna luteipennis florida Hetaerina vulnerata Argia plana
Odonata	Aeshnidae Calopterygidae	Platyneuromus soror Aeshna dugesi Anax sp. Coryphaeschna luteipennis florida Hetaerina vulnerata Argia plana Argia tonto
Odonata	Aeshnidae Calopterygidae Coenagrionidae	Platyneuromus soror Aeshna dugesi Anax sp. Coryphaeschna luteipennis florida Hetaerina vulnerata Argia plana Argia tonto Hesperagrion hetrodoxum Archilestes grandis
Odonata	Aeshnidae Calopterygidae Coenagrionidae Lestidae	Platyneuromus soror Aeshna dugesi Anax sp. Coryphaeschna luteipennis florida Hetaerina vulnerata Argia plana Argia tonto Hesperagrion hetrodoxum Archilestes grandis Brechmorhoga mendax
Odonata	Aeshnidae Calopterygidae Coenagrionidae	Platyneuromus soror Aeshna dugesi Anax sp. Coryphaeschna luteipennis florida Hetaerina vulnerata Argia plana Argia tonto Hesperagrion hetrodoxum Archilestes grandis Brechmorhoga mendax Libellula croceipennis
Odonata	Aeshnidae Calopterygidae Coenagrionidae Lestidae Libellulidae	Platyneuromus soror Aeshna dugesi Anax sp. Coryphaeschna luteipennis florida Hetaerina vulnerata Argia plana Argia tonto Hesperagrion hetrodoxum Archilestes grandis Brechmorhoga mendax Libellula croceipennis Paltothemis lineatipes
	Aeshnidae Calopterygidae Coenagrionidae Lestidae Libellulidae Pseudostigmatidae	Platyneuromus soror Aeshna dugesi Anax sp. Coryphaeschna luteipennis florida Hetaerina vulnerata Argia plana Argia tonto Hesperagrion hetrodoxum Archilestes grandis Brechmorhoga mendax Libellula croceipennis Paltothemis lineatipes Pseudostigma avernas
Odonata	Aeshnidae Calopterygidae Coenagrionidae Lestidae Libellulidae Pseudostigmatidae Perlidae	Platyneuromus soror Aeshna dugesi Anax sp. Coryphaeschna luteipennis florida Hetaerina vulnerata Argia plana Argia tonto Hesperagrion hetrodoxum Archilestes grandis Brechmorhoga mendax Libellula croceipennis Paltothemis lineatipes Pseudostigma avernas Anacroneuria sp.
Plecoptera	Aeshnidae Calopterygidae Coenagrionidae Lestidae Libellulidae Pseudostigmatidae	Platyneuromus soror Aeshna dugesi Anax sp. Coryphaeschna luteipennis florida Hetaerina vulnerata Argia plana Argia tonto Hesperagrion hetrodoxum Archilestes grandis Brechmorhoga mendax Libellula croceipennis Paltothemis lineatipes Pseudostigma avernas Anacroneuria sp. Phylloicus aeneus
	Aeshnidae Calopterygidae Coenagrionidae Lestidae Libellulidae Pseudostigmatidae Perlidae	Platyneuromus soror Aeshna dugesi Anax sp. Coryphaeschna luteipennis florida Hetaerina vulnerata Argia plana Argia tonto Hesperagrion hetrodoxum Archilestes grandis Brechmorhoga mendax Libellula croceipennis Paltothemis lineatipes Pseudostigma avernas Anacroneuria sp.

		Hydropsychidae	Cheumatopsychidae gelita	
			Leptonema albovirens	
		Hydroptilidae	Hydroptila sp.	
		Lepidostomatidae	Lepidostoma knulli	
			Lepidostoma leonilae	
		Leptoceridae	Oecetis avara	
			Oecetis marquenzi Chimarra schinza	
		Philopotamidae	Wormaldia arizonensis	
		Dalvaantuun adidaa		
		Polycentropodidae	Polycentropus picana	
		Rhyacophilidae	Atopsyche calopta Procambarus clarkii	
		Cambaridae		P
	Amphipoda	Hyalallidaa	Procambarus regiomontanus	r
		Hyalellidae	Hyalella azteca	
		Palaemonidae Armadillidae	Macrobrachium acanthurus	
		Armadillidiidae	Venezillo osorioi	
Malagastuaga		Armadillidildae	Armadillidium vulgare	
Malacostraca		Cirolanidae	Conilera stygia Sphaerolana karenae	
	Isopoda	-		
	_		Agabiformius lentus	
		Porcellionidae	Porcellio laevi	
			Porcellio scaber	
	3.5.11		Porcellionides pruinosus	
	Mysida	Lepidomysidae	Spelaeomysis villalobosi	
	Artiodactyla Cervidae		Odocoileus virginianus miquihuanensis	
		Tayassuidae	Pecari tajacu angulatus	
		Canidae	Canis latrans microdon	
			Urocyon cinereoargenteus scottii	
			Herpailurus yagouaroundi carcomitli	A
			Leopardus pardalis albescens	P
		Felidae	Leopardus wiedi	P
			Lynx rufus texensis	
	Carnívora		Panthera onca veraecrusis	P
			Puma concolor stanleyana	
		Manhitidaa	Mephitis mephitis varians	
		Mephitidae	Spilogale putorius leucoparia	
		Mustelidae	Mustela frenata frenata	
			Taxidea taxus berlandieri	A
			Bassariscus astutus flavus	A
		Procyonidae	Nasua nasua molaris	
		,	Procvon lotor fuscipes	
Mammalia		Ursidae	Ursus americanus eremicus	P
			Eumops perotis californicus	
			Nyctinomops femorosaccus	
		Molossidae	Nyctinomops macrotis	
			Tadarida brasiliensis mexicana	
			Mormoops megalophyla megalophyla	
		Mormoopidae	Pteronotus davyi fulvus	
		Natalidae	Natalus stramineus saturatus	
		ratariade	Choeronycteris mexicana	A
	Chiroptera		Dermanura azteca azteca	. 1
	Сппорила		Dermanura tolteca tolteca	
		Phyllostomidae	Desmodus rotundus murinus	
				٨
			Leptonycteris curasoae yerbabuenae	A
			Leptonycteris nivalis	
			Antrozous pallidus pallidus	
		Vespertilionidae	Corynorhinus mexicanus	
		*	Eptesicus fuscus fuscus	
			_ Idionycteris phyllotis	

	- D'1111	Dill III	Lasiurus borealis Lasiurus cinereus cinereus Lasiurus ega panamensis Lasiurus intermedius intermedius Myotis auriculus auriculus Myotis ciliolabrum melanorhinus Myotis planiceps P Myotis thysanodes thysanodes Myotis velifer incauta Nyoticus humeralis mexicanus
	Didelphimorpha Eduntata	Didelphidae	Didelphis virginiana californica
	Edentata	Dasypodidae	Dasypus novemcinctus mexicana Cryptotis parva berlandieri
	Insectivora	Soricidae	Sorex milleri Pr
	Lagomorpha	Leporidae	Lepus californicus merriami Sylvilagus floridanus chapmani
		Geomyidae	Thomomys umbrinus perditus
			Dipodomys merriami ambiguus Dipodomys ordii durrant Liomys irroratus alleni
		Heteromyidae	Liomys irroratus texensis Perognathus flavus
			Perognathus merriani Baiomys taylori taylori
			Microtus mexicanus subsimus Mus musculus domesticus Neotoma albigula subsolana
		Muridae	Neotoma micropus micropus Oryzomys couesi acuaticus Peromyscus boylii ambiguus
	Rodentia		Peromyscus difficilis petricola Peromyscus eremicus collinus Peromyscus eremicus eremicus Peromyscus eremicus phaeurus
			Peromyscus leucopus texanus Peromyscus maniculatus blandus Peromyscus melanotis
			Peromyscus pectoralis laceianus Rattus rattus
			Reithrodontomys fulvescens intermedius Reithrodontomys megalotis saturatus Sigmodon hispidus berlandieri
		Sciuridae	Sciurus alleni Sciurus aureogaster auregaster Spermophilus mexicanus parvidens Spermophilus variegatus couchii
			Ectocyclops pharelatus Eucyclops spp. Macrocyclops albidus
Maxillopoda	Cyclopoida	Cyclopidae	Mesocyclops longisetus Microcyclops rubellus Microcyclops rubellus
	9	Anguidae	Tropocyclops prasinus mexicanus Barisia ciliaris Gerrhonotus infernalis Gerrhonotus parvus Pr
Sauropsida	Squamata	Colubridae	Adelphicos quadrivirgatum newmanorum Amastridium sapper Arizona elegans elegans

	Bogertophis subocularis	
	Coluber constrictor oaxaca	A
	Coluber flagellum testaceus	A
	Coluber schotti ruthveni	11
	Coluber taeneatus	
	Diadophys punctatus regalis	
	Drymarchon melanurus erebennus	
	Drymobius margaritiferus margaritife	2741.0
	Ficimia streckeri	rus
	Gyalopion canum Hataradan kannanhii	
	Heterodon kennerlyi Hypsiglena jani texana	
		٨
	Lampropelits getula	A
	Lampropeltis alterna	A
	Lampropeltis mexicana	A
	Lampropeltis triangulum	A
	Leptodeira septentrionalis	
	Leptophis mexicanus	A
	Nerodia erythrogaster transversa	Α
	Nerodia rhombifer blanchardi	
	Opheodrys aestivus	
	Oxybelis aeneus	
	Pantherophis bairdi	
	Pantherophis emoryi	
	Pituophis catenifer sayi	
	Pituophis deppei jani	A
	Rhadinaea montana	
	Rhinocheilus lecontei	
	Salvadora grahamiae lineate	
	Senticolis triaspis	
	Sonora semiannulata	
	Storeria dekayi texana	
	Storeria hidalgoensis	
	Tantilla atriceps	A
	Tantilla nigriceps	
	Tantilla rubra	Pr
	Tantilla wilcoxi	
	Thamnophis cyrtopsis cyrtopsis	A
	Thamnophis exsul	A
	Thamnophis marcianus marcianus	A
	Thamnophis proximus diabolicus	A
	Trimorphodon tau tau	
	Tropidodipsas sartorii	
	Agkistrodon taylori	A
	Crotalus atrox	Pr
	Crotalus lepidus lepidus	Pr
	Crotalus lepidus morulus	Pr
Crotalidae	Crotalus molossus molossus	Pr
	Crotalus molossus nigrescens	Pr
	Crotalus pricei miquihuanus	Pr
	Crotalus scutulatus	Pr
	Crotalus totonacus	
Crotaphytidae	Crotaphytus collaris	A
Elapidae	Micrurus tener	
Eublepharidae	Coleonyx brevis	Pr
Gekkonidae	Hemidactylus turcicus	
	Leptotyphlops dulcis	
Leptotyphlopidae	Leptotyphlops myopicus	
Phrynosomatidae	Cophosaurus texanus scitulus	A
	F	

		Phrynosoma cornotum	
		Phrynosoma modestum	
		Phrynosoma orbiculare orientale	A
		Sceloporus cautus	
		Sceloporus consobrinus	
		Sceloporus couchii	
		Sceloporus goldmani	
		Sceloporus grammicus disparilis	Pr
		Sceloporus marmoratus	
		Sceloporus minor	
		Sceloporus oberon	
		Sceloporus olivaceus	
		Sceloporus parvus	
		Sceloporus poinsettii poinsettii	
		Sceloporus samcolemani	
		Sceloporus serrifer	
		Sceloporus spinosus	
		Sceloporus torquatus binocularis	
	Scincidae	Plestiodon brevirostris	
	Teiidae	Plestiodon obsoletus	
		Aspidoscelis scalaris gularis	
	V 1	Lepidophyma sylvaticum	Pr
	Xantusidae	Plestiodon tetragrammus tetragrammus	
		Scincella silvicola caudaequinae	A
Testudines	Kinosternidae	Kinosternum flavescens flavescens	
restudines	Testudinidae	Gopherus berlandieri	A

Anexo 3Submodelos de Regresión Logística Estándar y permutaciones en el valor de los argumentos.

Submodelo	Penalty	Mixture
RL_01	1×10^{-10}	0.05
RL_02	1×10^{-5}	0.05
RL_03	1	0.05
RL_04	1×10^{-10}	0.525
RL_05	1×10^{-5}	0.525
RL_06	1	0.525
RL_07	1×10^{-10}	1
RL_08	1×10^{-5}	1
RL_09	1	1

Anexo 4Submodelos de Árbol de Decisión y permutaciones en el valor de los argumentos.

Submodelo	Cost Complexity	Tree Depth	Min n
AD_01	1×10^{-10}	8	2
AD_02	3.16×10^{-6}	8	2
AD_03	0.1	8	2
AD_04	1×10^{-10}	15	2
AD_05	3.16×10^{-6}	15	2
AD_06	0.1	15	2
AD_07	1×10^{-10}	8	21
AD_08	3.16×10^{-6}	8	21
AD_09	0.1	8	21
AD_10	1×10^{-10}	15	21
AD_11	3.16×10^{-6}	15	21
AD_12	0.1	15	21
AD_13	1×10^{-10}	8	40
AD_14	3.16×10^{-6}	8	40
AD_15	0.1	8	40
AD_16	1×10^{-10}	15	40
AD_17	3.16×10^{-6}	15	40
AD_18	0.1	15	40

Anexo 5Submodelos de Máquinas de Vectores Soporte (SVM) y permutaciones en el valor de los argumentos.

Submodelo	Cost	RBF Sigma
SVM_01	9.77×10^{-4}	1×10^{-10}
SVM_02	0.177	1×10^{-10}
SVM_03	32	1×10^{-10}
SVM_04	9.77×10^{-4}	1×10^{-5}
SVM_05	0.177	1×10^{-5}
SVM_06	32	1×10^{-5}
SVM_07	9.77×10^{-4}	1
SVM_08	0.177	1
SVM_09	32	1

Anexo 6Submodelos de k-Vecinos Cercanos (KNN) y permutaciones en el valor de los argumentos.

Submodelo	Neighbors	Weight Func	Dist Powerpr
KNN_01	1	Rectangular	0.1
KNN_02	8	Rectangular	0.1
KNN_03	15	Rectangular	0.1
KNN_04	1	Triangular	0.1
KNN_05	8	Triangular	0.1
KNN_06	15	Triangular	0.1
KNN_07	1	Epanechnikov	0.1
KNN_08	8	Epanechnikov	0.1
KNN_09	15	Epanechnikov	0.1
KNN_10	1	Rectangular	1.05
KNN_11	8	Rectangular	1.05
KNN_12	15	Rectangular	1.05
KNN_13	1	Triangular	1.05
KNN_14	8	Triangular	1.05
KNN_15	15	Triangular	1.05
KNN_16	1	Epanechnikov	1.05
KNN_17	8	Epanechnikov	1.05
KNN_18	15	Epanechnikov	1.05
KNN_19	1	Rectangular	2
KNN_20	8	Rectangular	2
KNN_21	15	Rectangular	2
KNN_22	1	Triangular	2
KNN_23	8	Triangular	2
KNN_24	15	Triangular	2
KNN_25	1	Epanechnikov	2
KNN_26	8	Epanechnikov	2
KNN_27	15	Epanechnikov	2

Anexo 7Submodelos de Regresión Multinómica y permutaciones en el valor de los argumentos.

Submodelo	Penalty	Mixture
RM_01	1×10^{-10}	0
RM_02	1×10^{-5}	0
RM_03	1	0
RM_04	1×10^{-10}	0.5
RM_05	1×10^{-5}	0.5
RM_06	1	0.5
RM_07	1×10^{-10}	1
RM_08	1×10^{-5}	1
RM_09	1	1

Anexo 8Submodelos de Bosques Aleatorios y permutaciones en el valor de los argumentos.

Submodelo	Min n	Trees
BA_01	2	1000
BA_02	2	2000
BA_03	21	1000
BA_04	21	2000
BA_05	40	1000
BA_06	40	2000

Anexo 9
Submodelos de Refuerzo de Gradiente Extremo (XGBoost) y permutaciones en el valor de los argumentos.

Submodelo	Learn Rate	Trees	Tree Depth
XGB_01	0.001	1000	1
XGB_02	0.001	2000	1
XGB_03	0.001	1000	8
XGB_04	0.001	2000	8
XGB_05	0.001	1000	15
XGB_06	0.001	2000	15
XGB_07	0.0178	1000	1
XGB_08	0.0178	2000	1
XGB_09	0.0178	1000	8
XGB_10	0.0178	2000	8
XGB_11	0.0178	1000	15
XGB_12	0.0178	2000	15
XGB_13	0.316	1000	1
XGB_14	0.316	2000	1
XGB_15	0.316	1000	8
XGB_16	0.316	2000	8
XGB_17	0.316	1000	15
XGB_18	0.316	2000	15

Anexo 10 *Rutas de turismo al interior del PNCM*

ID	Route	Length (km)
1	Trail Planner Map	9.89
2	Trail Planner Map	3.83
3	Bosque de las Brujas	9.06
4	Camino el Chupón	2.11
5	Trail Planner Map	2.81
6	Trail Planner Map	4.54
7	Trail Planner Map	4.51
8	Trail Planner Map	5.95
9	Trail Planner Map	4.89
10	Trail Planner Map	10.25
11	Trail Planner Map	3.22
12	Trail Planner Map	10.87
13	Trail Planner Map	5.78
14	Trail Planner Map	3.03
15	Trail Planner Map	6.75
16	Trail Planner Map	3.21
17	Trail Planner Map	14.60
18	Trail Planner Map	4.90
19	Trail Planner Map	4.39
20	Trail Planner Map	1.97
21	Trail Planner Map	6.09
22	Trail Planner Map	1.59
23	Trail Planner Map	7.76
24	Trail Planner Map	6.50
25	Trail Planner Map	8.16
26	Trail Planner Map	6.89
27	Trail Planner Map	3.75
28	Circuito Escénica Galeana	337.75
29	Trail Planner Map	15.12
30	Trail Planner Map	3.05
31	Trail Planner Map	11.93
32	Trail Planner Map	20.17
33	Trail Planner Map	7.83
34	Trail Planner Map	231.20
35	Trail Planner Map	2.59
36	Trail Planner Map	7.91
37	Trail Planner Map	2.99
38	Trail Planner Map	3.66
39	Trail Planner Map	10.11

40	Trail Planner Map	9.39
41	Trail Planner Map	8.97
42	Trail Planner Map	3.73
43	Trail Planner Map	4.05
44	Florida - San Augustin - Don Toño	12.58
45	Trail Planner Map	7.60
46	Trail Planner Map	4.48
47	Trail Planner Map	10.15
48	Trail Planner Map	17.00
49	Trail Planner Map	5.40
50	Trail Planner Map	4.62
51	Trail Planner Map	68.28
52	Trail Planner Map	31.07
53	Trail Planner Map	13.42
54	Trail Planner Map	10.38
55	Trail Planner Map	11.22
56	Trail Planner Map	8.35
57	Trail Planner Map	4.25
58	Las Adjuntas Poza La Noria	5.15
59	Trail Planner Map	3.43
60	Trail Planner Map	10.21
61	Trail Planner Map	7.05
62	Trail Planner Map	28.54
63	Trail Planner Map	4.14
64	Trail Planner Map	8.09
65	Trail Planner Map	10.32
66	Trail Planner Map	2.85
67	Trail Planner Map	1.93
68	Trail Planner Map	8.86
69	Trail Planner Map	9.18
70	Trail Planner Map	4.63
71	Trail Planner Map	5.28
72	Trail Planner Map	2.29
73	Trail Planner Map	1.67
74	Trail Planner Map	10.63
75	Trail Planner Map	2.15
76	Trail Planner Map	2.15
77	Trail Planner Map	4.47
78	Trail Planner Map	2.70
79	Trail Planner Map	2.08
80	Trail Planner Map	5.88
81	Trail Planner Map	4.21
82	Trail Planner Map	7.64

83	Trail Planner Map	17.14
84	Trail Planner Map	11.48
85	Trail Planner Map	4.25
86	Trail Planner Map	7.02
87	Trail Planner Map	9.76
88	Trail Planner Map	14.30
89	Trail Planner Map	3.90
90	Trail Planner Map	57.62
91	Trail Planner Map	94.62
92	Trail Planner Map	11.12
93	Trail Planner Map	73.56
94	Trail Planner Map	14.51
95	Trail Planner Map	4.51
96	Trail Planner Map	9.14
97	Trail Planner Map	8.06
98	Trail Planner Map	11.78